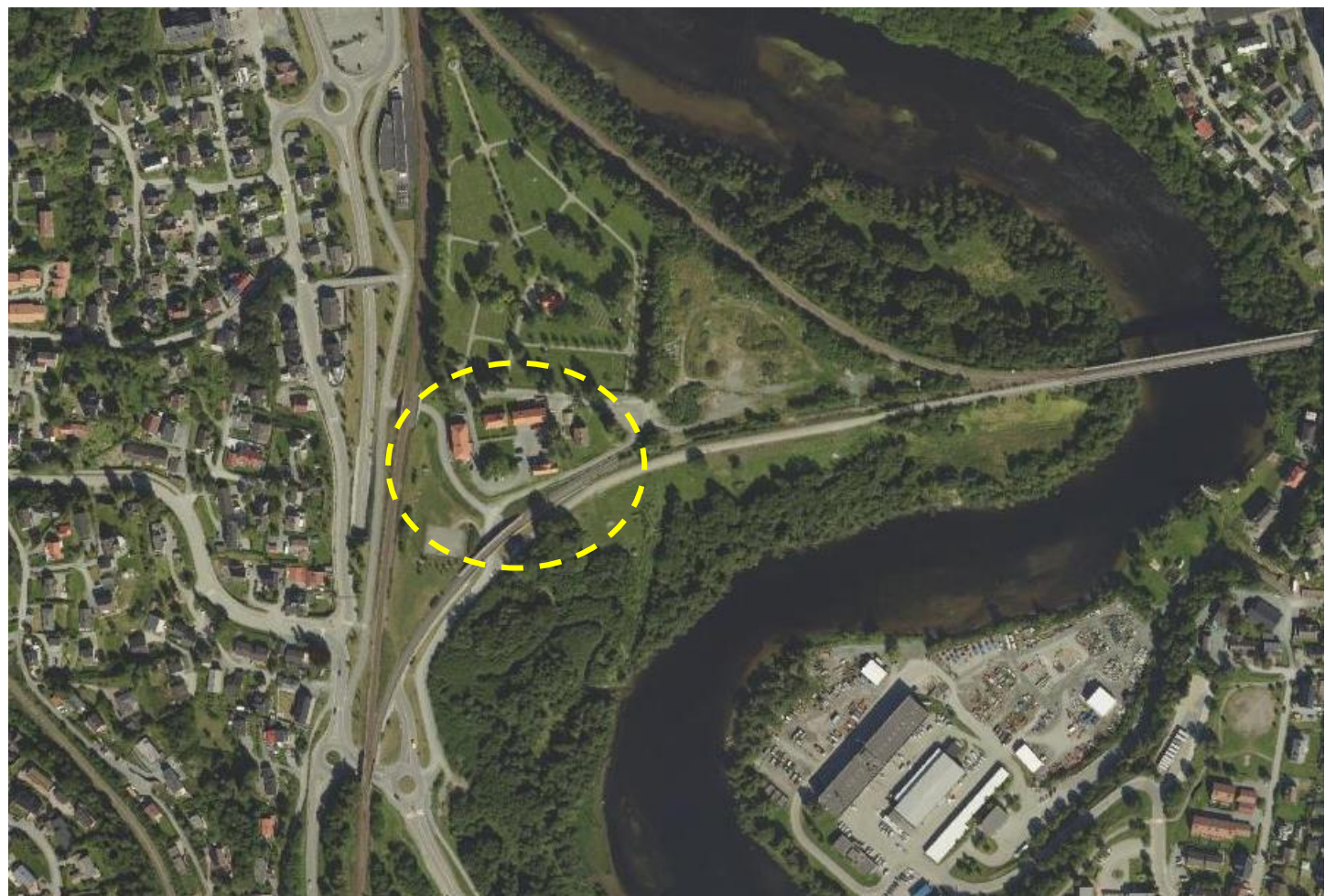


Trondheim kommune

► **Stavne aktivitetssenter - geoteknisk områdestabilitetsvurdering**

Oppdragsnr.: **52107812** Dokumentnr.: **52107812-RIG-01** Versjon: **2** Dato: **2022-03-18**



Oppdragsgiver: Trondheim kommune
Oppdragsgivers kontaktperson: Trondheim kommune v/ Geir Leseth
Rådgiver: Norconsult AS, Klæbuveien 127 B, NO-7031 Trondheim
Oppdragsleder: Daan Boonstra
Fagansvarlig: Henning Tiarks
Saksbehandler: Egil A. Behrens

► Sammendrag

Det planlegges nytt aktivitetssenter ved Stavne i Trondheim. Det er tidligere påtruffet dyptliggende kvikkleire nær utbyggingsområdet. Norconsult er engasjert for områdestabilitetsvurdering i forbindelse med prosjektet. Denne rapporten tar for seg områdestabilitetsutredningen i forbindelse med dette arbeidet.

Grunnundersøkelser utført i forbindelse med aktivitetssenteret har vist at det er et cirka 5 m tykt lag av kvikkleire i dybde omtrent 20-25 m under terrenget ved aktivitetssenteret. Laget kiler ut mot Nidelva.

Områdestabiliteten i forbindelse med planlagt utbygging av aktivitetssenteret er vurdert ut fra 1 tidligere og 1 nytt beregningssnitt. Stabiliteten i øvrige snitt er også vurdert og funnet å være klart mindre kritiske eller relevante enn i beregnede snitt.

Områdestabiliteten ift. planlagt utbygging er rimelig god, og tilfredsstiller akkurat minstekravet for ikke-forverrende tiltak (1,40). Dersom man ønsker å øke sikkerheten noe over minimumsnivå, kan det utføres en liten terregnavlastning nær skråningstoppen. Den marginale sikkerheten i forhold til minstekrav, medfører at utbyggingen må gjøres på en måte som ikke forverrer stabiliteten i noen faser av arbeidene eller i ferdigtilstand.

Versjon 2 av rapporten inneholder utdypninger, presiseringer og forklaringer som anbefalt fra uavhengig kvalitetssikrer, Rambøll Norge AS. Konklusjonen i vurderingen er uendret. Endringer ifbm versjon 2 er skrevet i kursiv.

| 2 | 2022-03-18 | Endret i tråd med anbefaling fra uavhengig kvalitetssikrer. | Egil A. Behrens | Henning Tiarks | Egil A. Behrens |
|---------|------------|---|-----------------|----------------|-----------------|
| 1 | 2021-06-15 | Ferdig områdestabilitetsvurdering til uavhengig kvalitetssikring. | Egil A. Behrens | Henning Tiarks | Daan Boonstra |
| Versjon | Dato | Beskrivelse | Utarbeidet | Fagkontrollert | Godkjent |

Dette dokumentet er utarbeidet av Norconsult AS som del av det oppdraget som dokumentet omhandler. Opphavsretten tilhører Norconsult AS.

► Innhold

| | |
|--|-----------|
| 1 Bakgrunn | 5 |
| 2 Tiltaket og tilhørende klassifisering og sikkerhetskrav | 6 |
| 3 Topografi og overordnede grunnforhold | 8 |
| 3.1 Topografi og grunnforhold | 8 |
| 3.2 Seismisitet – jordskjelvdimensjonering – utelatelseskriterium | 10 |
| 4 Lagdeling, representative beregningssnitt og poretrykk | 12 |
| 4.1 Lagdeling | 12 |
| 4.2 Representative stabilitetssnitt | 13 |
| 4.3 Poretrykk | 15 |
| 5 Avgrensning av løsne- og utløpsområde for kvikkleireskred | 16 |
| 6 Faregradsevaluering | 18 |
| 7 Stabilitetsberegninger | 21 |
| 7.1 Beregningsprogram og datagrunnlag | 21 |
| 7.2 Materialparametere | 21 |
| 7.3 Belastninger – eksisterende bygg, jernbane og planlagt bygg | 23 |
| 7.4 Beregningstilfeller og resultater | 24 |
| 7.5 Diskusjon rundt beregningsgrunnlag og resultater | 25 |
| 7.6 Opsjon terregnavlastning | 26 |
| 8 Sikkerhet mot andre skredtyper / naturpåkjenninger | 28 |
| 9 Konklusjon | 29 |
| 10 Referanser | 30 |

| Tegninger | Format | Målestokk | Tegningsnr |
|---|--------|-----------|------------|
| Situasjonsplan grunnundersøkelser, beregningssnitt og eventuelle stabiliseringstiltak | A3 | 1:1000 | V101 |
| Stabilitetsberegnung snitt A – eksisterende og planlagt situasjon | A3 | 1:750 | V201 |
| Stabilitetsberegnung snitt A – forbedret situasjon | A3 | 1:750 | V202 |

| Vedlegg | Vedleggsnr |
|---|------------|
| Trykksonderinger – måledata, poretrykk, avlede verdier, tolket udrenert skjærfasthet, OCR. Posisjon 3, 4 og 6 | A |
| NORSAR rapport seismisk punktanalyse | B |
| Tolkning av treaksialforsøk | C |

1 Bakgrunn

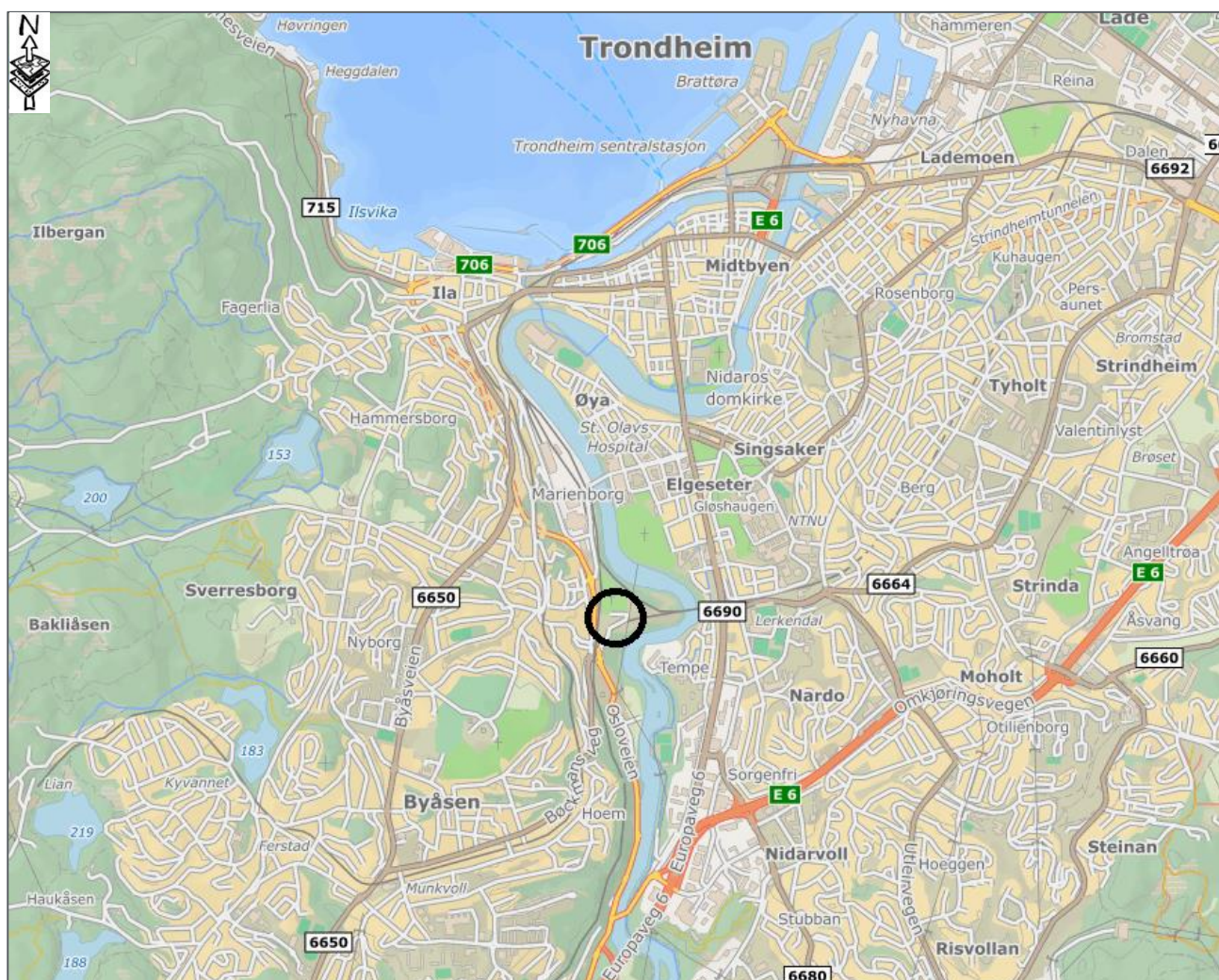
Trondheim kommune har engasjert Norconsult som geoteknisk rådgiver i forprosjektfasen for nytt aktivitetssenter ved Stavne i Trondheim kommune. Trondheim kommune har utført grunnundersøkelser for prosjektet i samråd med Norconsult. Resultater fra grunnundersøkelsene er gitt i datarapporten R.1815 utarbeidet av Trondheim kommune (Ref. 9).

Et oversiktskart over områdets beliggenhet er gitt i Figur 1.

Tiltaksområdet er innenfor akt somhetsområde for kvikkleireskred på grunn av liten avstand til Nidelva i forhold til høydeforskellen til elvebunn, som er laveste punkt i området.

Det er tidligere funnet kvikkleireforekomster i utkanten av tomtene (mot syd og vest), og grunnundersøkelser utført for prosjektet viser at disse fortsetter under tomtene. På bakgrunn av at tomtene kan tenkes å bli rammet av kvikkleireskred, er denne problemstillingen undersøkt nærmere i denne områdestabilitetsvurderingen.

Alle kotehøyder er gitt i referansesystem NN2000 (middelvannstand) med mindre annet er opplyst spesifikt.



Figur 1: Oversiktskart over områdets beliggenhet. Kart hentet fra kart.finn.no.

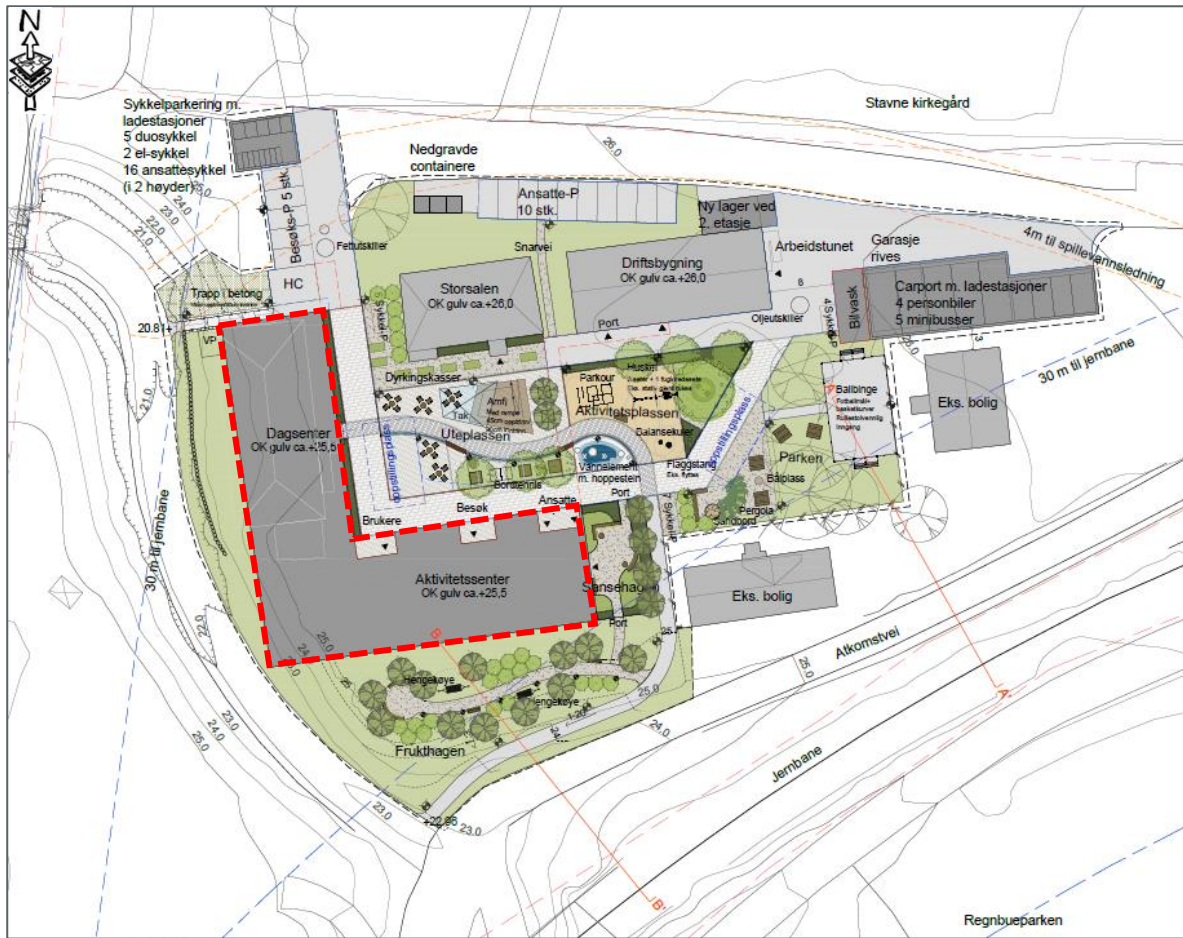
2 Tiltaket og tilhørende klassifisering og sikkerhetskrav

Planlagt tiltak kan i hovedsak beskrives som følger:

- Et nytt bygg skal etableres ved det eksisterende bygningstunet ved Stavne gård (sydvest).
- Ett av de eksisterende byggene (vestlige) skal rives og det etableres et nytt bygg til erstatning.
- Øvrige bygg skal renoveres i varierende grad.
- Små terregendringer på utomhusarealene – samlet sett ingen lastendring pga dette.

Utbyggingsplanene er vist på utomhusplan kopiert inn i Figur 2. Mindre justeringer må påregnes.

Eksisterende bebyggelse er i bruk som aktivitetssenter per i dag. Det nye aktivitetssenteret vil være noe større og vil på kort eller lang sikt gi rom for noen flere brukere og mer personopphold enn per i dag. Følgelig må utbyggingen (tiltaket) regnes å gi en tilflytning tilsvarende mer enn 2 boenheter, og påbygningen plasseres i tiltakskategori K4 iht. NVEs veileder om Sikkerhet mot kvikkleireskred (Ref. 1), som er den strengeste kategorien.



Figur 2: Foreløpig utomhusplan (2021-05-31), utarbeidet av Norconsult (LARK).

NVEs veileder anbefaler at områdestabilitetsutredning for tiltak i tiltakskategori K4 kvalitetssikres av uavhengig foretak. I tråd med veilederens anbefaling, er det forsøkt å involvere uavhengig kvalitetssikrer underveis i prosessen vedrørende plan for grunnundersøkelser og også ifbm vurdering av grunnlaget for stabilitetsanalysene. Kapasitetsmangel har imidlertid medført at dette ikke var praktisk mulig. Norconsult

anser datagrunnlaget som tilstrekkelig for utredningen. Denne områdestabilitetsrapporten forutsettes, sammen med datarapport fra grunnundersøkelsene (Ref. 9), oversendt til uavhengig kvalitetssikrer.

Uavhengig kvalitetssikring er utført og anbefalinger fra uavhengig kvalitetssikrer er innarbeidet i versjon 2.

Tiltakskategori K4, lav faregrad (se senere kapittel) og tiltak som ikke forverrer stabiliteten, medfører at det er krav om å oppnå en sikkerhetsfaktor mot områdestabilitetsbrudd minst lik 1,40 for både korttidssituasjon (udrenert) og 1,25 for langtidssituasjon (drenert). Dersom sikkerhetsfaktoren for eksisterende situasjon er mindre enn 1,40, tillates en relativ forbedring av sikkerheten på 0-10 % avhengig av hva sikkerheten er i utgangspunktet, selv dersom sikkerhetsfaktoren etter forbedring skulle være mindre enn 1,40. Forbedring oppnås eksempelvis med avlastning på toppen av skråning.

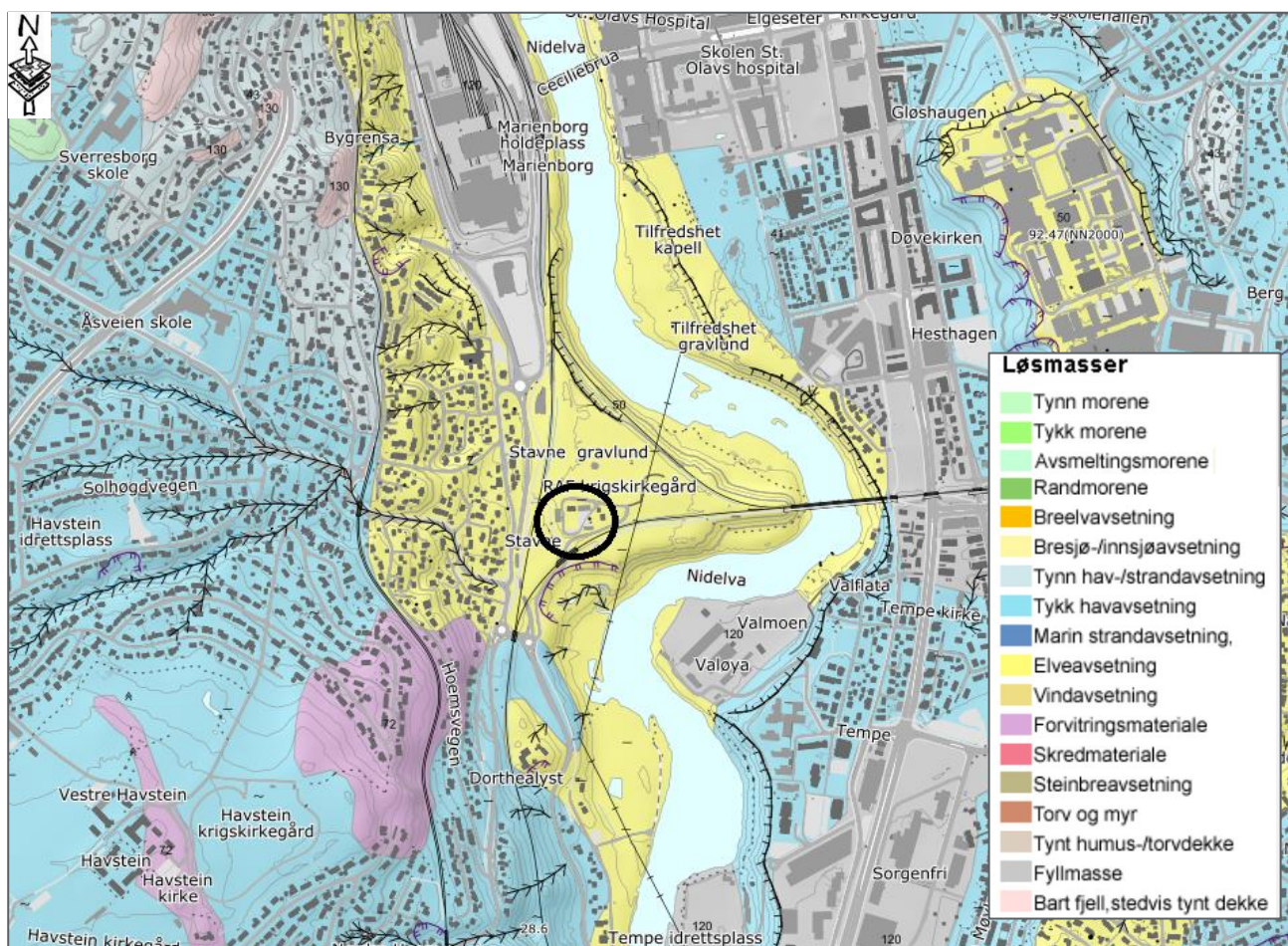
For tiltak som forverrer stabiliteten, kreves imidlertid en sikkerhetsfaktor minst 1,61 i udrenert situasjon. Dersom eksisterende stabilitet er mindre enn 1,61, må forverring unngås (f eks ved vektkompensert fundamentering).

3 Topografi og overordnede grunnforhold

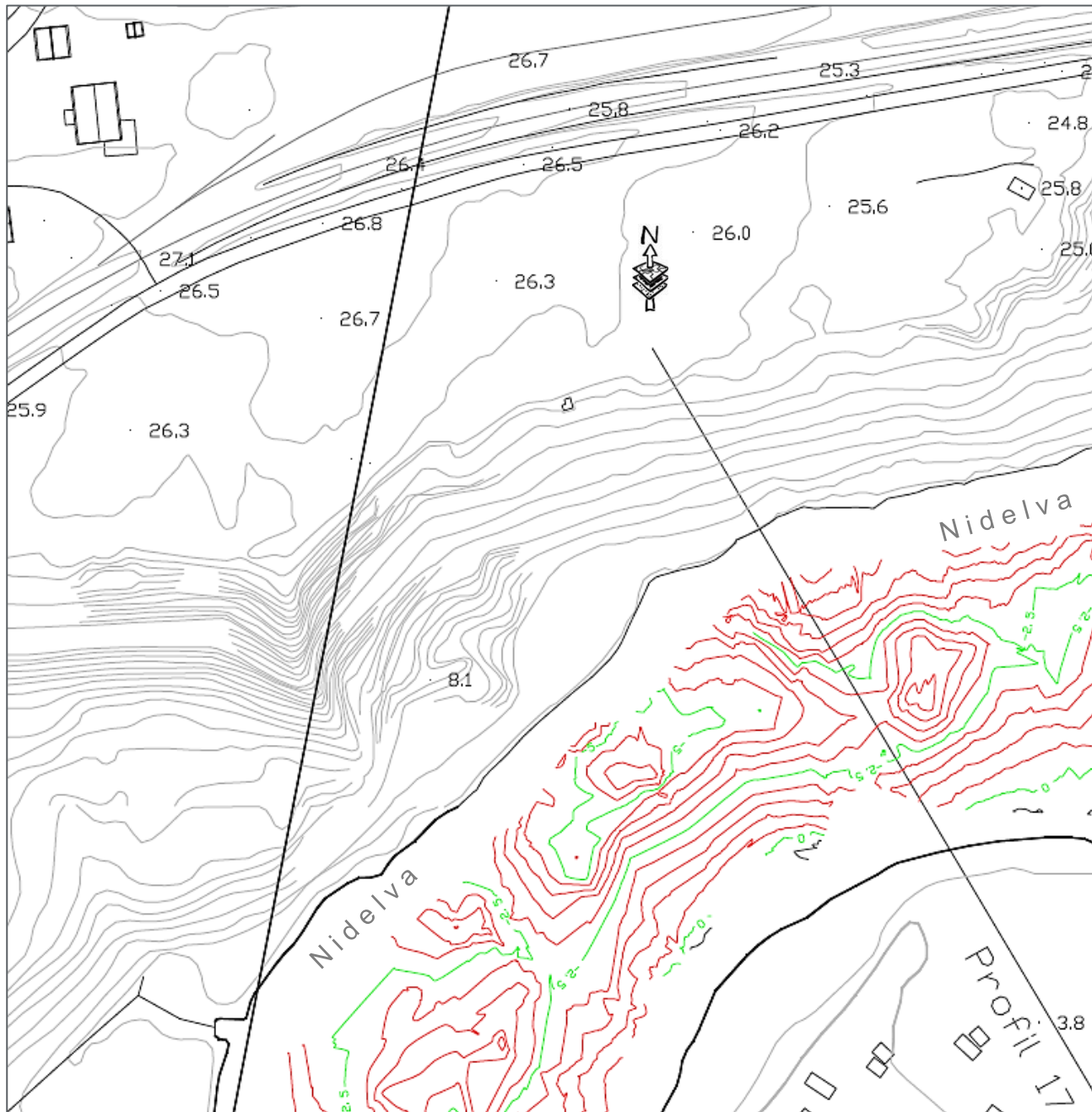
3.1 Topografi og grunnforhold

Planlagt utbyggingsområde ligger på en elveavsetning som strekker seg et stykke ut på hver side av Nidelva. Kotehøyden er omtrent +25 og følgelig under marin grense. Elveavsetninger består normalt av silt, sand og grus. Løsmassekart fra NGU (Figur 3) indikerer at det er havavsetninger bestående av leire og silt under elveavsetningene. Tidligere og nylig utførte grunnundersøkelser bekrefter dette.

Området er ellers flatt, med unntak av cirka 25-30 m høye skråninger ned til Nidelva som renner tilnærmet på havnivå (kote +0) i dette området. Det er tidligere utført dybdescanning i elva (Ref. 7), som viser at elvebunn er omtrent på kote -4 (noe dypere i lokale groper). Et utsnitt av dybdekartet er vist i Figur 4. Skråningen ned mot Nidelva har noe varierende helning, men er stedvis bratt, helning cirka 1:1,5 på det bratteste. Mellom tiltaksområdet og den noe slakere skråningen opp mot Byåsen i vest, ligger Dovrebanen og Rv 706 Osloveien.



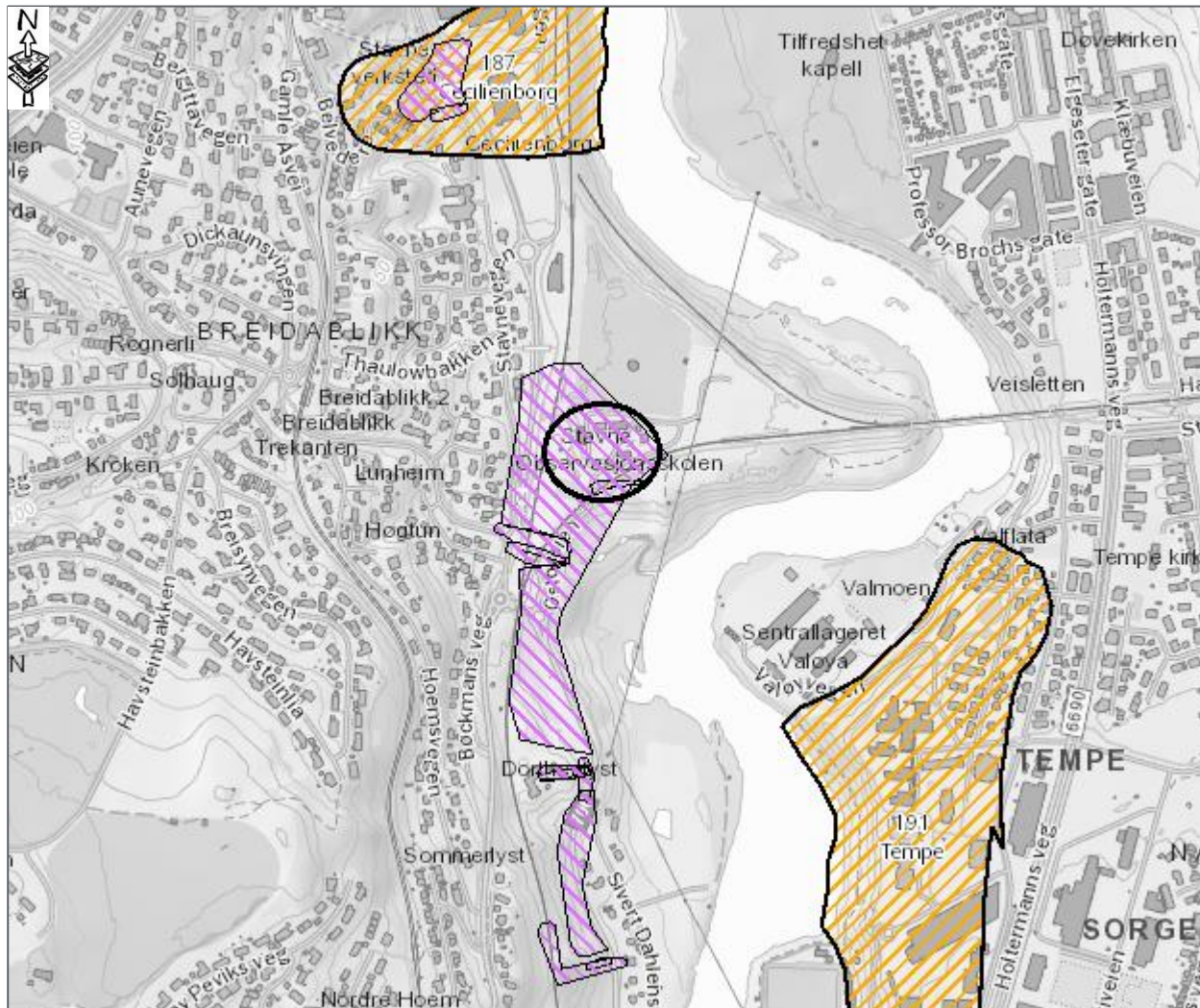
Figur 3: Løsmassekart over området, hentet fra geo.ngu.no/kart/losmasse. Utbyggingsområdet merket med sort sirkel.



Figur 4: Utsnitt fra dybdekart Nidelva, hentet fra Ref. 7. Kotenivå NN1954.

Det er tidligere påvist kvikkleire/sprøbruddmateriale ved Tilfartsbrua rett syd for utbyggingsområdet (der adkomstveien krysser jernbanen mot Stavnebrua), samt lengre syd og vest blant annet i forbindelse med veiutbygging (Rv 706 Osloveien). Forekomstene er omtrentlig markert inn i NVEs kart, se utsnitt i Figur 5.

Nærmeste registrerte kvikkleiresones er sone 187 Cecilienborg (ca 400 m mot nord) og nr 191 Tempe (ca 400 m mot sydøst, på andre siden av Nidelva). Det kan imidlertid være skredfarlig kvikkleire på tomtene selv om dette ikke er registrert tidligere. Trondheim kommune har i samråd med Norconsult utført grunnundersøkelser blant annet for å kartlegge dette nærmere (Ref.9).



Figur 5: Kart over nærliggende, registrerte kvikkleirefaresoner (atlas.nve.no). Kvikkleireområder (ikke nødvendigvis faresoner) registrert av Statens vegvesen i fiolett.

Terrenget ble befart dato 2021-03-03. Til stede var geotekniker Egil A. Behrens. Erosjonsforhold i Nidelva og sidebekk ble vurdert, samt tilkomstmuligheter for borerigg, terrengforhold, generell overflatestabilitet i bratte skråninger, sprekker i terregngoverflaten og eventuelle vannveier. Skråningene så tilsynelatende stabile ut, foregående erosjonsprosesser i Nidelva vurderes som lite.

3.2 Seismisitet – jordskjeldimensjonering – utelatelseskriterium

Bygninger og konstruksjoner klassifisieres i seismiske klasser etter prosjekteringsstandarden NS-EN 1998-1 (Ref. 5). Planlagte aktivitetssenter-bygg plasseres etter standarden normalt i seismisk klasse 2.

Bygninger i seismisk klasse 2 skal dimensjoneres for å motstå seismiske krefter (jordskjelv), med mindre kriterium for utelatelse av dette er oppfylt. Seismisk faktor for seismisk klasse 2 er 1,0. Dersom bygget må dimensjoneres for seismiske krefter, må også skråninger som byggets integritet er avhengig av, dimensjoneres for seismiske krefter. Det vil i praksis si en beregning med påført seismisk akselerasjon i massene og udrenert materialoppførsel i både leire og sandmasser. For prosjektet er det hentet inn spesifik verdi for seismisk grunnakselerasjon.

Ifølge NORSARs seismiske sonekart over Norge er den seismiske grunnakselerasjonen ved Stavne aktivitetssenter lik $a_{gR} = 0,0631 \text{ m/s}^2$ (vedlegg B), forutsatt fjell med svingehastighet 1200 m/s. For å sammenligne med øvrige verdier og faktorer i NS-EN 1998-1 (som baserer seg på fjell med svingehastighet 800 m/s), multipliseres a_{gR} med en faktor 1,10. Løsmassene på tomten består av et cirka 20 m tykt lag bestående av leire, silt og sand (hovedsakelig drenerende masser) over et 5 m lag kvikkleire over fast leire (kohesjonsmasser). Utførte grunnundersøkelser viser at det er minst 40 m til fjell. På grunn av kvikkleirelaget er grunnen ved tiltaksområdet av seismiske grunntype S2 i henhold til tabell 3.1 i Ref. 5. Forsterkningsfaktoren S må for grunntype S2 i utgangspunktet bestemmes ved en grunnresponsanalyse, men vil være i størrelsesorden den samme som for grunntype D.

Seismisk dimensjonering kan utelates dersom $a_{gR} * \text{seismisk faktor} * S < 0,49 \text{ m/s}^2$. For seismisk klasse 2 er seismisk faktor lik 1,0. Dette gir da at S må være under 7,1 for å oppfylle utelatelseskriteriet. For grunntype D er S = 1,55 og for grunntype S2 er S typisk mellom 1,5 og 2,0, det vil si langt under grenseverdien på 7,1. Utelatelseskriterium for seismisk dimensjonering, basert på grunntype og grunnakselerasjon, er dermed oppfylt. Følgelig er det ikke nødvendig å gjøre stabilitetsberegnning av skråning / områdestabilitet i seismisk situasjon med udrenerte sandmasser og seismisk akselerasjon.

4 Lagdeling, representative beregningssnitt og poretrykk

4.1 Lagdeling

Nylig utførte grunnundersøkelser i området, sammenholdt med tidligere utførte grunnundersøkelser i og rundt området, gir grunnlag for bestemmelse av løsmassenes lagdeling i aktuelle beregningssnitt.

Grov sett består massene i hele området av et tykt lag leire (stedvis siltig leire) under sand- og siltmasser. Det øvre laget kan deles inn i vekslende lag med større eller mindre innslag av silt og sand, med stedvis noe leir eller grus. Øvre del av leirlaget klassifiseres som kvikkleire/sprøbruddmateriale. Tykkelsen av kvikkleira er cirka 5 m og utgjør dermed en relativt liten del av skråningshøyden. Lagdelingen er tilnærmet horisontal.

Resultater fra laboratorieforsøk på prøver tatt opp i felt, påviser kvikkleire/sprøbruddmateriale i dybde 23-24 m ved borpunkt 3, samt i dybde 21-22 m og 23-24 m ved borpunkt 4 (skråningstopp). Posisjon 4 ble plassert ut på toppen av skråningen for om mulig å avgrense kvikkleirens utstrekning. Laboratorieundersøkelsene i posisjonene 4 og 6 viser imidlertid at kvikkleire/sprøbruddmateriale strekker seg forbi posisjon 4 og 6, men ser ut til å kile ut mot Nidelva. I posisjon 6 klassifiseres materialet så vidt som sprøbruddmateriale (men ikke kvikkleire) og tykkelsen er liten (ca 2 m).

Ut fra grunnundersøkelsene avgrenses sprøbruddmaterialet å ligge mellom cirka kote +0 og +5 ved borpunktene 3 og 4, og underkant av sprøbruddmaterialet stiger noe i retning Nidelva. Lenger øst (posisjon 5) er antatt sprøbruddmateriale noe mer dyptliggende. Det er ingen kvikkleire/sprøbruddmateriale over kote +6.

Ved planlagt bygg er dybden ned til det tykke leirlaget opp mot 20 m, mens tilsvarende dybde ved skråningsbunnen (ved Nidelva) sannsynligvis er mindre enn 5 m.

Det er påvist fjell i sonering 7 på tomten (46,5 m under terreng, dvs cirka kote -21). For øvrig er det ikke påtruffet fjell. Dybden til fjell ventes å øke mot øst.

I beregningssnitt er lagdelingen vurdert som følger:

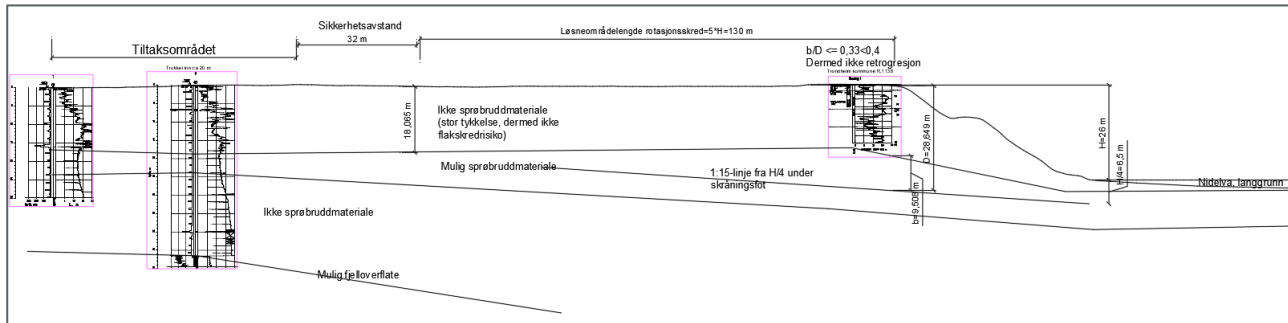
- Topplag: Dominert av leir og silt, med noe sand. Cirka kote +25 til +20.
- Fastlag: Dominert av silt og sand, med noe grus. Høy sonderingsmotstand. Cirka kote +20 til +15, noe dypere ved skråningstopp.
- Silt: Flagrende motstand og poretrykk ved CPTU-sondering, muligens med tynne sandlag. Cirka kote +15 til +6.
- Kvikkleire: Dominert av leir og silt. Cirka kote +6 til -1 (tykkelse dog kun 5 m – noe varierende kotehøyde).
- Leire: Dokumentert ikke-sprøbruddmateriale i øvre del. Kan tenkes å være sprøbruddmateriale under bunn soneringer (under cirka kote -20), men vil ikke ha betydning for beregningene. Cirka kote +0 til fjell.
- Fjell (påvist i borpunkt 7, til venstre i beregningssnittet, kote -21).

Vi har tatt relativt få prøver av topplagene. Dette fordi disse lagene i all hovedsak vil oppføre seg drenert, og uansett vil ikke stabilitetsbrudd i disse lagene alene kunne ramme tiltaksområdet. Det er de udrenerte brudd som eventuelt kan ramme tiltaksområdet, og kritiske bruddflater har storparten av sin utstrekning i de dyptliggende leirmassene. Det er tatt prøver i friksjonsmateriale for å evaluere CPTU-sonderingen i posisjon 4. Utørt CPTU gir dermed grunnlag for vurdering av lagdeling også i de øvre massene. For styrkeverdier av de drenerende massene har vi lagt til grunn forsiktige erfaringsverdier.

4.2 Representative stabilitetssnitt

Lagdelingen vurdert sammen med topografien gjør at 2 beregningssnitt anses å være representativt for å vurdere stabiliteten av skråningen mot sydøst i tilknytning til planlagt tiltak.

Stabilitet i retning nordøst er også vurdert og funnet uproblematisk ut fra forholdet mellom høydeforskjell og horisontalavstand. Total høydeforskjell er den samme som mot sydøst, men avstanden er betydelig større, og tidligere utførte grunnundersøkelser viser en tilsvarende lagdeling med betydelig mektighet av ikke-kvikke masser øverst (Ref. 10). Nidelva er grunn i vestre del av elveløpet ved dette snittet. Stabilitet i denne retningen er derfor vesentlig bedre enn stabiliteten mot sydøst. *Et profil i denne retningen er vist i Figur 6.*



Figur 6: Terrengsnitt mot nordøst, men lagdeling og vurdering av mulige bruddmekanismer og maksimal skredutbredelse.

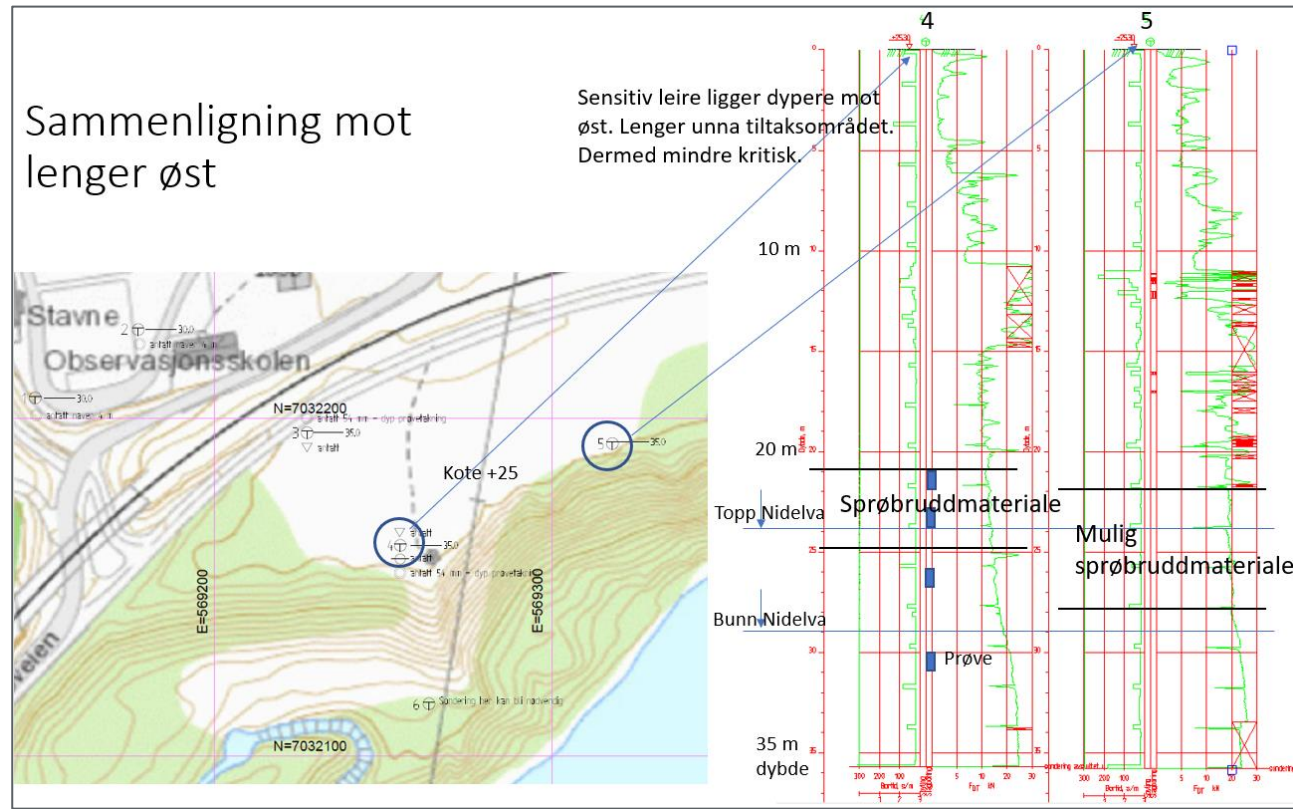
Kun rotasjonsskred er aktuelt fra nordøst ($b/D < 0,33 < 0,40$), og dette gir en minste sikkerhetsavstand 32 m fra $L = 5*H$. Skråningen ligger utenfor tiltakets influensområde ($L > 2H$), og påvirkes dermed ikke av tiltaket.

Et oversiktskart over vurderte snitt er gitt i Figur 7.



Figur 7: Oversiktskart over vurderte snitt ifbm. stabilitetsvurdering. Kartgrunnlag fra kart.finn.no.

Snitt mot sydøst, dog nærmere Stavnebrua enn beregnede snitt, er også vurdert. Her vil avstanden fra tiltaksområdet til skråning være større enn i beregnet snitt. Grunnundersøkelsene viser tilsvarende lagdeling, dog ligger sprøbruddmaterialet litt dypere og kan ha noe større mektighet (Figur 8). Samlet sett vurderer vi at stabiliteten i dette området vil være uproblematisk med tanke på aktuelt tiltak. Dette særlig på grunn av den større horisontalavstanden og den uomrørte styrken i sprøbruddmaterialet som ut fra trykksonderingsresultatene ikke er vesentlig dårligere enn i leirmassene for øvrig.



Figur 8: Sammenligning av boreprofilene i posisjonene 4 og 5, for vurdering av kritiske beregningssnitt.

Snittene er vist som snitt A-A, NGI snitt 1 og ikke-navngitt snitt i situasjonsplanen, tegning V101. Beregningssnittet med stabilitetsberegnning (snitt A-A) er for eksisterende og planlagt situasjon gitt i tegning V201 og for eventuell stabilitetsforbedret situasjon i tegning V202.

4.3 Poretrykk

Grunnvannstanden er undersøkt gjennom installerte elektriske poretrykksmåler (piezometere) ved borpunkt 4 på toppen av skråningen mot Nidelva i sydøst (terring kote +25,2). Poretrykksmålerne er installert på kote henholdsvis +9,2 og -0,8. Trykkmålingene fra poretrykksmålerne er vist i bilag 4 til datarapport R.1815 fra Trondheim kommune, kommunalteknikk.

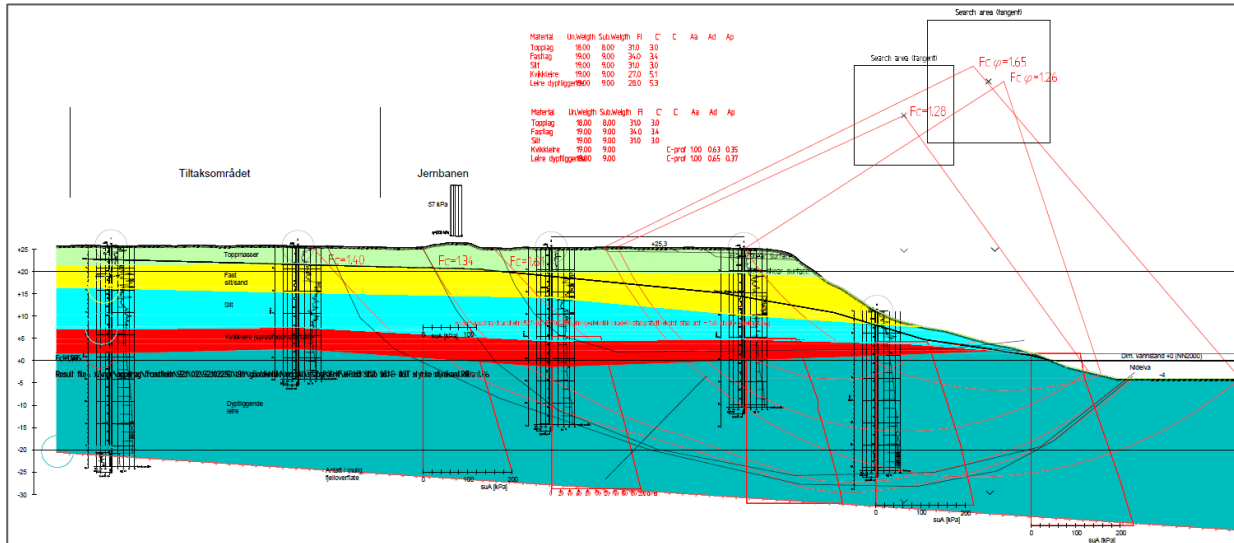
Avlesning av målerne den 2021-04-27 viser stigehøyde omtrent til kote +13,5 for grunneste måler og til kote +7,5 for dypeste måler. Loggede data viser at trykkmålingene stabiliserte seg i god tid før avlesningen.

Måleverdiene indikerer en tydelig underhydrostatisk poretrykksfordeling i de dyptliggende leirmassene. I de overliggende sand-/siltmassene er det lave poretrykk og lag som drenerer.

5 Avgrensning av løsne- og utløpsområde for kvikkleireskred

Tegningene V201 (og V202) viser profil, plassering av borehull, tolket lagdeling og kritiske skjærflater.

Sprøbruddmateriale er farget rødt i tegning V201 og V202, se utsnitt i Figur 9.



Figur 9: Utsnitt fra stabilitetsberegningssnitt, tegning V201.

Elvebunn i Nidelva er på omtrent kote -4 (med unntak av noen lokale forsenkninger). Skråningshøyden er dermed snaut 30 m og bare en sjette del (17 %) av denne høyden er sprøbruddmateriale. Jfr NVEs veileder kan retrogressivt kvikkleireskred utelukkes, siden andelen sprøbruddmateriale over kritisk skjærflate er under 40 %.

Flaksred er heller ikke relevant bruddmekanisme, da sprøbruddmaterialet ligger langt fra terrenngoverflaten ved tiltaksområdet og heller ikke har lagdeling som følger overflaten i skråningen. Det er allikevel gjort en beregning av sikkerheten mot flaksred (tegning V201) og denne er funnet å være meget høy (>1,40).

Rotasjonsskred er dermed den aktuelle bruddmekanismen for sprøbruddmaterialet.

Bredden av løsne- og utløpsområdene vil for rotasjonsskred være tilnærmet like i det aktuelle området, ettersom topografin gir en nokså nær 2-dimensjonal stabilitetssituasjon. Bredden er vanskelig å fastslå nøyaktig. I veilederingen til Byggteknisk forskrift (TEK17) §7-3 (2) står det følgende om hvilket område som må utredes: «Utredning av områdestabilitet (soneutredning) innebærer å vurdere alle skråninger hvor et skred kan utløses og forplante seg inn i tiltaksområdet, samt områder hvor skredmasser ovenfra kan ramme tiltaksområdet.» Det vil si at det i forbindelse med denne utredningen for planlagt bygg / tiltaksområde skal avgrenses det løsne- og utløpsområdet som vil kunne påvirke tiltaksområdet.

Løsneområdet for et rotasjonsskred strekker seg oftest i en lengde lik 5 ganger skråningshøyden, målt fra skråningstålen. Stabilitetsberegnungene viser at sikkerheten mot brudd i bruddflater lenger bak skråningen enn dette, har betydelig bedre stabilitet enn grunnere bruddflater. For å avgrense løsneområdet slik at bruddflater utenfor området har sikkerhet over minstekravet på 1,4, må imidlertid løsneområdet strekkes til like over 5 * skråningshøyden, dvs såvidt inn på tiltaksområdet. Løsneområdets lengde settes lik 5,5 * skråningshøyden, dvs 160 m fra skråningstålen.

I denne utredningen for planlagt utbygging vil aktuelt løsne- og utløpsområde være omtrent som vist i Figur 10. Løsne- og utløpsområdet er tegnet omtrent 60 m til sidene fra tiltaksområdet, da vi vurderer at et

eventuelt skred mindre enn 60 m unna vil kunne gi en ustabil raskant som deretter kan rase/slakes ut mot tiltaksområdet. 60 m er vurdert på bakgrunn av at skråningshøyden er omtrent 30 m og at en skråning med helning 1:2 (= 30:60) vil være stabil med tilstrekkelig sikkerhet i de stedlige massene.

Avgrensningen mot sidene (sydvest og nordøst) betyr ikke at områdene mot sydvest og nordøst uten videre er klarert med tanke på kvikkleireskredfare, men eventuelle skred i disse områdene vil ikke ha påvirkning på planlagt utbygging.

Utløpsdistansen i Nidelva er også beheftet med usikkerhet, men denne usikkerheten vil ikke ha vesentlig betydning for liv og helse ved et eventuelt stabilitetsbrudd. Utløpsdistansen settes lik halvparten av løsnedistansen, dvs 80 m, iht anbefaling for rotasjonsskred.



Figur 10: Utstrekning av løsne- og utløpsområde i forbindelse med Stavne aktivitetssenter. Stiplete linjer i sideavgrensingene da dette er en administrativ grense ift. aktuell utbygging. Kartgrunnlag fra kart.finn.no.

6 Faregradsevaluering

Bestemmelse av faregrad for kvikkleireskred i det aktuelle området bestemmes ut fra vekttallsskjema som vist i NVEs/NGIs rapport 9/2020 (Ref. 2).

Det har tidligere (i et historisk perspektiv) vært noe skredaktivitet i området. Skråningen er markert som en raskant i NGUs løsmassekart (Figur 3). Skråningshøyden er cirka 29 meter (til bunn i Nidelva på kote cirka -4). Overkonsolideringsgraden (OCR) er i ødometerforsøk funnet å være omtrent 1,1-1,3 i leirmassene under skråningsstoppen (posisjon 4). Løsmassenes avsetningshistorikk og styrke tolket fra trykksonderinger tilsier at OCR er betydelig høyere ved skråningsbunnen (ved Nidelva). I dybde for aktuelle skjærflater ventes OCR i området 1,5-2,0 gjennomsnittlig sett.

Poretrykket er målt å være lavt og tydelig underhydrostatisk.

Sonderingene og laboratorieforsøkene viser at kvikkleiremektigheten ved aktuell glideflate er mindre enn en fjerdedel av skråningshøyden. Sensitiviteten er opp mot cirka 300 i sprøbruddmaterialet, men stort sett lavere enn 20 i leirmassene som helhet.

Det er ingen tydelig erosjon i skråningsfoten, men det er ikke utført erosjonssikring av Nidelva ved aktuelt område. Bekken som munner ut i Nidelva er erosjonssikret med terskler og stein. Planlagt tiltak vil ikke påvirke områdestabiliteten negativt, da utbyggingen planlegges vektkompensert. Totalt sett medfører dette at faregraden er lav.

Konsekvensklassen vurderes ut fra hva som rammes av et eventuelt kvikkleireskred. Aktivitetssenteret ved tiltaksområdet kan kun rammes dersom bruddflater med beregningsmessig sikkerhet over 1,40 inntreffer. Jernbanen over Stavnebrua kan rammes av skred, men er riktig nok lite trafikkert. Med dette har man konsekvensklasse alvorlig.

Kombinasjonen av lav faregrad og konsekvensklasse alvorlig gir risikoklasse 2 (Figur 13 og Figur 14).

Klassifiseringen er vist skjematisk i Figur 14 ut fra vekttallsskjemaer i Figur 11 og Figur 12.

| Tabell for evaluering av faregrad, fra ref. /2/. 0-17 poeng gir lav faregrad, 18-25 poeng gir middels og 26-51 poeng høy faregrad. | | | | | |
|--|----------|-----------------|-------------------|-----------------|--------------|
| Faktorer | Vekttall | Faregrad, score | | | |
| | | 3 | 2 | 1 | 0 |
| Tidligere skredaktivitet | 1 | Høy | Noe | Lav | Ingen |
| Skråningshøyde, meter | 2 | >30 | 20-30 | 15-20 | <15 |
| Tidligere/nåværende terrengnivå (OCR) | 2 | 1,0-1,2 | 1,2-1,5 | 1,5-2,0 | >2,0 |
| Poretrykk. Overtrykk, kPa: Undertrykk, kPa: | 3 -3 | > +30 > -50 | 10-30 (-20-50) | 0-10 (-0-20) | Hydrostatisk |
| Kvikkleiremektighet | 2 | >H/2 | H/2-H/4 | <H/4 | Tynt lag |
| Sensitivitet | 1 | >100 | 30-100 | 20-30 | <20 |
| Erosjon | 3 | Aktiv/glidn. | Noe | Lite | Ingen |
| Inngrep: Forverring Forbedring | 3 -3 | Stor | Noe | Liten | Ingen |
| Sum | | 51 | 34 | 17 | 0 |
| % av maksimal poengsum | | 100 % | 67 % | 33 % | 0 % |

Figur 11: Vektingsskjema for faregrad. Fra NVEs Veileder 7/2014, videreført i NVEs veileder 1/2019 via NVEs rapport 09/2020 (Ref. 2).

| Faktorer | Vekt-tall | Konsekvens, score | | | |
|---|-----------|-------------------|--------------|-----------------------|-------|
| | | 3 | 2 | 1 | 0 |
| Boligheter, antall | 4 | Tett > 5 | Spredt > 5 | Spredt < 5 | Ingen |
| Næringsbygg, personer | 3 | > 50 | 10 – 50 | < 10 | Ingen |
| Annen bebyggelse, verdi | 1 | Stor | Betydelig | Begrenset | Ingen |
| Vei, ÅDT | 2 | >5000 | 1001-5000 | 100-1000 | <100 |
| Toglinje, bruk | 2 | Person-trafikk | Gods-trafikk | Normalt ingen trafikk | Ingen |
| Kraftnett | 1 | Sentral | Regional | Distribusjon | Lokal |
| Oppdemning og flodbølge | 2 | Alvorlig | Middels | Liten | Ingen |
| Sum poeng | | 45 | 30 | 15 | 0 |
| % av maksimal poengsum | | 100 % | 67 % | 33 % | 0 % |
| Faresonenene fordeles i konsekvensklasser etter samlet poengsum: | | | | | |
| Mindre alvorlig = 0-6 poeng | | | | | |
| Alvorlig = 7-22 poeng | | | | | |
| Meget alvorlig = 23-45 poeng | | | | | |

Figur 12: Vektingsskjema for konsekvensklasse, hentet fra NVEs rapport 09/2020.

- Risikoklasse 1 omfatter alle soner med tallverdi fra 0 til 170
- Risikoklasse 2 omfatter alle soner med tallverdi fra 171 til 630
- Risikoklasse 3 omfatter alle soner med tallverdi fra 631 til 1 900
- Risikoklasse 4 omfatter alle soner med tallverdi fra 1 901 til 3 200
- Risikoklasse 5 omfatter alle soner med tallverdi fra 3 201 til 10 000

Figur 13: Inndeling i risikoklasser, iht. Ref. 2.

| FAREGRAD ETTER NVE VEILEDER 1/2019 | | | | | | | | | |
|---|----------------------------------|---------------------------------|-------|--------------|----------|--|--|--|--|
| PROSJEKT: | 52102250 Stavne aktivitetssenter | | | | | | | | |
| OPPDRAG: | 52102250 | | | | | | | | |
| Utført av: | Egil A. Behrens | | | | | | | | |
| FAREGRAD | | | | | | | | | |
| FAKTORENE | | Faregrad, score 0-3 (lav-høy) | | KONTROLLFELT | | | | | |
| FAKTORENE | VEKTTALL | Score | Poeng | Maxscore | Maxpoeng | | | | |
| Tidligere skredaktivitet | 1 | 2 | 2 | 3 | 3 | | | | |
| Skråningshøyde i meter | 2 | 2 | 4 | 3 | 6 | | | | |
| OCR | 2 | 1 | 2 | 3 | 6 | | | | |
| Poretrykk - overtrykk | 3 | 0 | 0 | 3 | 9 | | | | |
| Poretrykk - undertrykk | -3 | 2 | -6 | | 0 | | | | |
| Kvikkleiremektighet | 2 | 1 | 2 | 3 | 6 | | | | |
| Sensitivitet | 1 | 3 | 3 | 3 | 3 | | | | |
| Erosjon | 3 | 1 | 3 | 3 | 9 | | | | |
| Inngrep forverring | 3 | 0 | 0 | 3 | 9 | | | | |
| Inngrep forbedring | -3 | 0 | 0 | | 0 | | | | |
| Sum | | 10 | | 51 | | | | | |
| %av maksimal poengsum | | 19,6 % | | 100,0 % | | | | | |
| Faregrad LAV | | | | | | | | | |
| KONSEKVENSKLASSE | | | | | | | | | |
| FAKTORENE | | Konsekvens, score 0-3 (lav-høy) | | KONTROLLFELT | | | | | |
| FAKTORENE | VEKTTALL | Score | Poeng | Maxscore | Maxpoeng | | | | |
| Boligeneheter | 4 | 0 | 0 | 3 | 12 | | | | |
| Næringsbygg, personer | 3 | 2 | 6 | 3 | 9 | | | | |
| Annen bebyggelse, verdi | 1 | 0 | 0 | 3 | 3 | | | | |
| Vei, ÅDT | 2 | 0 | 0 | 3 | 6 | | | | |
| Toglinje, baneprioritet | 2 | 1 | 2 | 3 | 6 | | | | |
| Kraftnett | 1 | 1 | 1 | 3 | 3 | | | | |
| Oppdemning/flom | 2 | 2 | 4 | 3 | 6 | | | | |
| Sum | | 13 | | 45 | | | | | |
| %av maksimal poengsum | | 28,9 % | | 100,0 % | | | | | |
| Konsekvensklasse alvorlig | | | | | | | | | |
| Risiko = konsekvens * faregrad | | 566,4 | | | | | | | |
| Dvs risikoklasse | | 2 | | | | | | | |

Figur 14: Vektallskjema for faregradsvurdering.

7 Stabilitetsberegninger

7.1 Beregningsprogram og datagrunnlag

Stabilitetsberegninger i kritisk beregningssnitt er utført ved hjelp av beregningsprogrammet GeoSuite Stability, versjon 16.1.1.0 (2018). Det er lagt inn geometri, lagdeling og styrke iht. grunnundersøkelsesdataene. Styrken er tolket ut fra trykksonderingsresultater sammenholdt med laboratorieresultater og erfaringsverdier.

En kontrollberegnning av kritisk snitt med noe forenklet topografi og lagdeling er utført med elementmetodeprogrammet Plaxis 2D.

For beregningssnitt som NGI tidligere har beregnet, har vi ikke gjennomført nye beregninger, men gått gjennom de tidligere utførte beregningene (Ref. 8) i detalj. Se senere delkapitler for kommentarer.

7.2 Materialparametere

Stabiliteten er beregnet både med drenert og udrenert styrke i leire-/siltmassene, det vil si for henholdsvis langtids og korttids belastningssituasjon. For øvrig er det benyttet anisotropifaktorer iht. NIFS-rapport (Ref. 3), justert for hvert løsmasselag ut fra målte verdier av plastisiteten (I_p). Laboratorieforsøkene har vist at sprøbruddleiren er lavplastisk, med plastisitetsindeks omrent 10 %, mens indeksen er omrent 20 % i den underliggende, lite sensitive leiren. Vi har anvendt anisotropifaktorer for opp mot maksimalt $I_p=15\%$ (A-D-P 1,0-0,65-0,37) for å være litt på den forsiktige siden ettersom plastisitetsindeksen er målt i relativt få dybder i den dyptliggende leiren.

Tolkningen av udrenert skjærstyrke ut fra trykksonderinger er kalibrert mot utførte styrkeforsøk i laboratorium, samt ved hjelp av erfaringsbaserte sammenhenger mellom vanninnhold og prekonsolidering (tidligere belastning). Det er lagt mest vekt på SHANSEP-tolkning og utførte treaksialforsøk. Tolkningen er vist i vedlegg A. Styrken målt i sondering i skråningen (pos 6) viser tilsvarende styrke med omtrentlig samme verdi som i tilsvarende kotenivå ved skråningstopp (pos 4), dvs styrken er omtrentlig konstant i kotenivå, også ut mot Nidelva. Dette stemmer med tidligere avsetningshistorikk (at Nidelva har erodert seg ned fra et opprinnelig flatt nivå), dog har avlesningen ikke gitt noen vesentlig styrkeredusjon over tid. Dette er ut fra ovenstående resonnement ekstrapolert ut fra pos 6 til Nidelva.

Ødometerforsøk (stivhetsforsøk) på prøver fra posisjon 4 tilsier en forsiktig prekonsolidering.

Prekonsolidering fra stivhetsforsøkene stemmer bra med den prekonsolidering som man kan estimere ut fra en antagelse at området i tidligere tider har vært på et noe høyere nivå enn platået ved aktivitetssenteret er i dag, og at Nidelva senere har erodert seg ned.

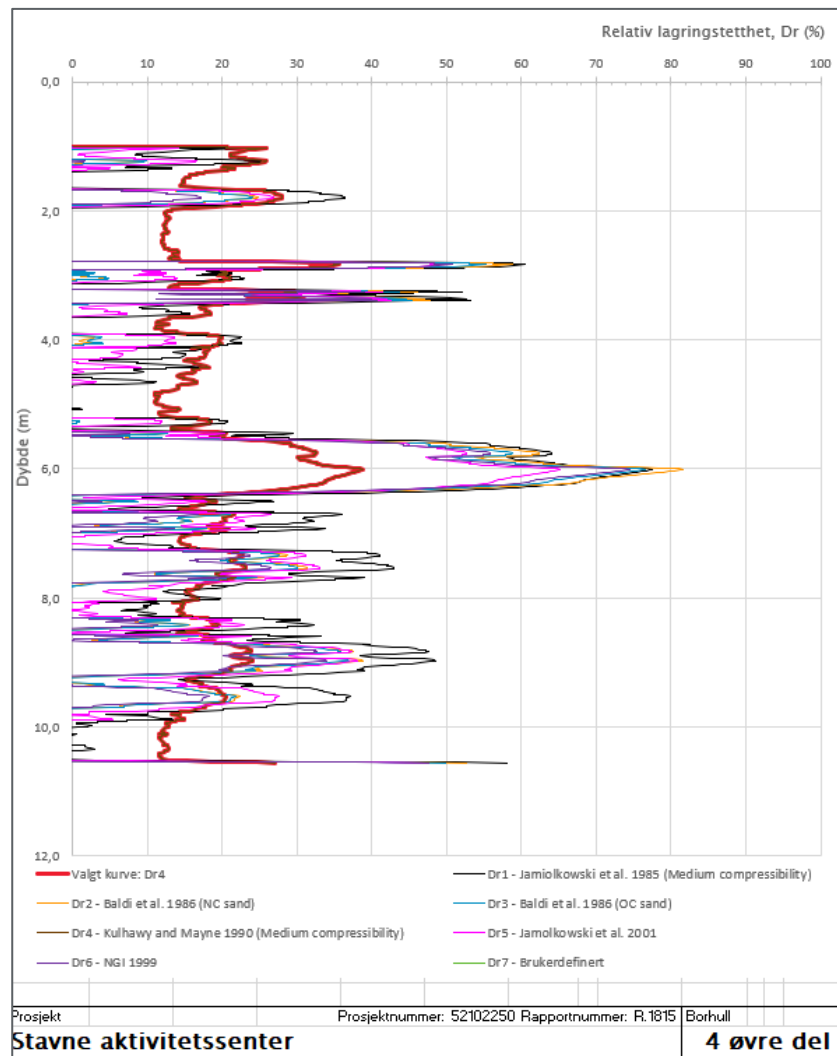
For de drenerende massene (sand, silt og grus) over de dyptliggende leire-/siltmassene, er det benyttet erfaringsbaserte styrkeverdier iht. Statens vegvesens håndbok V220, kap. 2.9.5 (Ref. 4). Styrken av for de dyptliggende leire-/siltmassene i langtidssituasjonen er basert på utførte treaksialforsøk konsolidert til cirka 95 % av estimerte in situ – spenninger (ut fra tyngdetetthet, OCR og poretrykk). Tolkning av treaksforsøk er vist i vedlegg C. Benyttede verdier er som følger (Tabell 1):

Tabell 1: Drenerte styrkeverdier.

| Løsmasselag | Tyngdetetthet | Friksjonsvinkel | Attraksjon (kohesjon) |
|---------------------------|----------------------|-----------------|-----------------------|
| Topplag (leire/silt/sand) | 18 kN/m ³ | 31 grader | 5 (3,0) kPa |
| Fast silt/sand | 19 kN/m ³ | 34 grader | 5 (3,4) kPa |
| Silt dyptliggende | 19 kN/m ³ | 31 grader | 5 (3,0) kPa |
| Kvikkleire | 19 kN/m ³ | 27 grader | 10 (5,1) kPa |

| | | | |
|--------------------|----------------------|-----------|--------------|
| Leire dyptliggende | 19 kN/m ³ | 28 grader | 10 (5,3) kPa |
|--------------------|----------------------|-----------|--------------|

Valg av tyngdetetthet for topplaget er satt lik 18 kN/m³, som er erfaringsverdi for silt iht SVV V220 fig 2.39. Figuren indikerer tyngdetetheter varierende mellom 17 og 19 kN/m³ for sand og silt. Tolkning av relativ lagringstetthet for de øverstliggende massene i punkt 4 indikerer relativ lagringstetthet 10-40%, dvs nokså løst lagret (se Figur 15). Dette indikerer at en relativt lav tyngdetetthet er riktig. Vi finner derfor 18 kN/m³ å være en riktig verdi. 20 kN/m³ som NGI har brukt, anses å være for høyt, men dette gir konservative resultater og er dermed ok for vårt formål. Neddykket tyngdetetthet har minimal betydning, da topplaget i all hovedsak ligger over grunnvannstanden.



Figur 15: Tolket relativ lagringstetthet i massene fra 1 til 10 m dybde i posisjon 4.

Poretrykkene er i beregningene antatt nokså konservativt (høyt) der de ikke er kjente, ut fra lagdeling og topografi. Ved punkt 6 hydrostatisk til cirka 2-2,5 m under terreng, som vi mener er noe konservativt. Vi bemerker at for vårt tiltak er det de udrenerte bruddflatene som er vesentlige/dimensjonerende, og disse påvirkes ikke av poretrykkene ved skråningsoverflaten.

I nivå dypere enn utførte trykksonderinger (CPTU), er udrenert skjærstyrke vurdert ut fra erfaringmessig styrkeøkning med dybden. Det er benyttet en styrkeøkning med dybden på 2,5 – 3,0 kPa/m for aktiv udrenert skjærfasthet, beregnet ut fra at massene har en effektiv tyngdetethet cirka 9 kN/m³ og at minste erfaringmessige aktive styrke er 0,25-0,30 ganger vertikalt overlagringstrykk, korrigert iht. SHANSEP-teori.

I NGIs tidligere beregninger (snitt mot sydøst ved Tilfartsbrua), er følgende tyngde- og styrkeverdier benyttet:

| Material | no | Un.Weight | Fi | C' |
|-----------------|----|-----------|------|-----|
| Silt, sandig, l | 1 | 20.00 | 32.0 | 0.0 |
| Leire | 2 | 18.50 | 30.0 | 0.0 |
| Kvikkleire | 3 | 18.50 | 30.0 | 0.0 |
| Leire | 4 | 18.50 | 30.0 | 0.0 |

| Material | no | Un.Weight | Fi | C' | C | Aa | Ad | Ap |
|-----------------|----|-----------|------|-----|----------|------|------|------|
| Silt, sandig, l | 1 | 20.00 | 32.0 | 0.0 | | | | |
| Leire | 2 | 18.50 | --- | --- | C-profil | 1.00 | 0.70 | 0.40 |
| Kvikkleire | 3 | 18.50 | --- | --- | C-profil | 0.85 | 0.59 | 0.34 |
| Leire | 4 | 18.50 | --- | --- | C-profil | 1.00 | 0.70 | 0.40 |

NGI har satt kohesjonen lik null for alle løsmasser som regnes drenert. Vi anser dette å være noe forsiktig. NGI har for noen av lagene vurdert friksjonsvinklene litt høyere enn vi har gjort. Profil for udrenert styrke stemmer med grunnundersøkelsesresultatene og anisotropifaktorene samsvarer noenlunde med dagens anbefalinger og nyere forskning (Ref. 3). Forskjellene er små og samlet sett kommer styrkevurderingen rimelig likt ut. Grunnundersøkelsene tyder på at lagene har svært like egenskaper i de 2 beregningssnittene, og vi mener derfor at NGIs beregninger er utført med fornuftige inputverdier.

7.3 Belastninger – eksisterende bygg, jernbane og planlagt bygg

Eksisterende bygninger ved Stavne aktivitetssenter (Stavne gård) har stort sett 2 etasjer og stedvis sokkeletasje/kjeller.

For å unngå en lastøkning kan det være aktuelt å utvide slik at alle nye bygg får kjeller, alternativt masseutskifte med lette masser under byggene for å oppnå vektkompensering (utgravde masser minst like tunge som vekt av bygg og tilførte masser, inkludert lastfaktor).

Jernbanen som er aktuell for stabilitetsberegnogene, er jernbanen som går øst-vest over Stavnebrua og dreier sydover syd for utbyggingsområdet. Denne er enkeltporet og har tillatt aksellast 22,5 tonn (som Dovrebanen). Dette regnes å gi en karakteristisk linjelast på 110 kN/m (langs jernbanen) iht BaneNORs tekniske regelverk. Med svillebredde 2,5 m gir dette ekvivalent, jevnt fordelt last på 57 kN/m² dimensjonerende verdi (lastfaktor 1,3).

Tilførselsveien til aktivitetssenteret vil være en kommunal vei og følgelig underlagt Vegdirektoratets veinormaler (blant andre håndbok N200). Dimensjonerende trafikklast på denne settes derfor lik 19,5 kPa. Det vurderes å være svært usannsynlig at veien har maksimal belastning samtidig som den lite trafikkerte jernbanen har det. Følgelig settes kun last på jernbanen i stabilitetsberegnogene. Dimensjonerende trafikklast vil ikke endres som følge av utbyggingen.

Planlagte bygg ventes å bli direktefundamenterte. Anleggsarbeidene vil medføre små utgravninger og tilføring av masser. Det vil være mulig å gjøre dette i en rekkefølge som sikrer at stabiliteten ikke forverres i noen faser av arbeidene. Utgraving/avlastning må skje før tilføring av tilsvarende vekt.

7.4 Beregningstilfeller og resultater

Beregnet sikkerhetsfaktor mot stabilitetsbrudd for mest kritiske bruddflater er som vist i Tabell 2. Tegningene V201 og V202 viser de beregnede bruddflatene.

Tabell 2: Oversikt over beregnede sikkerhetsfaktorer for skråningsstabiliteten.

| | Udrenert beregning (korttid) | Drenert beregning (langtid) | Minstekrav (udrenert/ drenert) |
|--|---|--|---|
| Eksisterende og planlagt lastkompensert situasjon - kritisk bruddflate (utenfor aktivitetssenteret, «naturlig skråning») Tegning V201 | 1,28 Geosuite 1,32 Plaxis | 1,26 (Geosuite) | 1,20 / 1,25 |
| Eksisterende og planlagt lastkompensert situasjon – bruddflate som rammer aktivitetssenteret (lastkompensert) Tegning V201 | 1,40 Geosuite 1,42 Plaxis | Meget høy (over 1,65 jfr V201) | 1,40 / 1,25 |
| Stabilitetsforbedret situasjon – kritisk bruddflate (utenom aktivitetssenteret, «naturlig skråning») Tegning V202 | 1,32 (Geosuite) | 1,31 (Geosuite) | 1,20 / 1,25 |
| Stabilitetsforbedret situasjon – bruddflate som rammer aktivitetssenteret Tegning V202 | 1,42 (Geosuite) | Meget høy (over 1,75 jfr V202) | 1,40 / 1,25 |

Av de utførte beregninger ser vi at stabiliteten i dyp bruddflate i eksisterende situasjon er akkurat lik minstekravet for ikke-forvring for tiltakskategori K4 (sikkerhetsfaktorkrav 1,4). Ved forvring kreves en minste sikkerhetsfaktor 1,61 etter forvring, og følgelig kan det ikke tillates tilleggslast i anleggsfasen eller i permanent situasjon innenfor kravene gitt i NVEs kvikkleireveileder.

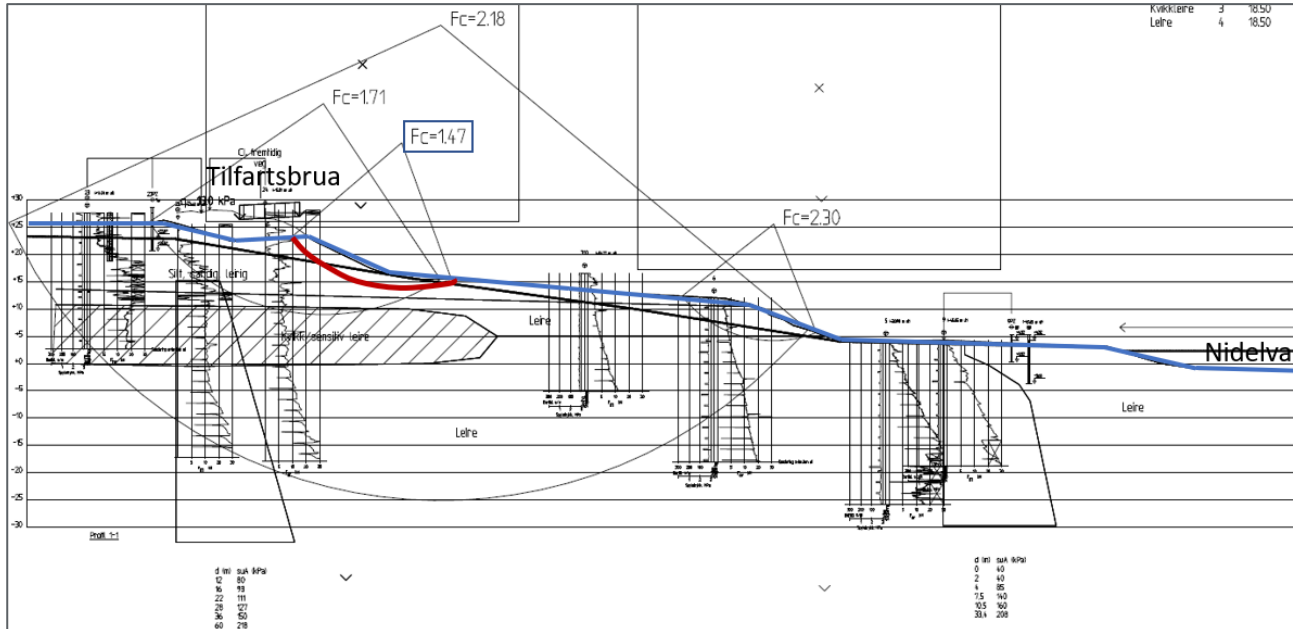
Ettersom stabiliteten er akkurat tilstrekkelig for ikke-forvring i tiltakskategori K4, kan man om ønskelig gjøre et forbedringstiltak for å oppnå større margin. Vi har utført beregning av en slik eventuell forbedring i form av en avlastning i gjennomsnitt 17 m bred og 2,0 m dyp ved skråningstoppen, vist i tegning V101 og V202. Dette medfører en økning fra 1,40 til 1,42 for dyp bruddflate som kan ramme utbyggingsområdet, og tilsvarende forbedring for grunnere og mer kritiske bruddflater.

Sikkerheten mot brudd i «naturlig skråning» (grunnere bruddflate i skråningen) er over minstekravet på 1,20 i eksisterende situasjon. En slik bruddflate vil uansett ikke ramme aktivitetssenteret.

Kontrollberegningene med Plaxis 2D viser svært like bruddflater og sikkerhetsfaktorer i greit samsvar med resultat av beregningene i Geosuite Stability.

NGIs beregninger i snittet lengst sydvest (NGI snitt 1, se tegning V101) viser sikkerhetsfaktor mot udrenert brudd lik 1,47 for mest kritiske skjærflate (Figur 16). Sikkerhetsfaktor for dyp skjærflate som kan ramme aktivitetssenteret vil være over 2,18 (Figur 16). Dette etter avlastningen som ble utført ifbm etableringen av Tilfartsbrua. Drenert sikkerhet er upproblematiske for bruddflater som kan nå aktivitetssenteret. Topografien i

NGIs beregningssnitt er slakere enn i snittet vi har beregnet, og det er derfor rimelig at stabiliteten er vesentlig bedre.



Figur 16: Utsnitt av NGIs beregningssnitt, udrenert situasjon. Kopiert fra Ref. 8, påført merknader for tydeliggjøring.

Avgrensningen av kvikkleira i NGIs beregningssnitt kan være noe feil/usikker, da kvikkleirelaget er avsluttet mot en sondering med økende bormotstand ned mot Nidelva. Etter nåværende NVE-veileder (Ref. 1) vil dette imidlertid ikke ha påvirkning på styrketolkningen eller anisotropifaktorene. Følgelig vil beregningen fortsatt være gyldig om så kvikkleira/sprøbruddmaterialet strekker seg nærmere Nidelva enn forutsatt.

7.5 Diskusjon rundt beregningsgrunnlag og resultater

Vedrørende dybden av sonderinger:

Skråningshøyden er omrentlig 29 m. 1,5 ganger dette er 43,5 m som anbefalt sonderingsdybde iht NVE 1/2019, mens CPTU ved skråningstopp er utført til 40 m, dvs 3,5 m kortere. Totalsondering nr 7 ved tiltaksområdet er utført med innboring i fjell i dybde 46,5 m. Lagdelingen i området er tilnærmet horisontal og totalsondering nr 7 viser ingen tegn til endring i sedimentets fasthet fra dybde 40 m ned mot fjell. Bortiden har hatt en moderat økning og det har vært behov for økt rotasjonshastighet for å unngå ytterligere økning i bormotstand.

Ved udrenert styrketolkning har vi basert oss på tolket styrke fra CPTU, sammenholdt med SHANSEP-tolkning som har vist seg å stemme bra med tolkning fra CPTU med normale erfaringsverdier for alfa og m (eksponent). Denne styrken vil fortsette å øke med dybden. Det fremstår for oss geologisk svært usannsynlig at det ligger et svakere leirlag under den mektige leiravsetningen som vi har sondert gjennom. Det som vil ha betydning er da først og fremst de snaue 5 m som mangler i sonderingsdybden ift anbefaling fra NVE. Her kan vi som nevnt «dra veksler på» sondering 7 som er utført i samme sedimentet.

Stabilitetsberegningene viser at grunnere bruddflater har betydelig mindre beregningsmessig stabilitet enn de dype bruddflatene som går like under sondert dybde. På grunn av at kun rotasjonsskred er aktuelt, vil den grunnere, kritiske bruddflatene eventuelt utløses først, og denne vil bidra til en utjevning av terrenget slik at de

dypere bruddflatene får noe bedret stabilitet. De dype bruddflatene er slik sett ikke realistiske med mindre det gjøres en voldsom lastøkning ved tiltaksområdet. En slik lastøkning tillates ikke, og vil ikke være fysisk mulig å gjennomføre på kort tid.

Med dette mener vi at utførte boredybder er tilstrekkelige ift realistiske bruddforløp.

Vedrørende prøvekvalitet:

Prøvene er vurdert å være av gjennomgående høy kvalitet og iht anbefalingene gitt i NVE 1/2019 kapittel 7.3. Utørt treksialforsøk er sammen med CPTU-sonderinger brukt til å tolke styrke i leirmassene. Treksialforsøkene viser et tydelig bruddtak ved en erfaringmessig rimelig tøyning for aktive forsøk (<2%). Mengden utpresset porevann under konsolidering tilsier en akseptabel forsøkskvalitet (<10 cm³). Styrken fra treksialforsøk stemmer bra med generelle tolkninger av CPTU basert på blokkprøvedatabasen.

Utførte ødometerforsøk viser tydelig prekonsolideringsspenning (knekke i diagram), som er brukt i støtte til styrkevurderingene, blant annet til bestemmelse av realistisk konsolideringsnivå i treksialforsøk, som er avgjørende for å tolke riktig udrenert skjærfasthet.

Samlet mener vi at dette gir grunn til å tillegge resultatene fra treksial- og ødometerforsøk vekt, sammen med og til støtte for CPTU-tolkningen.

Enaksielle trykkforsøk er i liten grad benyttet for styrkevurderinger, men viser generelt maksimal skjærfasthet ved nokså realistiske tøyninger (<5-10%).

Vedrørende variasjoner i poretrykk:

Eventuelle årstidsvariasjoner er i noen grad hensyntatt ved at vi har lagt til grunn en hydrostatisk poretrykksfordeling selv om målingen viser noe underhydrostatisk trykk, dvs noe på forsiktig side. De øvre massene vil kunne ha varierende poretrykk over året og/eller ut fra nedbørsforholdene. Disse er imidlertid så mye mer permeable enn underliggende leirmasser at leirmassenes poretrykk vil variere minimalt. Eventuelt stabilitetsbrudd i de drenerende massene vil ikke kunne forplante seg inn til tiltaksområdet, og det er derfor ikke av kritisk betydning å vite poretrykkene over året nøyaktig.

7.6 Opsjon terreqavlastning

Dersom man eventuelt ønsker forbedring av områdestabiliteten, anbefaler vi avlastning ved skråningstopp tilpasset eksisterende kulturminner og planlagt skatepark. Foreslått utstrekning er vist i tegning V101 og et utsnitt er tatt inn i Figur 17. Våre beregninger viser at en slik avlastning så vidt ikke er nødvendig. Vi har allikevel vurdert muligheten for å kunne utføre et slikt tiltak.

Det er antatt at det vil være komplisert å senke den vestre delen av planlagt skatepark med tanke på tilpasning til nivå av gang- og sykkelveien. Følgelig vil vi eventuelt foreslå en større senkning, dvs. 2,0 m, i et mindre areal nærmest skråningstoppen, utenfor planlagt skatepark. Lenger øst, i hensynsområdet for kraftledningen, anbefaler vi eventuelt en mindre senkning over et større område (1,0 m senkning).

Overganger mellom nivåer kan etableres med helning 1:2 – 1:3.

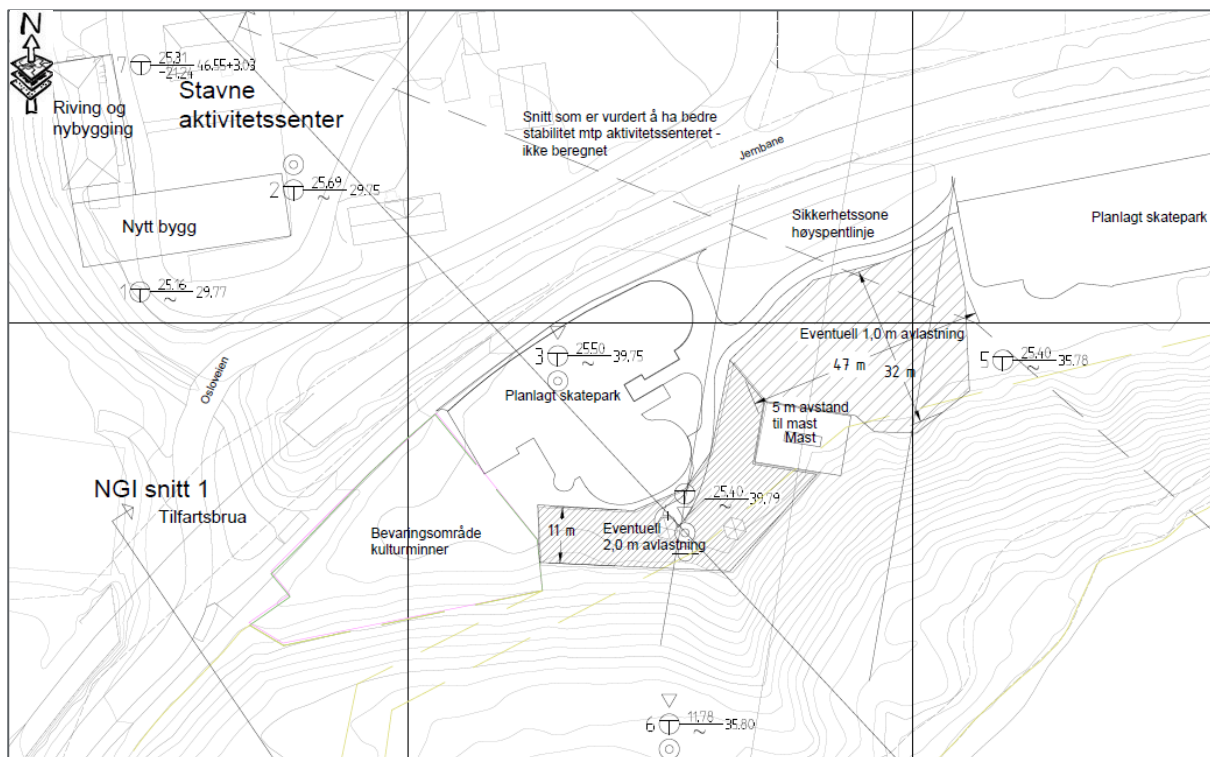
Skissert avlastning er et areal omrent 900 kvm med 2,0 m avlastning, samt et areal omrent 1200 kvm med 1,0 m avlastning. Samlet gir dette en avlastning på cirka 3000 m³ masser. Tyngdetettheten er omrent 18 kN/m³ og avlastningen blir dermed 54 000 kN eller 5 400 tonn.

Skissert avlastning strekker seg over en lengde cirka 90 m langs skråningstopp. Dette tilsvarer en avlastning på 3000 m³ / 90 m = 33 m² per meter. Dette samsvarer bra med avlastningen i beregningssnittet, som er et

areal på cirka $17 \text{ m} * 2 \text{ m} = 34 \text{ m}^2$ (per meter). Avlastningen vil dermed gi stabilitetsforbedringen som vist i tegning V202 sammenlignet med V201.

NVEs veileder beskriver at det over tid kan oppstå en reduksjon av udrenert skjærstyrke i leirmassene ved store avlastninger. Foreslått avlastning har et så lite omfang i tykkelse og areal at denne effekten vurderes å være neglisjerbar.

Avlastningen bør eventuelt avsluttes cirka 5 meter fra kraftledningsmast slik at stabiliteten av denne ikke forringes.



Figur 17: Utsnitt fra tegning V101 som viser areal for eventuell avlastning på cirka 3000 m^3 .

Eventuell avlastning vil kunne utføres i en annen geometrisk utstrekning enn det som er skissert, så lenge avlastningen er omrentlig jevn i lengderetning på tvers av beregningssnittet og samlet volum er likt. Ved å trekke avlastningen lenger vekk fra skråningen vil den virke mer effektivt som stabilisering til bruflatene som er relevant for aktivitetssenteret. Med tanke på kompleksitet ift. andre konstruksjoner og infrastruktur, mener vi at foreslått avlastning vil være minst komplisert.

Justeringer i skateparkens utforming siden versjon 1 av rapporten tilsier at den skisserte mulige terregnavlastningen er vanskeligere å få gjennomført enn tidligere, og uavhengig kvalitetssikrer er enig i at stabiliteten er tilstrekkelig uten å gjøre denne avlastningen. Vi ser ikke behov for å gjøre denne avlastningen.

8 Sikkerhet mot andre skredtyper / naturpåkjenninger

I henhold til Byggeteknisk forskrift. (TEK17) §7 om Sikkerhet mot naturpåkjenninger, skal byggverk plasseres, prosjekteres og utføres slik at det oppnås tilfredsstillende sikkerhet mot skade eller vesentlig ulempe fra naturpåkjenninger som flom, stormflo og ras.

Kotehøyden på tomten er cirka +25 - +26 og tomten/bygget vil derfor ikke være utsatt for stormflo.

Topografien i området, med det flate platået ved tiltaksområdet og god avstand til høyereleggende terrenge vest for området (mot Byåsen, på andre siden av Rv 706 og Dovrebanen), og der de høyestliggende løsmassene har god dreneringsevne og lave målte poretrykk, tilsier at tomten ikke vil være utsatt for flom eller skred fra høyereleggende områder. Risikoen for bygningsskadelig flom forårsaket av nedbør er neglisjerbar.

Steinsprang og snøskred kan også utelukkes ved tiltaksområdet, ut fra topografiske forhold.

Ut fra dette, samt områdestabilitetsvurderingene beskrevet i foregående kapitler, mener vi at sikkerheten mot naturpåkjenninger er tilfredsstillende for planlagt utbygging, gitt at anvisningene i denne rapporten følges. Det vil si gitt at nye bygg ved aktivitetssenteret fundamenteres kompensert for bruddgrenselast.

9 Konklusjon

- Områdestabiliteten er funnet å være akkurat lik minstekravet fra NVEs kvikkleireveileder og er tilfredsstillende for planlagt utbygging av Stavne aktivitetssenter. Dermed er krav til sikkerhet som skal legges til grunn ved ev. regulering og bygging jf. TEK17 oppfylt.
- Det kan om ønskelig gjøres en terregnavlastning for å øke sikkerheten (ut over minimumsnivået). Det er skissert et areal for eventuell avlastning ved skråningstopp i tegning V101. *Vi ser imidlertid ikke behov for slik avlastning.*
- Vi mener at minimumssikkerheten er akseptabel. Utbygningen må skje ved vektkompensert fundamentering for å tilfredsstille veilederens anvisninger. Stabilitetsberegningene er basert på utførte grunnundersøkelser i felt og i laboratorium. Ytterligere, mer omfattende og komplisert prøvetakning kan gi noe bedre forsøksresultat som i sin tur eventuelt kan dokumentere at stabilitetssituasjonen er bedre enn beregnet.
- Tiltaksområdet vurderes å være byggbart geoteknisk sett. Stabiliteten må ivaretas ved detaljprosjektering av bygg på tomten. Grunnarbeider må underlegges krav jf. NVE-veileder som beskrevet.
- Ettersom det er påtruffet kvikkleire / sprøbruddmateriale, og planlagt tiltak er i tiltakskategori K4 iht. Ref. 1, skal det avgrenses en kvikkleirefaresone for å avgrense området for kvikkleire / sprøbruddmateriale som kan ramme planlagt bygg. Avgrensning er vurdert og vist i Figur 10. Faresonen har faregrad lav, konsekvensklasse alvorlig og sonen havner i risikoklasse 2. Klassifiseringen som faresone betyr imidlertid ikke at det er stor risiko for skred, da stabilitetsberegningene viser forholdsvis god stabilitet og minstekravet for naturlige skråninger er oppfylt iht. NVEs kvikkleireveileder. Vi mener at det ikke er behov for å erosjonssikre Nidelva nedenfor aktuell skråning, da det ikke pågår kraftig erosjon, og sikkerheten for skråningen er over robusthetskravet med noe margin.
- Innholdet/vurderingene i denne rapporten er *kvalitetssikret* av uavhengig foretak (*Rambøll Norge AS*) iht NVEs veileder (Ref. 1). *Anbefalinger fra uavhengig kvalitetssikrer er innarbeidet i versjon 2.*

10 Referanser

Ref. 1: NVE veileder nr 1/2019 *Sikkerhet mot kvikkleireskred*, utgitt desember 2020, tilgjengelig fra https://publikasjoner.nve.no/veileder/2019/veileder2019_01.pdf (revisjon av tidligere veileder 7/2014)

Ref. 2: NVE eksternrapport nr. 9/2020: *Oversiktskartlegging og klassifisering av faregrad, konsekvens og risiko for kvikkleireskred: metodebeskrivelse*, utgitt desember 2020 (NGI for NVE).

Ref. 3: Naturfareprosjektet (NIFS) Dp. 6 *Kvikkleire: En omforent anbefaling for bruk av anisotropifaktorer i prosjektering i norske leirer*, rapport 14/2014, tilgjengelig fra http://publikasjoner.nve.no/rapport/2014/rapport2014_14.pdf

Ref. 4: Statens vegvesen, Vegdirektoratet, «*Geoteknikk i vegbygging (Håndbok V220)*», 2018

Ref. 5: NS-EN 1998-1:2004+A1:2013+NA:2014: *Eurokode 8: Prosjektering av konstruksjoner for seismisk påvirkning. Del 1: Allmenne regler, seismiske laster og regler for bygninger*.

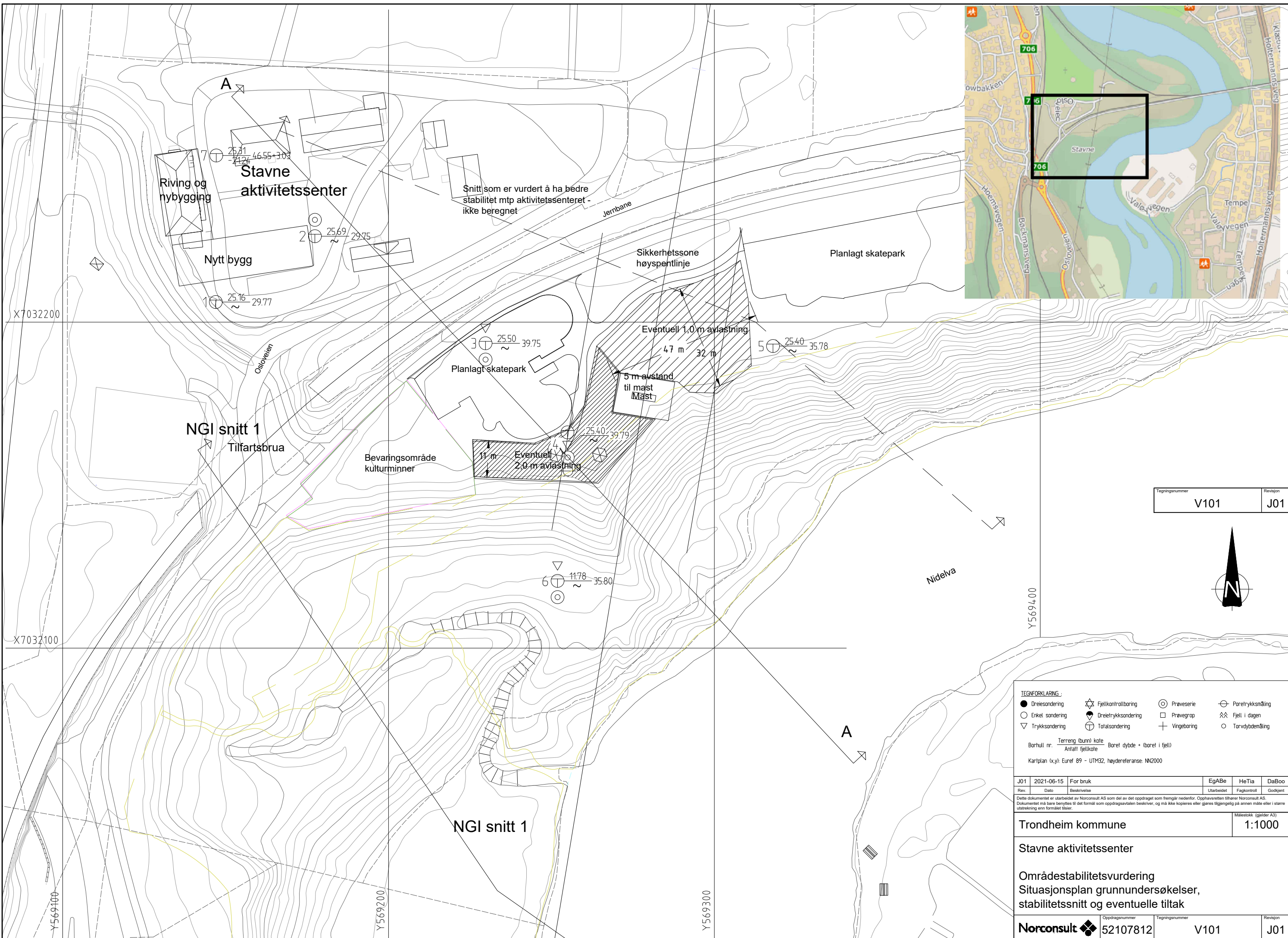
Ref. 6: Naturfareprosjektet (NIFS): *Metode for vurdering av løsne- og utløpsområder for områdeskred. Rapport 14/2016.*

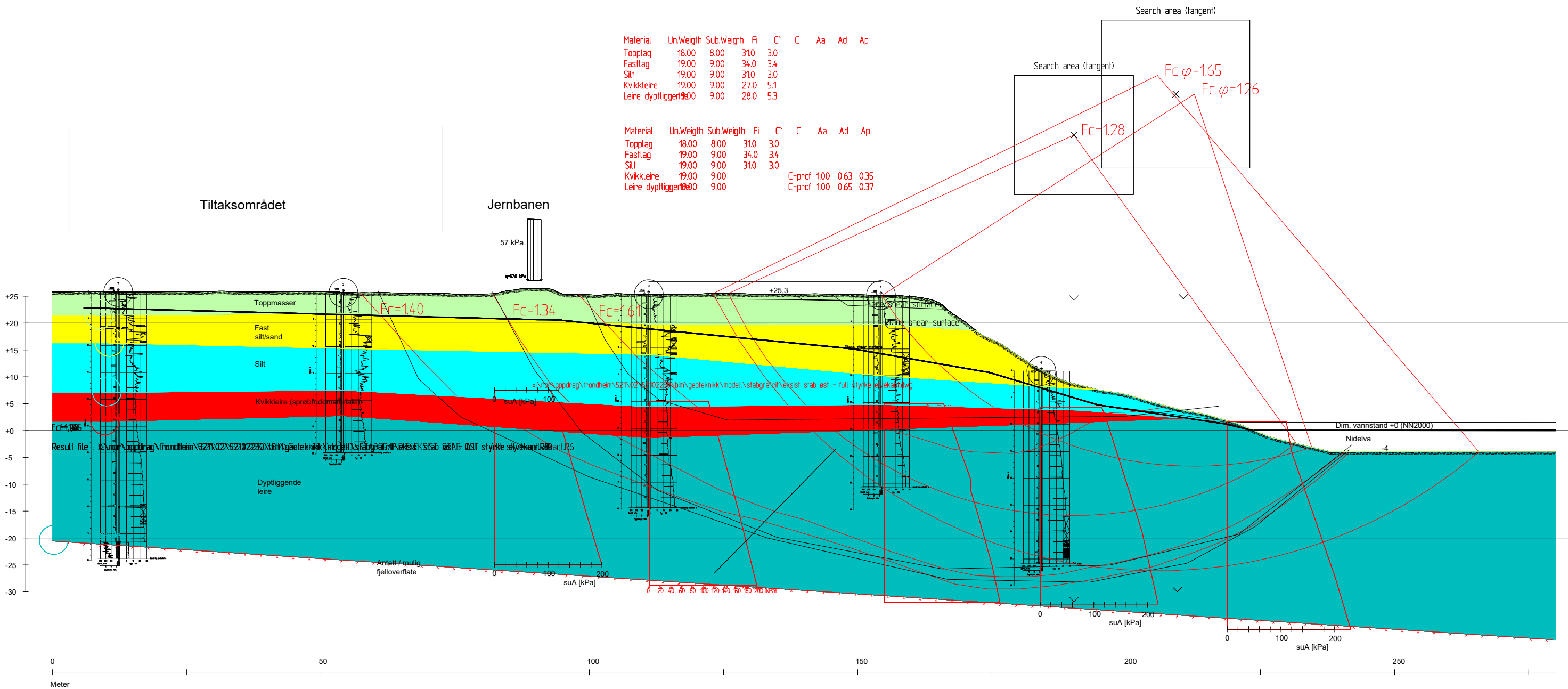
Ref. 7: *Topografisk elvebunnskartlegging av områder i Nidelva, utført av Novatek for NVE i 2009.*

Ref. 8: *Reguleringsplan Oslovegen - Stavne. Grunn- og stabilitetsforhold, teknisk notat 20110427-00-4-TN, utarbeidet av NGI for Statens vegvesen, datert 6. oktober 2011*

Ref. 9: *Stavne aktivitetssenter, datarapport grunnundersøkelser, dokumentnr R.1815, utarbeidet av Trondheim kommune, datert 10.06.2021*

Ref. 10: *Stavne kirkegård - grunnundersøkelser - datarapport, dokumentnr R.1138, utarbeidet av Trondheim kommune, datert 06.06.2001*





| | | | | | |
|------|------------|-------------|------------|-------------|-----------|
| J01 | 2021-06-15 | For bruk | EgABe | HeTiA | DaBoo |
| Rev. | Dato | Beskrivelse | Utarbeidet | Fagkontroll | Godekjent |

Dette dokumentet er utarbeidet av Norconsult AS som del av det oppdraget som fremgår nedenfor. Opphavsmannen tilhører Norconsult AS.
Dokumentet må bare benyttes til det formål som oppdragsavtalen beskriver, og må ikke kopieres eller gjøres tilgjengelig på annen måte eller i større utstrekning enn formålet tilsier.

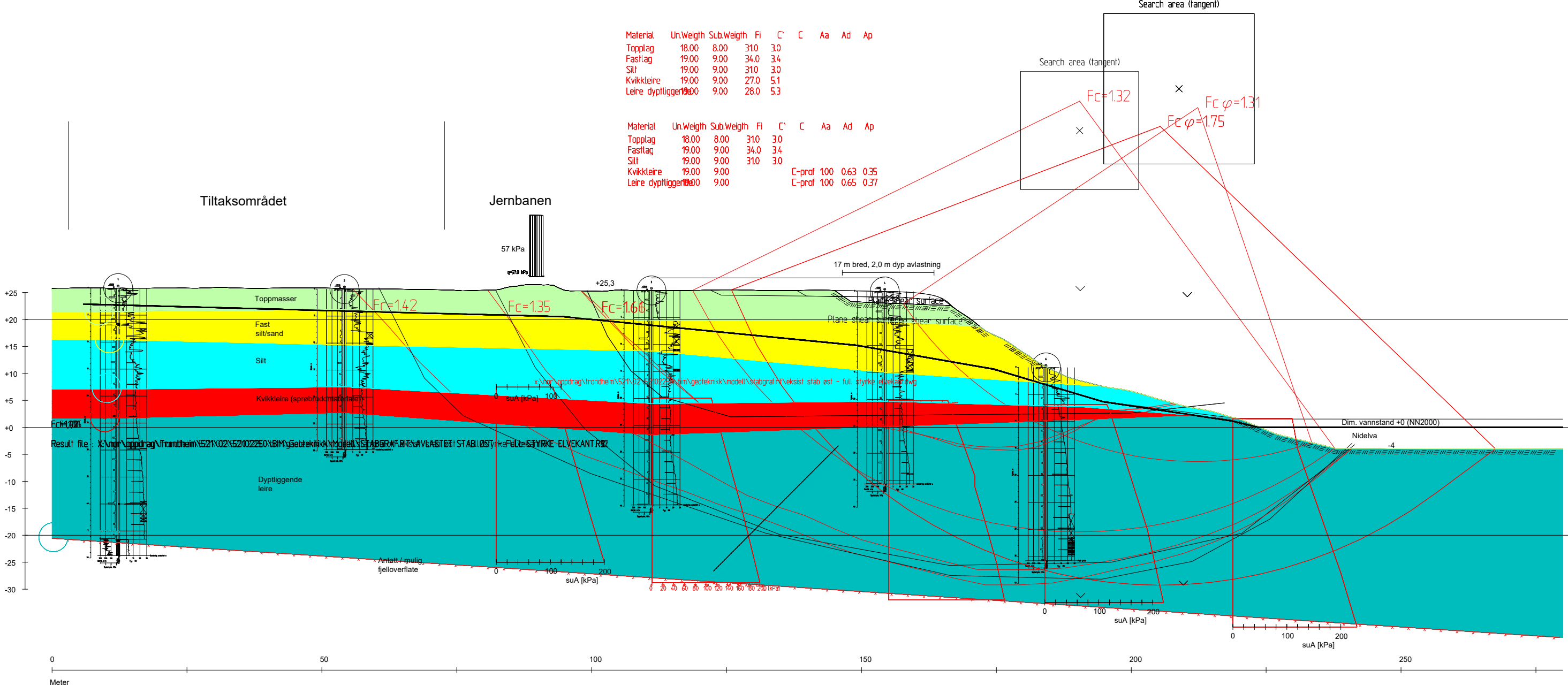
Malestokk (gjelder A3)

Trondheim kommune 1:750

Stavne aktivitetssenter

Områdestabilitetsvurdering
Stabilitetsberegninger snitt A-A
Eksisterende og planlagt situasjon

| | | | |
|------------|----------------------------|----------------|----------|
| Norconsult | Oppdragsgjennomgangsnummer | Tegningsnummer | Revisjon |
| | 52107812 | V201 | J01 |



| J01 | 2021-06-15 | For bruk | EgABe | HeTiA | DaBoo |
|------|------------|-------------|------------|-------------|----------|
| Rev. | Dato | Beskrivelse | Utarbeidet | Fagkontroll | Godekjet |

Dette dokumentet er utarbeidet av Norconsult AS som del av det oppdraget som fremgår nedenfor. Opphavretten tilhører Norconsult AS.
Dokumentet må bare benyttes til det formål som oppdragsavtalen beskriver, og må ikke kopieres eller gjøres tilgjengelig på annen måte eller i større utstrekning enn formålet tilsier.

Malestokk (gjelder A3)

Trondheim kommune

1:750

Stavne aktivitetssenter

Områdestabilitetsvurdering
Stabilitetsberegninger snitt A-A
Forbedret situasjon (avlastet 17*2,0 m)

| | | | |
|------------|----------------------------|----------------|----------|
| Norconsult | Oppdragsgjennomgangsnummer | Tegningsnummer | Revisjon |
|------------|----------------------------|----------------|----------|

| | | |
|----------|------|-----|
| 52107812 | V202 | J01 |
|----------|------|-----|

Vedlegg A

Sonde og utførelse

| | | | |
|------------------|---------------|---------------------------|------|
| Sonenummer | 4352 | Boreleder | Hugo |
| Type sonde | Nova | Temperaturendring (°C) | 8,1 |
| Kalibreringsdato | 2021-02-05 | Maks helning (°) | 29,7 |
| Dato sondering | 2021-04-19 | Maks avstand målinger (m) | 0,01 |
| Filtertype | Porøst filter | | |

Kalibreringsdata

| | Spissmotstand | Sidefriksjon | Poretrykk |
|--------------------------------------|---------------|--------------|-----------|
| Maksimal last (MPa) | 50 | 0,5 | 2 |
| Måleområde (MPa) | 50 | 0,5 | 2 |
| Skaleringsfaktor | 1191 | 3646 | 3961 |
| Oppløsning 2 ¹² bit (kPa) | - | - | - |
| Oppløsning 2 ¹⁸ bit (kPa) | 0,6406 | 0,0105 | 0,0193 |
| Arealforhold | 0,8570 | 0,0000 | |
| Maks ubelastet temp. effekt (kPa) | 30,09 | 1,181 | 4,177 |
| Temperaturområde (°C) | 40 | | |

Nullpunktsskontroll

| | NA | NB | NC |
|----------------------------------|--------|-------|--------|
| Registrert før sondering (kPa) | 8129,5 | 127,7 | 234,0 |
| Registrert etter sondering (kPa) | -64,0 | 0,2 | -0,6 |
| Avvik under sondering(kPa) | 64,0 | 0,2 | 0,6 |
| Maksimal temperatureffekt (kPa) | 6,1 | 0,2 | 0,8 |
| Maksverdi under sondering (kPa) | 7827,3 | 139,5 | 1646,0 |

Vurdering av anvendelsesklasse ihht. ISO 22476-1:2012

| | Spissmotstand | Sidefriksjon | Poretrykk | |
|---------------------------------|---------------|--------------|------------|------------|
| | (kPa) | (%) | (kPa) | (%) |
| Samlet nøyaktighet (kPa) | 70,7 | 0,9 | 0,4 | 0,3 |
| Tillatt nøyaktighet klasse 1 | 35 | 5 | 5 | 10 |
| Tillatt nøyaktighet klasse 2 | 100 | 5 | 15 | 15 |
| Tillatt nøyaktighet klasse 3 | 200 | 5 | 25 | 15 |
| Tillatt nøyaktighet klasse 4 | 500 | 5 | 50 | 20 |
| Anvendelsesklasse | 2 | 1 | 1 | 1 |
| Anvendelsesklasse måleintervall | 1 | | | |
| Anvendelsesklasse | 1 | | | |

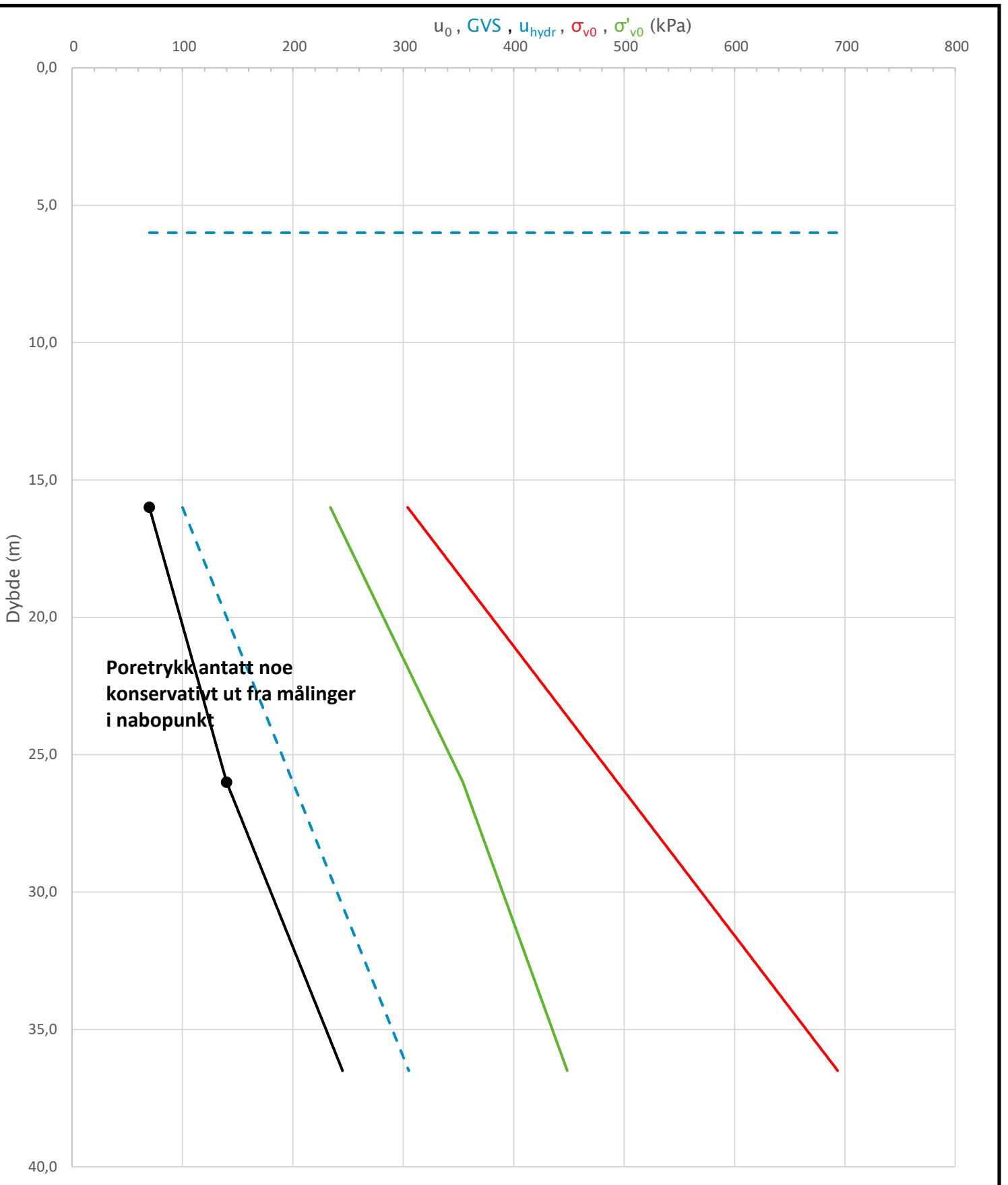
Måleverdier under kapasitet/krav

| Spissmotstand | Sidefriksjon | Poretrykk | Helning | Temperatur |
|---------------|--------------|-----------|---------|------------|
| OK | OK | OK | Ikke OK | OK |

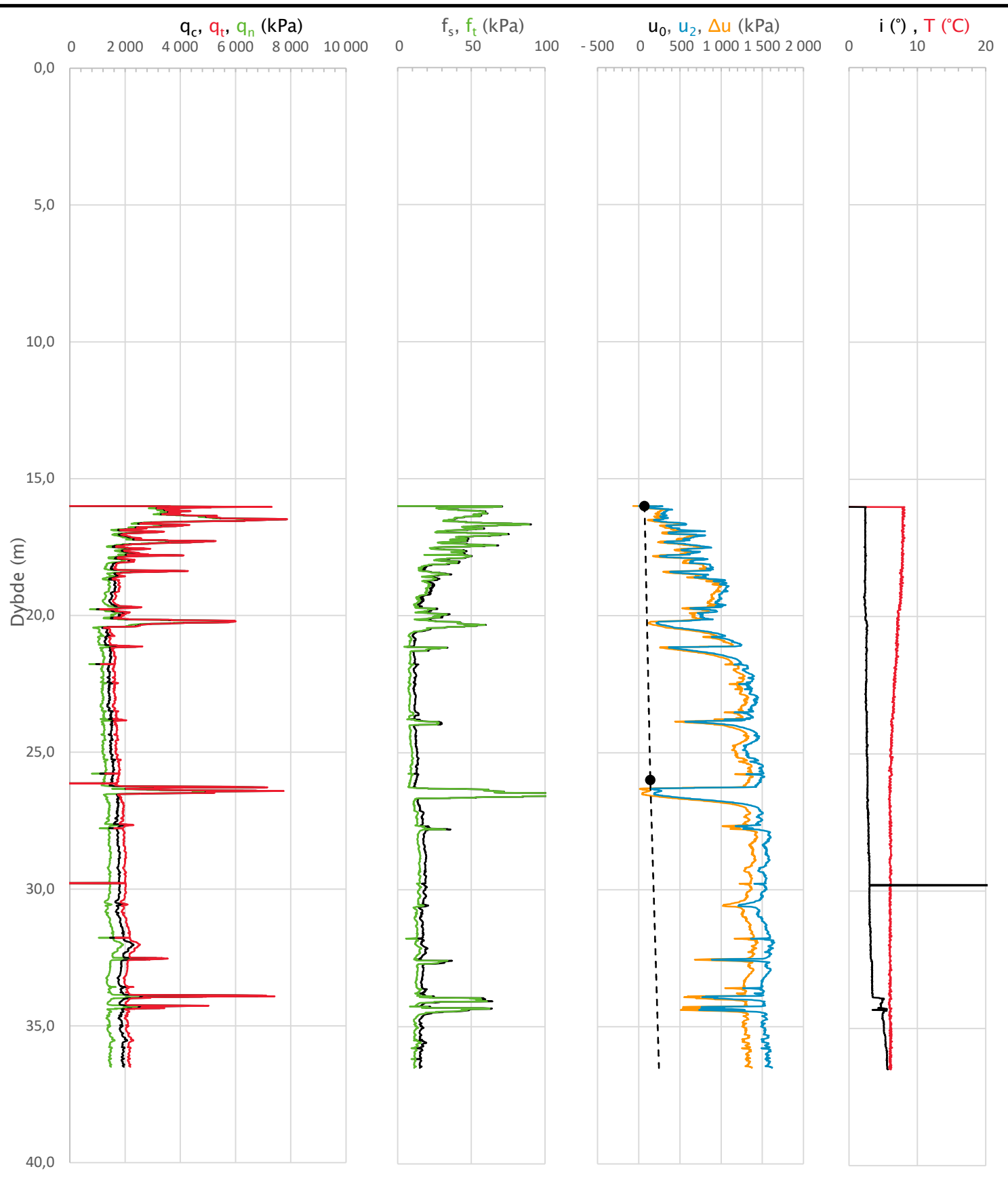
Kommentarer:

Helning vurderes å være ok, da feilmelding kommer av åpenbar feilverdi ved dybde 29,7 m.

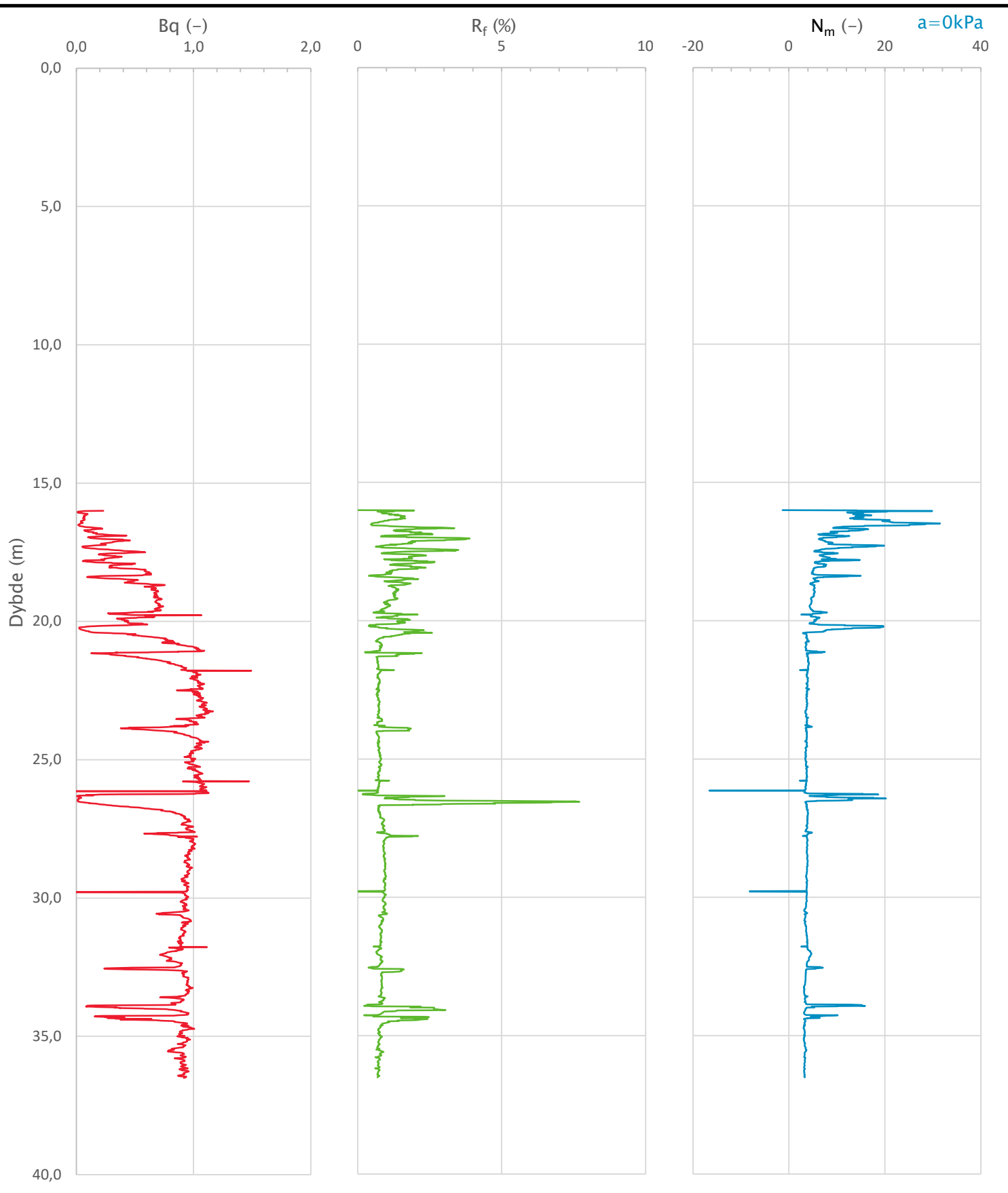
| | | | | |
|--|--|--------------------------------------|----------------------------------|----------------------------|
| Prosjekt Stavne aktivitetssenter | Prosjektnummer: 52107812 Rapportnummer: R.1815 | | | Borhull 3 |
| Innhold Dokumentasjon av utstyr og målenøyaktighet | | | | Sondenummer 4352 |
| Norconsult  | Utført Egil A. Behrens | Kontrollert Henning Tiarks | Godkjent Daan Boonstra | Anvend.klasse 1 |
| | Oppdragsgiver Trondheim kommune | Dato sondering 2021-04-19 | Revisjon Rev. dato | Figur 1 |



| | | | | |
|---|--|--------------------------------------|----------------------------------|----------------------------|
| Prosjekt Stavne aktivitetssenter | Prosjektnummer: 52107812 Rapportnummer: R.1815 | | | Borhull 3 |
| Innhold In-situ poretrykk, total- og effektiv vertikalspenning i beregninger | | | | Sondenummer 4352 |
| Norconsult | Utført Egil A. Behrens | Kontrollert Henning Tiarks | Godkjent Daan Boonstra | Anvend.klasse 1 |
| | Oppdragsgiver Trondheim kommune | Dato sondering 2021-04-19 | Revisjon Rev. dato | Figur 2 |



| | | | |
|--|--|--|---|
| Prosjekt Stavne aktivitetssenter | Prosjektnummer: 52107812 | Rapportnummer: R.1815 | Borhull 3 |
| Innhold Måledata og korrigerte måleverdier | | Sondenummer 4352 | |
| Norconsult  | Utført Egil A. Behrens Oppdragsgiver Trondheim kommune | Kontrollert Henning Tiarks Dato sondering 2021-04-19 | Godkjent Daan Boonstra Revisjon Rev. dato |
| | | | Anvend.klasse 1 |
| | | | Figur 3 |



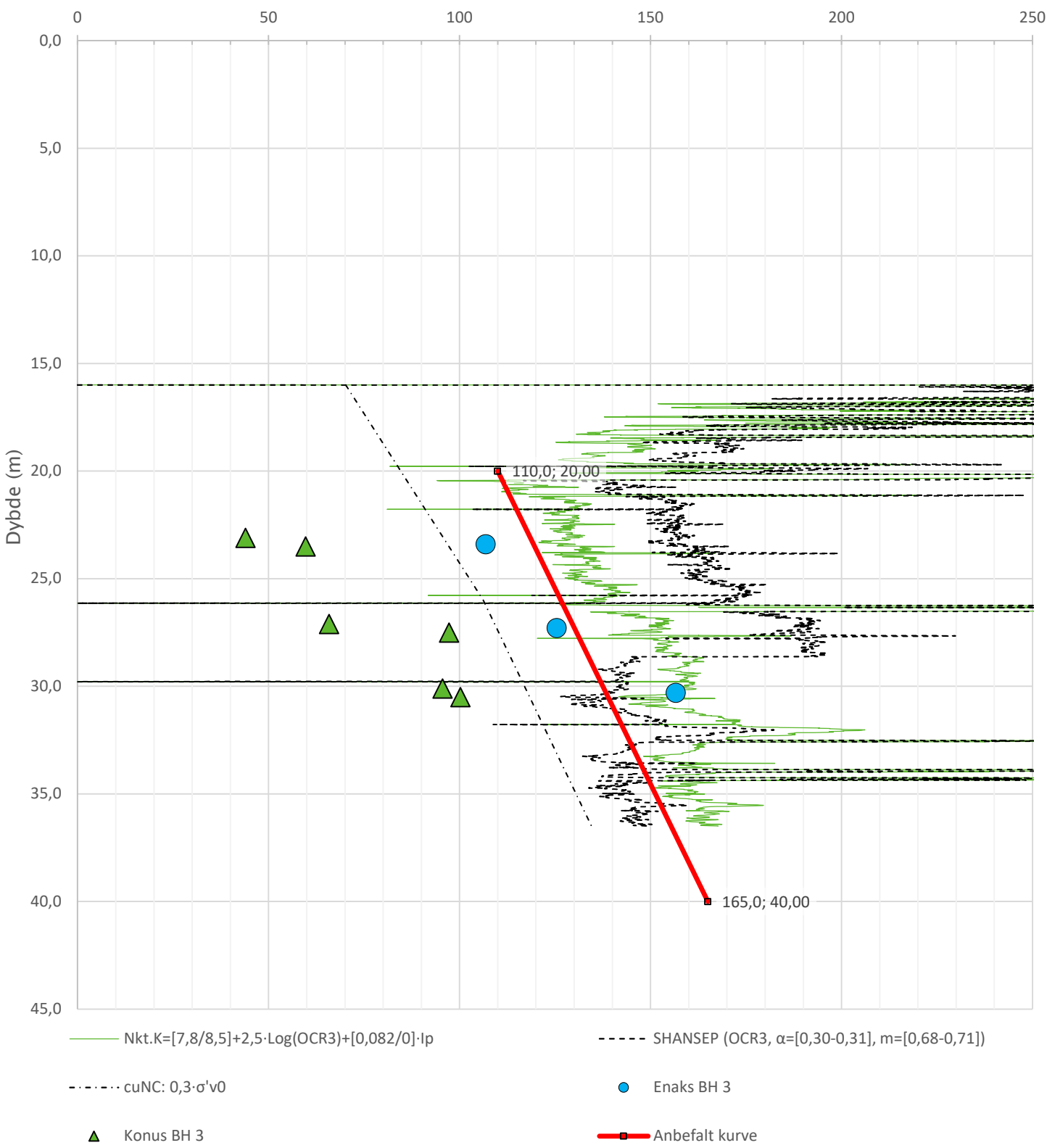
| | | | | |
|--|--|---|---|--|
| Prosjekt Stavne aktivitetssenter | Prosjektnummer: 52107812 Rapportnummer: R.1815 | Borhull 3 | | |
| Innhold Avleddede dimensjonsløse forhold | | Sondenummer 4352 | | |
| Norconsult  | Utført Egil A. Behrens Oppdragsgiver Trondheim kommune | Kontrollert Henning Tiarks Dato sondering 2021-04-19 | Godkjent Daan Boonstra Revisjon Rev. dato | Anvend.klasse 1 Figur 4 |

Anisotropiforhold i figur:

Enaks BH 3: cuuc/cucptu = var. (min:0,636 max:0,638)

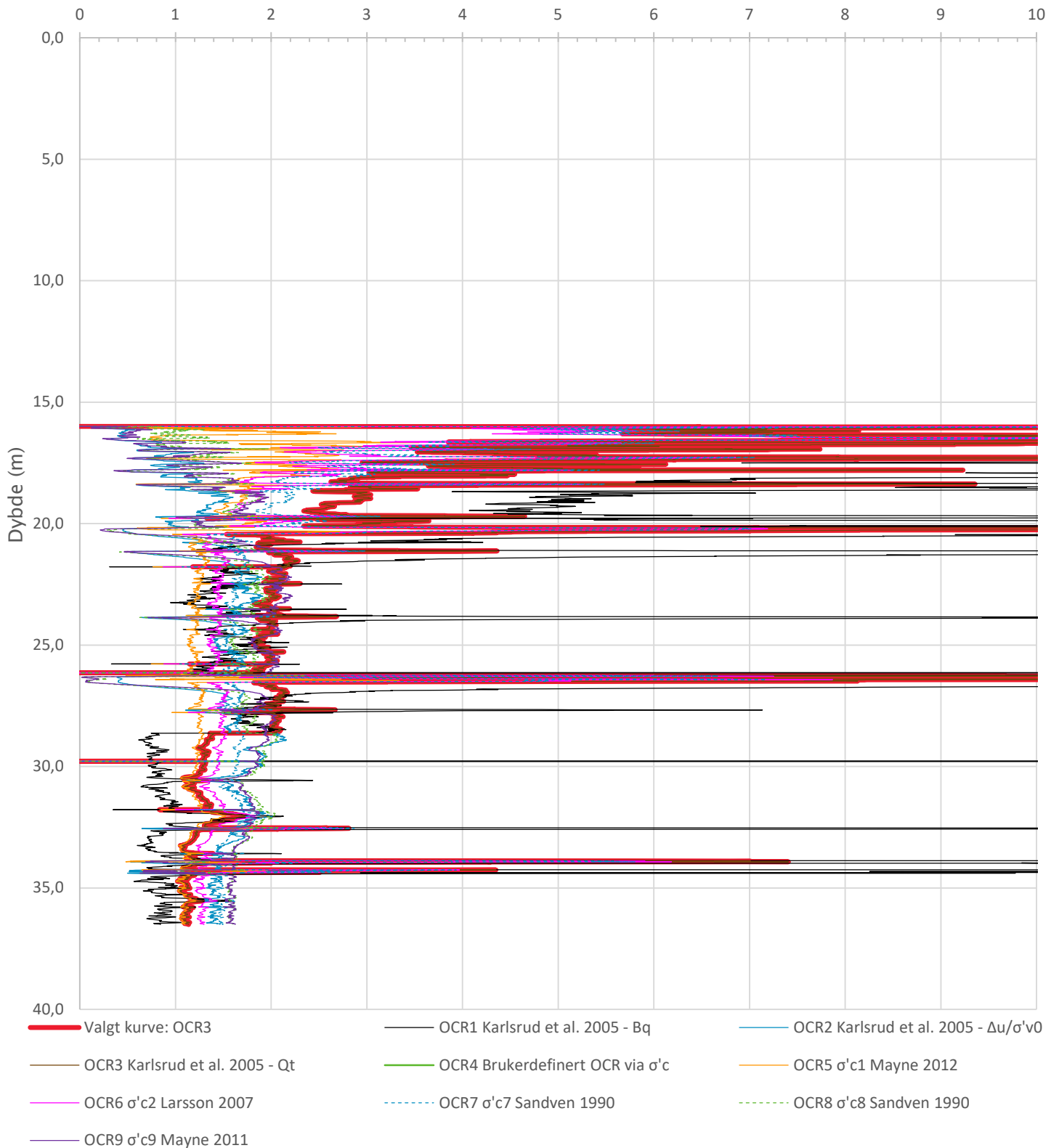
Konus BH 3: cufc/cucptu = var. (min:0,636 max:0,638)

Udrenert aktiv skjærfasthet, c_{ucptu} (kPa)



| | | | |
|--|------------------------------------|--------------------------------------|----------------------------------|
| Prosjekt Stavne aktivitetssenter | Prosjektnummer: 52107812 | Rapportnummer: R.1815 | Borhull 3 |
| Innhold | Sondenummer 4352 | | |
| Tolkning av udrenert aktiv skjærfasthet | | | |
| Norconsult | Utført Egil A. Behrens | Kontrollert Henning Tiarks | Godkjent Daan Boonstra |
| | Oppdragsgiver Trondheim kommune | Dato sondering 2021-04-19 | Revisjon Rev. dato |
| | | Anvend.klasse 1 | Figur 5 |

Overkonsolideringsgrad, OCR (-)



| | | | | |
|--|--|-------------------------------|---------------------------|---------------------------|
| Prosjekt | Prosjektnummer: 52107812 Rapportnummer: R.1815 | | | Borhull |
| Stavne aktivitetssenter | | | | 3 |
| Innhold | | | | Sondenummer |
| Overkonsolideringsgrad, OCR | | | | 4352 |
| Norconsult  | Utført Egil A. Behrens | Kontrollert Henning Tiarks | Godkjent Daan Boonstra | Anvend.klasse 1 |
| | Oppdragsgiver Trondheim kommune | Dato sondering 2021-04-19 | Revisjon Rev. dato | Figur 8 |

Vedlegg A

Sonde og utførelse

| | | | |
|------------------|---------------|---------------------------|-------|
| Sonenummer | 4352 | Boreleder | Kjell |
| Type sonde | Nova | Temperaturendring (°C) | 9,1 |
| Kalibreringsdato | 2021-02-05 | Maks helning (°) | 3,2 |
| Dato sondering | 2021-04-16 | Maks avstand målinger (m) | 0,01 |
| Filtertype | Porøst filter | | |

Kalibreringsdata

| | Spissmotstand | Sidefriksjon | Poretrykk |
|--------------------------------------|---------------|--------------|-----------|
| Maksimal last (MPa) | 50 | 0,5 | 2 |
| Måleområde (MPa) | 50 | 0,5 | 2 |
| Skaleringsfaktor | 1191 | 3646 | 3961 |
| Oppløsning 2 ¹² bit (kPa) | - | - | - |
| Oppløsning 2 ¹⁸ bit (kPa) | 0,6406 | 0,0105 | 0,0193 |
| Arealforhold | 0,8570 | 0,0000 | |
| Maks ubelastet temp. effekt (kPa) | 30,09 | 1,181 | 4,177 |
| Temperaturområde (°C) | 40 | | |

Nullpunktsskontroll

| | NA | NB | NC |
|----------------------------------|---------|-------|-------|
| Registrert før sondering (kPa) | 8074,4 | 128,6 | 235,5 |
| Registrert etter sondering (kPa) | -5,1 | -0,1 | 0,5 |
| Avvik under sondering(kPa) | 5,1 | 0,1 | 0,5 |
| Maksimal temperatureffekt (kPa) | 6,8 | 0,3 | 1,0 |
| Maksverdi under sondering (kPa) | 15211,6 | 253,5 | 65,5 |

Vurdering av anvendelsesklasse ihht. ISO 22476-1:2012

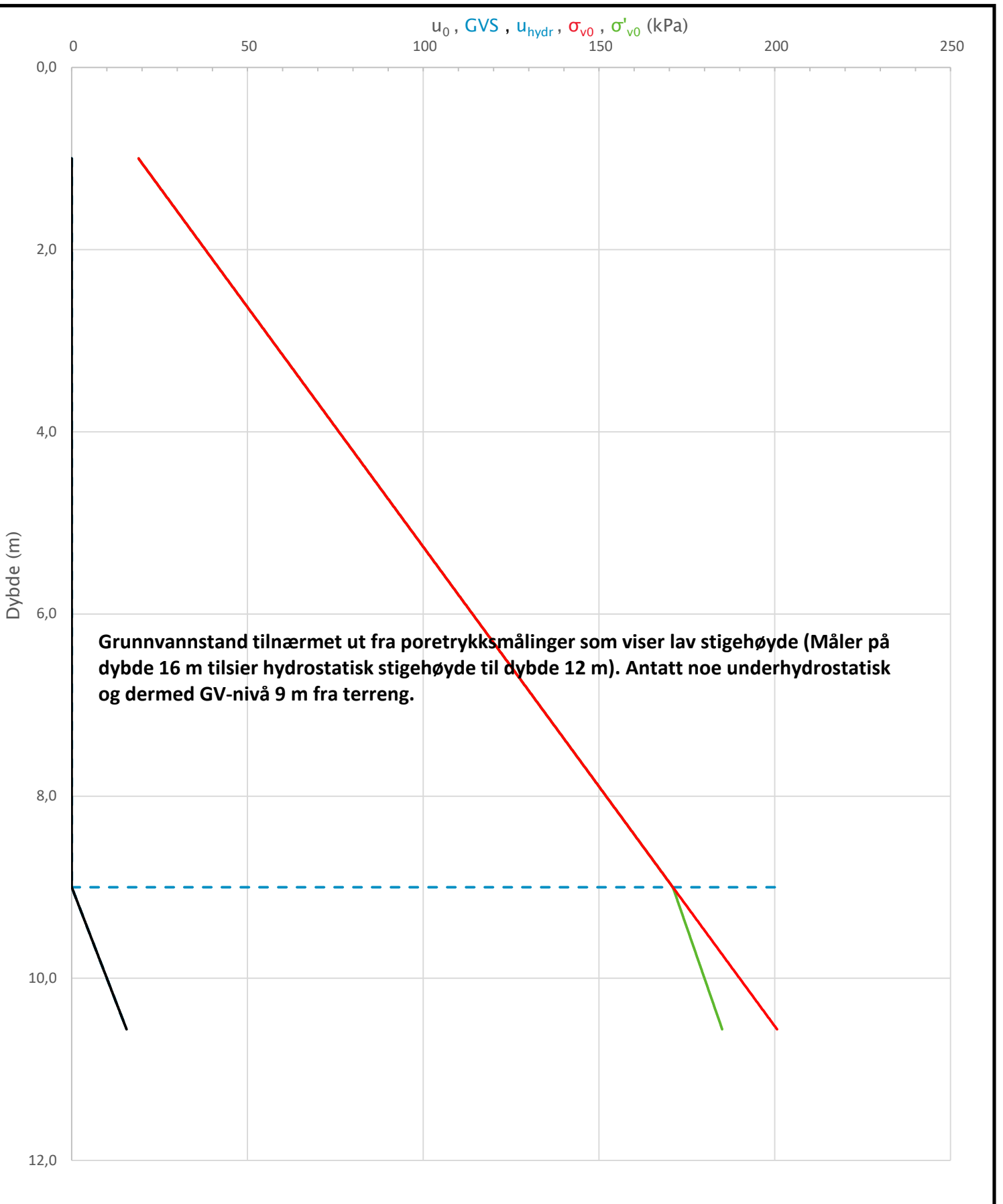
| | Spissmotstand | Sidefriksjon | Poretrykk | |
|---------------------------------|---------------|--------------|------------|------------|
| | (kPa) | (%) | (kPa) | (%) |
| Samlet nøyaktighet (kPa) | 12,6 | 0,1 | 0,4 | 0,1 |
| Tillatt nøyaktighet klasse 1 | 35 | 5 | 5 | 10 |
| Tillatt nøyaktighet klasse 2 | 100 | 5 | 15 | 15 |
| Tillatt nøyaktighet klasse 3 | 200 | 5 | 25 | 15 |
| Tillatt nøyaktighet klasse 4 | 500 | 5 | 50 | 20 |
| Anvendelsesklasse | 1 | 1 | 1 | 1 |
| Anvendelsesklasse måleintervall | 1 | | | |
| Anvendelsesklasse | 1 | | | |

Måleverdier under kapasitet/krav

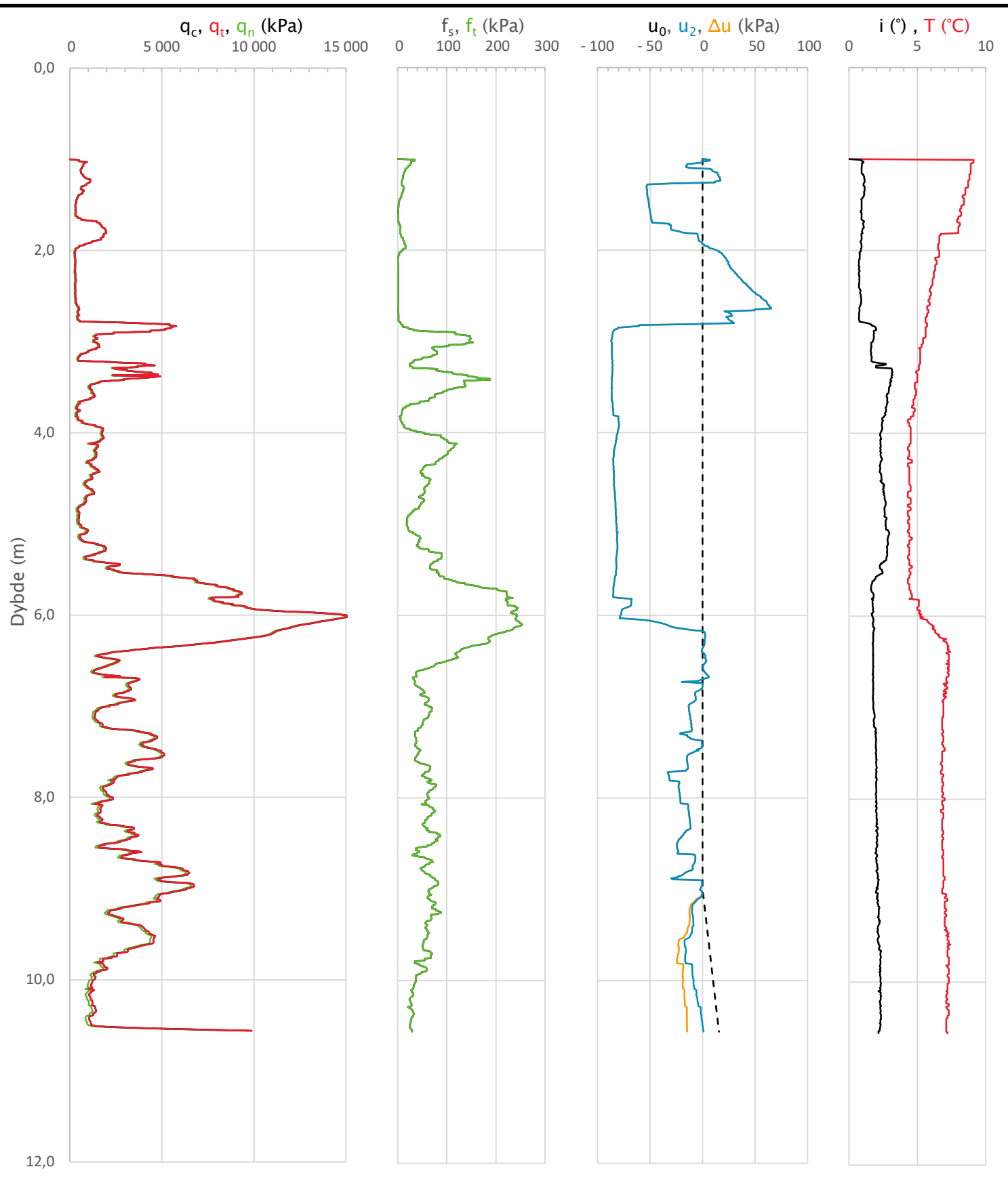
| Spissmotstand | Sidefriksjon | Poretrykk | Helning | Temperatur |
|---------------|--------------|-----------|---------|------------|
| OK | OK | OK | OK | OK |

Kommentarer:

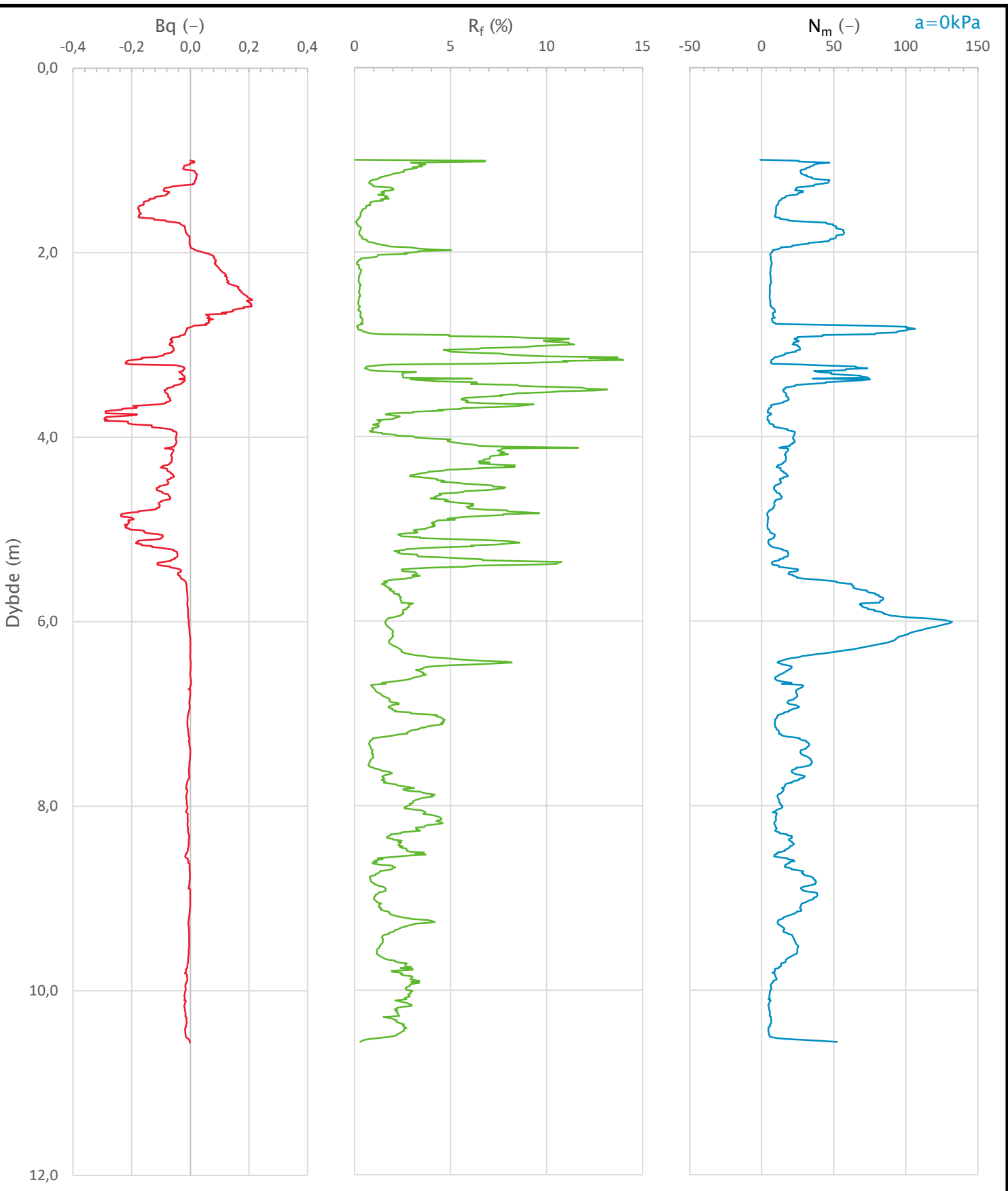
| | | | | |
|--|--|--------------------------------------|----------------------------------|---------------------------|
| Prosjekt Stavne aktivitetssenter | Prosjektnummer: 52107812 Rapportnummer: R.1815 | Borhull 4 øvre del | | |
| Innhold Dokumentasjon av utstyr og målenøyaktighet | | Sondenummer 4352 | | |
| Norconsult  | Utført Egil A. Behrens | Kontrollert Henning Tiarks | Godkjent Daan Boonstra | Anvend.klasse 1 |
| | Oppdragsgiver Trondheim kommune | Dato sondering 2021-04-16 | Revisjon Rev. dato | Figur 1 |



| | | | |
|---|------------------------------------|--------------------------------------|----------------------------------|
| Prosjekt Stavne aktivitetssenter | Prosjektnummer: 52107812 | Rapportnummer: R.1815 | Borhull 4 øvre del |
| Innhold In-situ poretrykk, total- og effektiv vertikalspenning i beregninger | | Sondenummer 4352 | |
| Norconsult | Utført Egil A. Behrens | Kontrollert Henning Tiarks | Godkjent Daan Boonstra |
| | Oppdragsgiver Trondheim kommune | Dato sondering 2021-04-16 | Anvend.klasse 1 |
| | | Revisjon Rev. dato | Figur 2 |

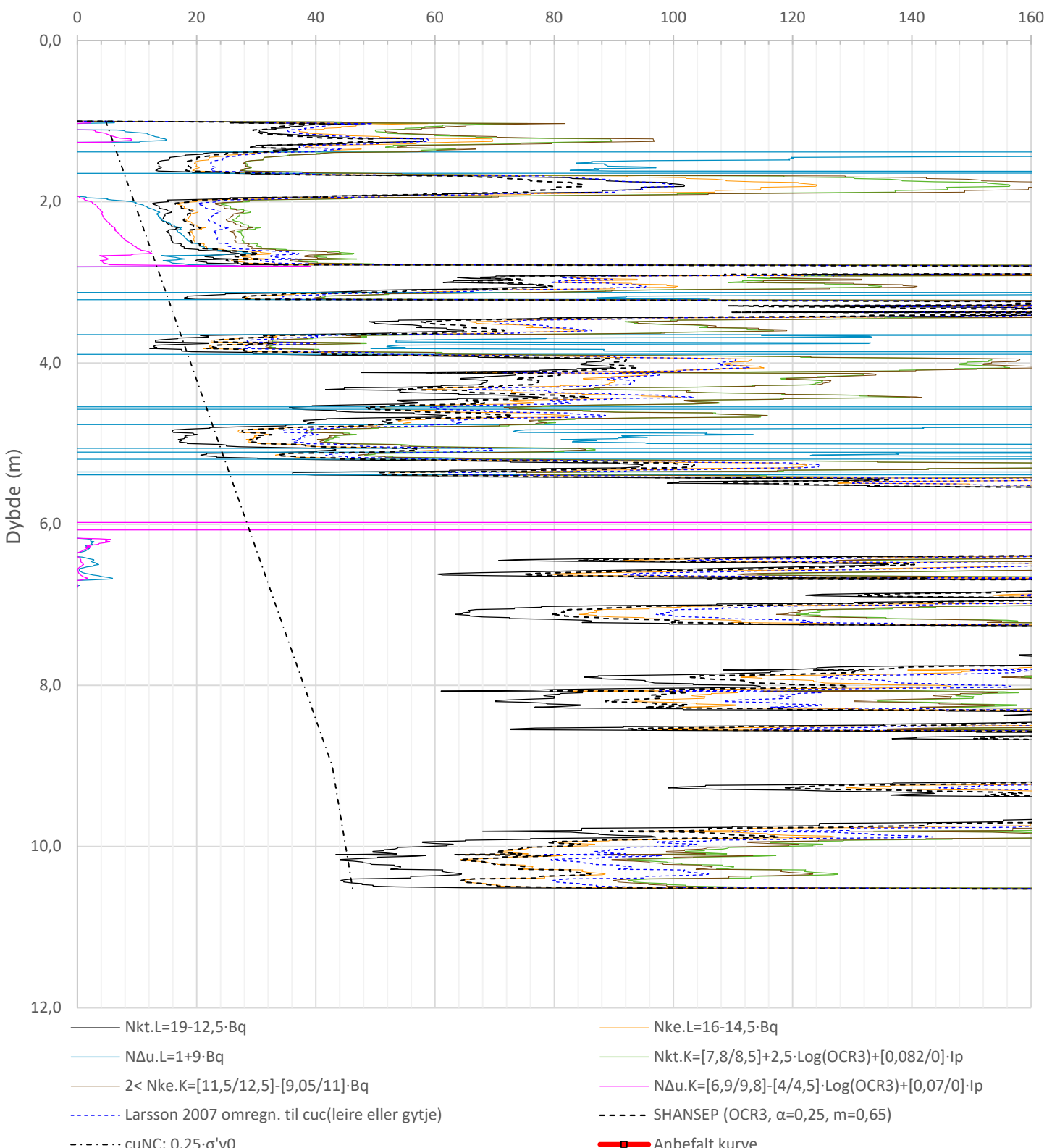


| | | | |
|---|------------------------------------|--------------------------------------|----------------------------------|
| Prosjekt Stavne aktivitetssenter | Prosjektnummer: 52107812 | Rapportnummer: R.1815 | Borhull 4 øvre del |
| Innhold Måledata og korrigerte måleverdier | | Sondenummer 4352 | |
| Norconsult | Utført Egil A. Behrens | Kontrollert Henning Tiarks | Godkjent Daan Boonstra |
| | Oppdragsgiver Trondheim kommune | Dato sondering 2021-04-16 | Anvend.klasse 1 |
| | | Revisjon Rev. dato | Figur 3 |



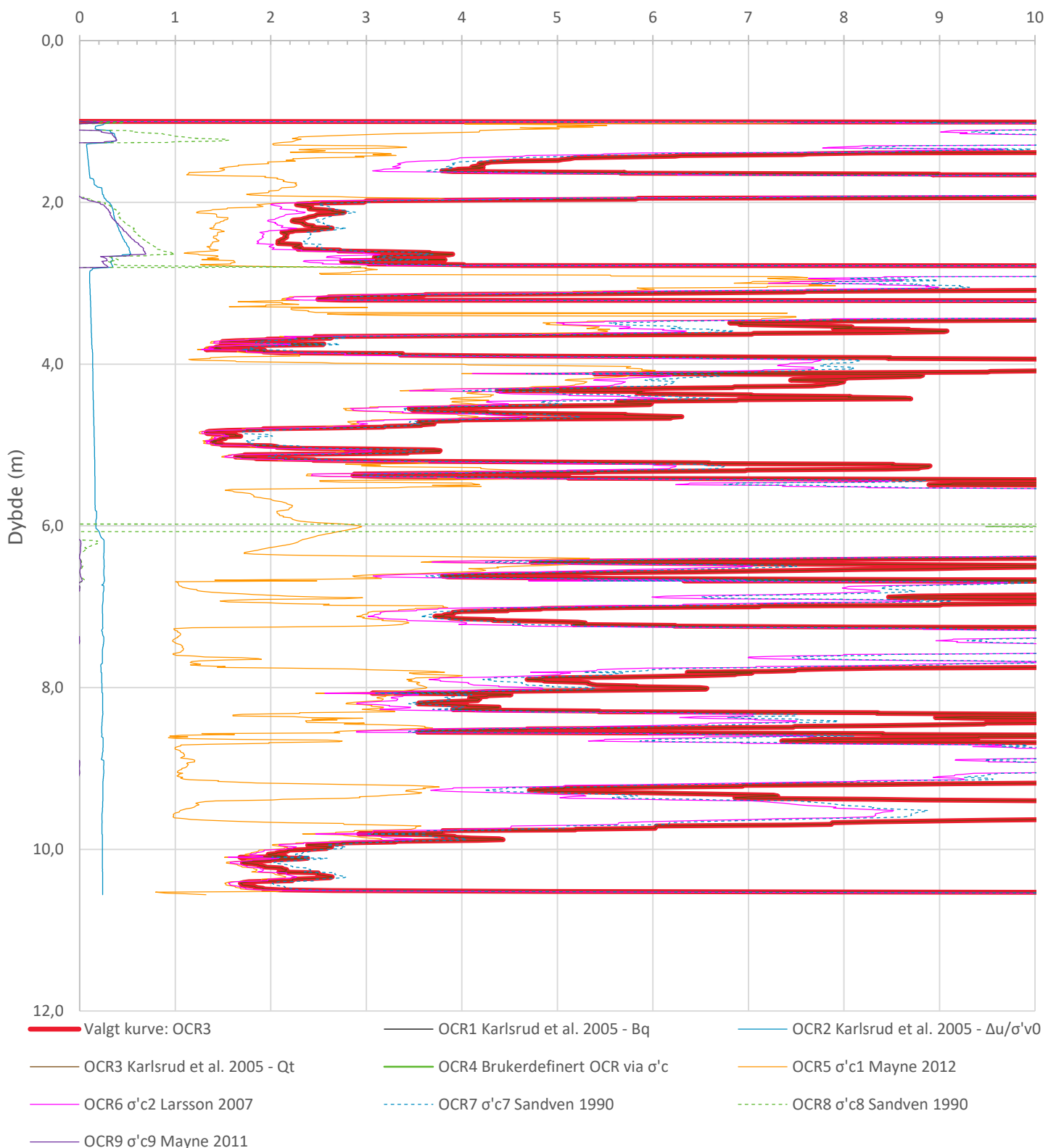
| | | | |
|--|------------------------------------|--------------------------------------|----------------------------------|
| Prosjekt Stavne aktivitetssenter | Prosjektnummer: 52107812 | Rapportnummer: R.1815 | Borhull 4 øvre del |
| Innhold Avleddede dimensjonsløse forhold | | Sondenummer | 4352 |
| Norconsult  | Utført Egil A. Behrens | Kontrollert Henning Tiarks | Godkjent Daan Boonstra |
| | Oppdragsgiver Trondheim kommune | Dato sondering 2021-04-16 | Anvend.klasse 1 |
| | | Revisjon Rev. dato | Figur 4 |

Udrenert aktiv skjærfasthet, c_{ucptu} (kPa)



| | | | |
|--|------------------------------------|--------------------------------------|----------------------------------|
| Prosjekt Stavne aktivitetssenter | Prosjektnummer: 52107812 | Rapportnummer: R.1815 | Borhull 4 øvre del |
| Innhold | | Sondenummer | |
| Tolkning av udrenert aktiv skjærfasthet | | | 4352 |
| Norconsult  | Utført Egil A. Behrens | Kontrollert Henning Tiarks | Godkjent Daan Boonstra |
| | Oppdragsgiver Trondheim kommune | Dato sondering 2021-04-16 | Anvend.klasse 1 |
| | | Revisjon Rev. dato | Figur 5 |

Overkonsolideringsgrad, OCR (-)



| | | |
|--|--|-------------------------------|
| Prosjekt Stavne aktivitetssenter | Prosjektnummer: 52107812 Rapportnummer: R.1815 | Borhull 4 øvre del |
| Innhold | | Sondenummer 4352 |
| Overkonsolideringsgrad, OCR | | |
| Norconsult  | Utført Egil A. Behrens | Kontrollert Henning Tiarks |
| | Oppdragsgiver Trondheim kommune | Godkjent Daan Boonstra |
| | | Anvend.klasse 1 |
| | Dato sondering 2021-04-16 | Revisjon Rev. dato |
| | | Figur 8 |

Vedlegg A

Sonde og utførelse

| | | | |
|------------------|---------------|---------------------------|------|
| Sonenummer | 4352 | Boreleder | Hugo |
| Type sonde | Nova | Temperaturendring (°C) | 0 |
| Kalibreringsdato | 2021-02-05 | Maks helning (°) | 7,8 |
| Dato sondering | 2021-04-19 | Maks avstand målinger (m) | 0,01 |
| Filtertype | Porøst filter | | |

Kalibreringsdata

| | Spissmotstand | Sidefriksjon | Poretrykk |
|--------------------------------------|---------------|--------------|-----------|
| Maksimal last (MPa) | 50 | 0,5 | 2 |
| Måleområde (MPa) | 50 | 0,5 | 2 |
| Skaleringsfaktor | 1191 | 3646 | 3961 |
| Oppløsning 2 ¹² bit (kPa) | - | - | - |
| Oppløsning 2 ¹⁸ bit (kPa) | 0,6406 | 0,0105 | 0,0193 |
| Arealforhold | 0,8570 | 0,0000 | |
| Maks ubelastet temp. effekt (kPa) | 30,09 | 1,181 | 4,177 |
| Temperaturområde (°C) | 40 | | |

Nullpunktsskontroll

| | NA | NB | NC |
|----------------------------------|---------|-------|--------|
| Registrert før sondering (kPa) | 8093,0 | 127,8 | 235,2 |
| Registrert etter sondering (kPa) | -19,8 | -0,2 | -10,6 |
| Avvik under sondering(kPa) | 19,8 | 0,2 | 10,6 |
| Maksimal temperatureffekt (kPa) | 0,0 | 0,0 | 0,0 |
| Maksverdi under sondering (kPa) | 13420,9 | 941,1 | 2871,3 |

Vurdering av anvendelsesklasse ihht. ISO 22476-1:2012

| | Spissmotstand | Sidefriksjon | Poretrykk | |
|---------------------------------|---------------|--------------|------------|------------|
| | (kPa) | (%) | (kPa) | (%) |
| Samlet nøyaktighet (kPa) | 20,4 | 0,2 | 0,2 | 0,0 |
| Tillatt nøyaktighet klasse 1 | 35 | 5 | 5 | 10 |
| Tillatt nøyaktighet klasse 2 | 100 | 5 | 15 | 15 |
| Tillatt nøyaktighet klasse 3 | 200 | 5 | 25 | 15 |
| Tillatt nøyaktighet klasse 4 | 500 | 5 | 50 | 20 |
| Anvendelsesklasse | 1 | 1 | 1 | 1 |
| Anvendelsesklasse måleintervall | 1 | | | |
| Anvendelsesklasse | 1 | | | |

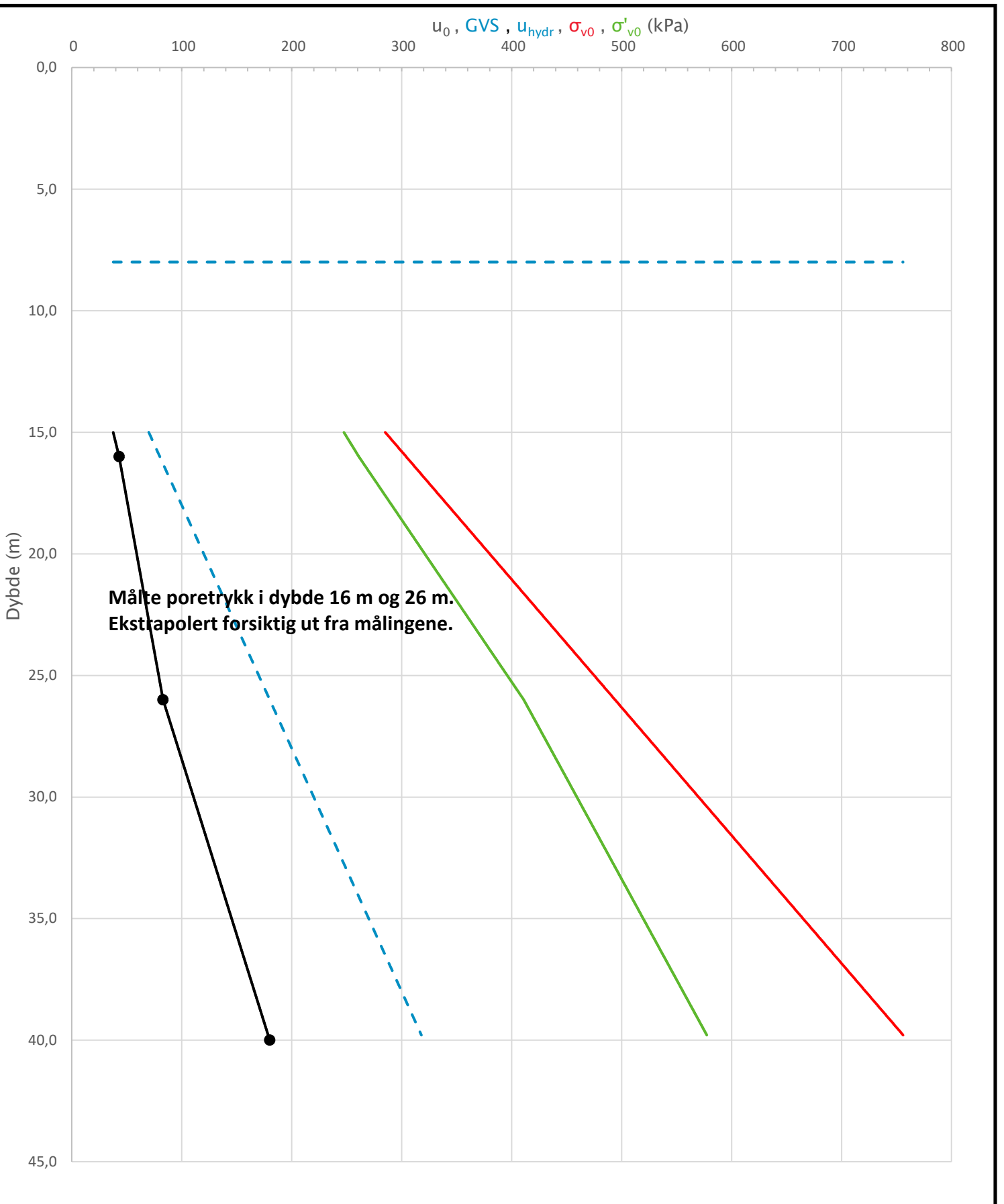
Måleverdier under kapasitet/krav

| Spissmotstand | Sidefriksjon | Poretrykk | Helning | Temperatur |
|---------------|--------------|-----------|---------|------------|
| OK | Ikke OK | Ikke OK | OK | OK |

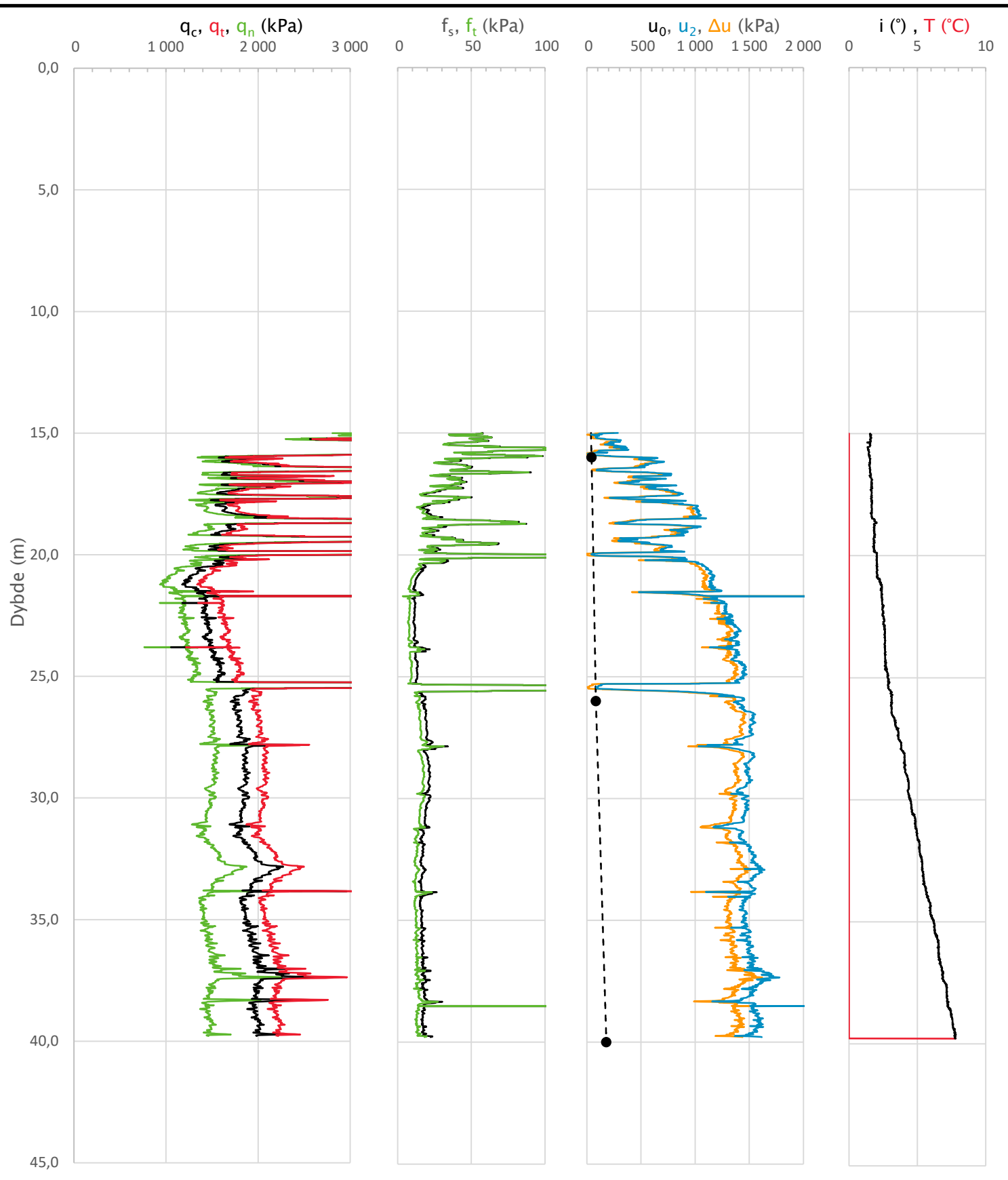
Kommentarer:

Poretrykk og sidefriksjon overskriver kalibreringsområdet. Vurderes å være anvendbar med noe forsiktighet.

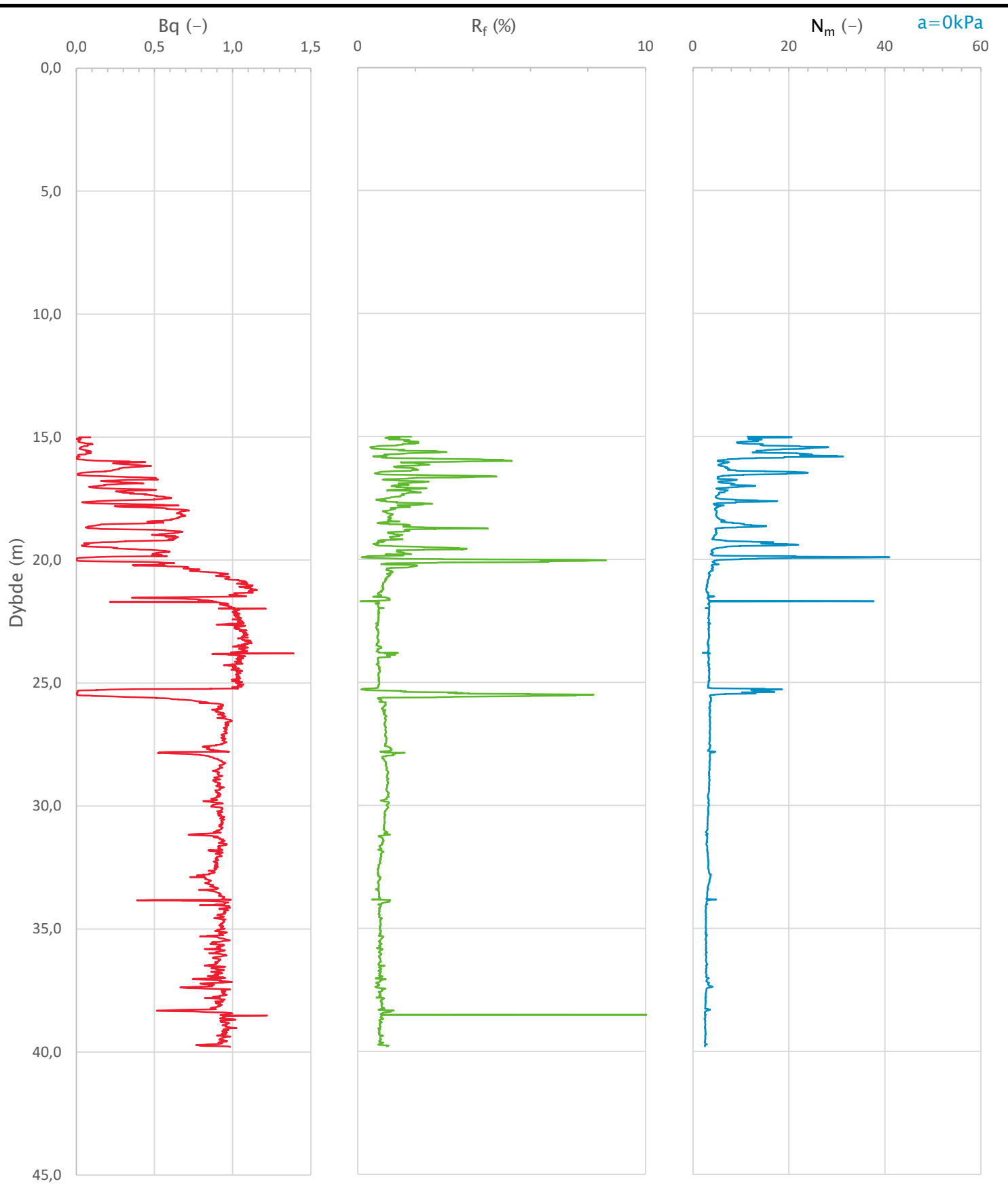
| | | | | |
|--|--|-------------------------------|---------------------------|-------------------------------|
| Prosjekt Stavne aktivitetssenter | Prosjektnummer: 52107812 Rapportnummer: R.1815 | | | Borhull 4 nedre del |
| Innhold | | | | Sondenummer 4352 |
| Dokumentasjon av utstyr og målenøyaktighet | | | | |
|  | Utført Egil A. Behrens | Kontrollert Henning Tiarks | Godkjent Daan Boonstra | Anvend.klasse 1 |
| | Oppdragsgiver Trondheim kommune | Dato sondering 2021-04-19 | Revisjon Rev. dato | Figur 1 |



| | | |
|---|--|--------------------------------------|
| Prosjekt Stavne aktivitetssenter | Prosjektnummer: 52107812 Rapportnummer: R.1815 | Borhull 4 nedre del |
| Innhold In-situ poretrykk, total- og effektiv vertikalspenning i beregninger | | Sondenummer 4352 |
| Norconsult | Utført Egil A. Behrens | Kontrollert Henning Tiarks |
| | Oppdragsgiver Trondheim kommune | Godkjent Daan Boonstra |
| | Date sondering 2021-04-19 | Anvend.klasse 1 |
| | Revisjon | Figur 2 |
| | Rev. dato | |



| | | | |
|---|------------------------------------|--------------------------------------|----------------------------------|
| Prosjekt Stavne aktivitetssenter | Prosjektnummer: 52107812 | Rapportnummer: R.1815 | Borhull 4 nedre del |
| Innhold Måledata og korrigerte måleverdier | | Sondenummer 4352 | |
| Norconsult | Utført Egil A. Behrens | Kontrollert Henning Tiarks | Godkjent Daan Boonstra |
| | Oppdragsgiver Trondheim kommune | Dato sondering 2021-04-19 | Anvend.klasse 1 |
| | | Revisjon Rev. dato | Figur 3 |



| | | | |
|--|------------------------------------|--------------------------------------|----------------------------------|
| Prosjekt Stavne aktivitetssenter | Prosjektnummer: 52107812 | Rapportnummer: R.1815 | Borhull 4 nedre del |
| Innhold Avleddede dimensjonsløse forhold | | Sondenummer | 4352 |
| Norconsult  | Utført Egil A. Behrens | Kontrollert Henning Tiarks | Godkjent Daan Boonstra |
| | Oppdragsgiver Trondheim kommune | Dato sondering 2021-04-19 | Anvend.klasse 1 |
| | | Revisjon Rev. dato | Figur 4 |

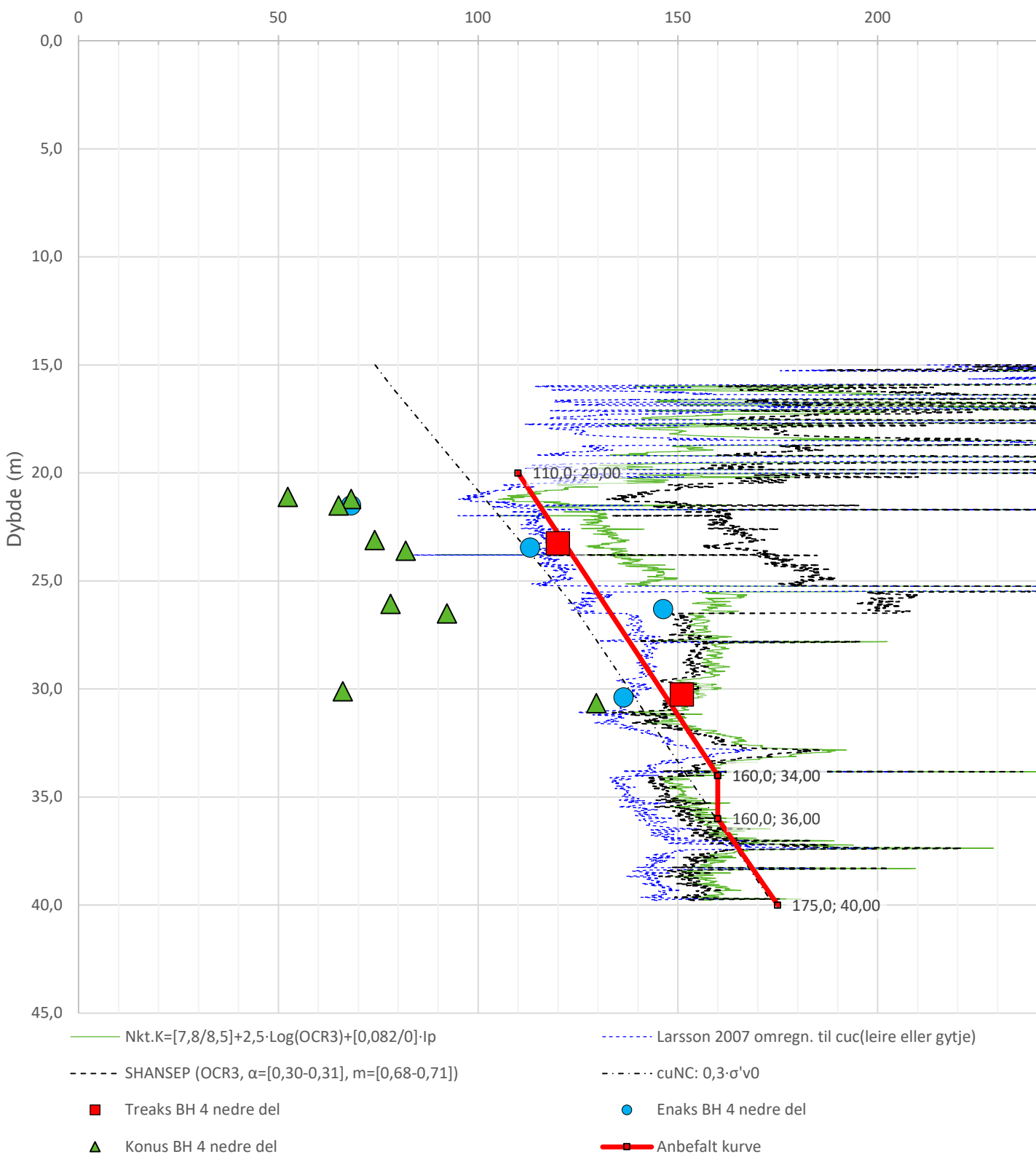
Anisotropiforhold i figur:

Treks BH 4 nedre del: cuC/cucptu = 1,000

Enaks BH 4 nedre del: cuuc/cucptu = var. (min:0,630 max:0,673)

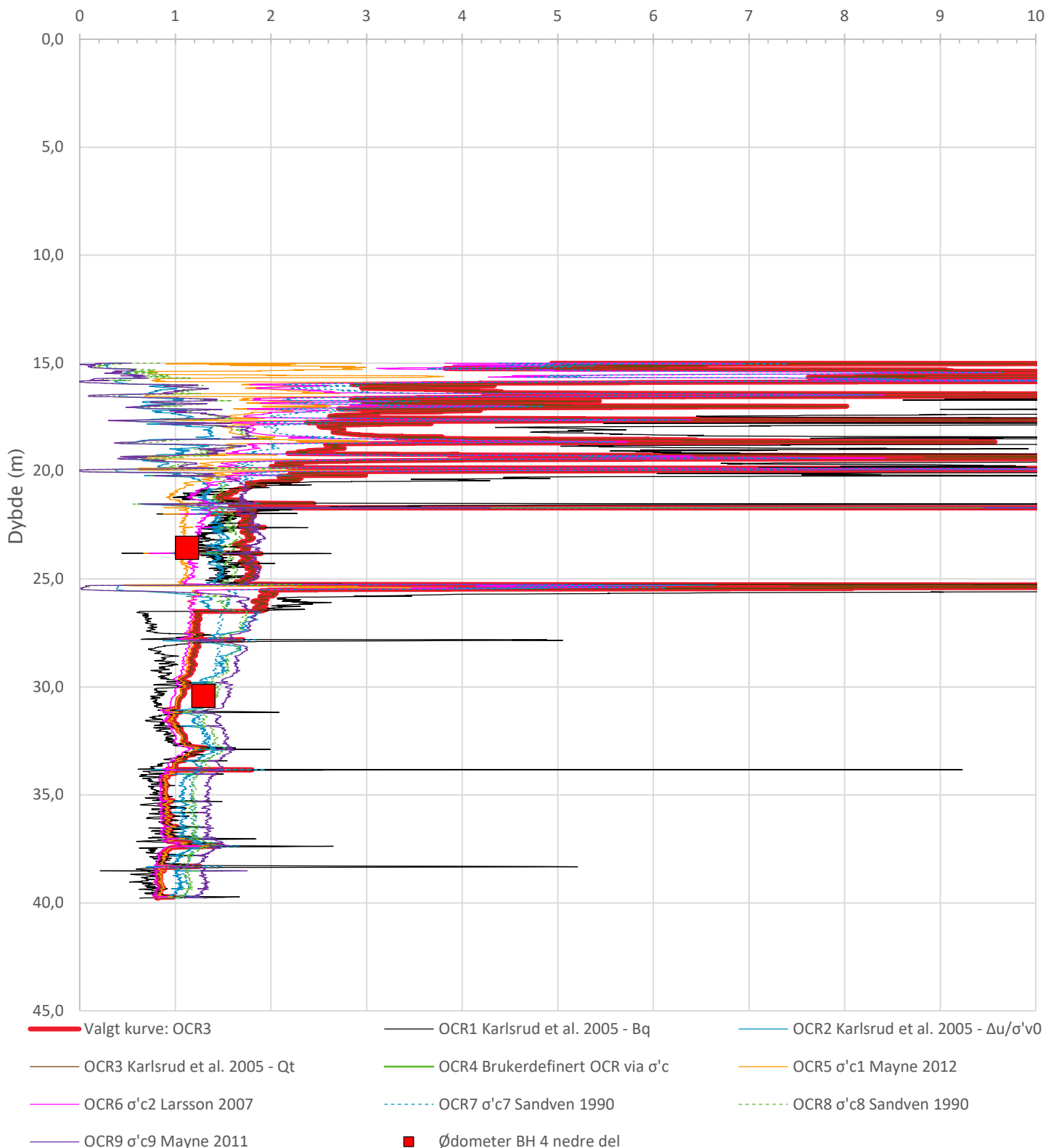
Konus BH 4 nedre del: cufc/cucptu = var. (min:0,630 max:0,673)

Udrenert aktiv skjærfasthet, c_{ucptu} (kPa)



| Prosjekt | Prosjektnummer: | Rapportnummer: | Borhull |
|---|------------------------------------|-------------------------------|---------------------------|
| Stavne aktivitetssenter | 52107812 | R.1815 | 4 nedre del |
| Innhold | | | Sondenummer |
| Tolkning av udrenert aktiv skjærfasthet | | | 4352 |
| Norconsult | Utført Egil A. Behrens | Kontrollert Henning Tiarks | Godkjent Daan Boonstra |
| | Oppdragsgiver Trondheim kommune | Dato sondering 2021-04-19 | Anvend.klasse 1 |
| | | Revisjon Rev. dato | Figur 5 |

Overkonsolideringsgrad, OCR (-)



| | | | |
|--|------------------------------------|--------------------------------------|----------------------------------|
| Prosjekt Stavne aktivitetssenter | Prosjektnummer: 52107812 | Rapportnummer: R.1815 | Borhull 4 nedre del |
| Innhold | | Sondenummer | |
| Overkonsolideringsgrad, OCR | | | 4352 |
| Norconsult  | Utført Egil A. Behrens | Kontrollert Henning Tiarks | Godkjent Daan Boonstra |
| | Oppdragsgiver Trondheim kommune | Dato sondering 2021-04-19 | Anvend.klasse 1 |
| | | Revisjon Rev. dato | Figur 8 |

Vedlegg A

Sonde og utførelse

| | | | |
|------------------|---------------|---------------------------|------|
| Sonenummer | 4352 | Boreleder | Hugo |
| Type sonde | Nova | Temperaturendring (°C) | 6,6 |
| Kalibreringsdato | 2021-02-05 | Maks helning (°) | 9,0 |
| Dato sondering | 2021-05-05 | Maks avstand målinger (m) | 0,01 |
| Filtertype | Porøst filter | | |

Kalibreringsdata

| | Spissmotstand | Sidefriksjon | Poretrykk |
|--------------------------------------|---------------|--------------|-----------|
| Maksimal last (MPa) | 50 | 0,5 | 2 |
| Måleområde (MPa) | 50 | 0,5 | 2 |
| Skaleringsfaktor | 1191 | 3646 | 3961 |
| Oppløsning 2 ¹² bit (kPa) | - | - | - |
| Oppløsning 2 ¹⁸ bit (kPa) | 0,6406 | 0,0105 | 0,0193 |
| Arealforhold | 0,8570 | 0,0000 | |
| Maks ubelastet temp. effekt (kPa) | 30,09 | 1,181 | 4,177 |
| Temperaturområde (°C) | 40 | | |

Nullpunktsskontroll

| | NA | NB | NC |
|----------------------------------|--------|-------|--------|
| Registrert før sondering (kPa) | 8046,9 | 128,4 | 232,6 |
| Registrert etter sondering (kPa) | -18,6 | 0,4 | -2,4 |
| Avvik under sondering(kPa) | 18,6 | 0,4 | 2,4 |
| Maksimal temperatureffekt (kPa) | 5,0 | 0,2 | 0,7 |
| Maksverdi under sondering (kPa) | 6428,4 | 110,7 | 1669,4 |

Vurdering av anvendelsesklasse ihht. ISO 22476-1:2012

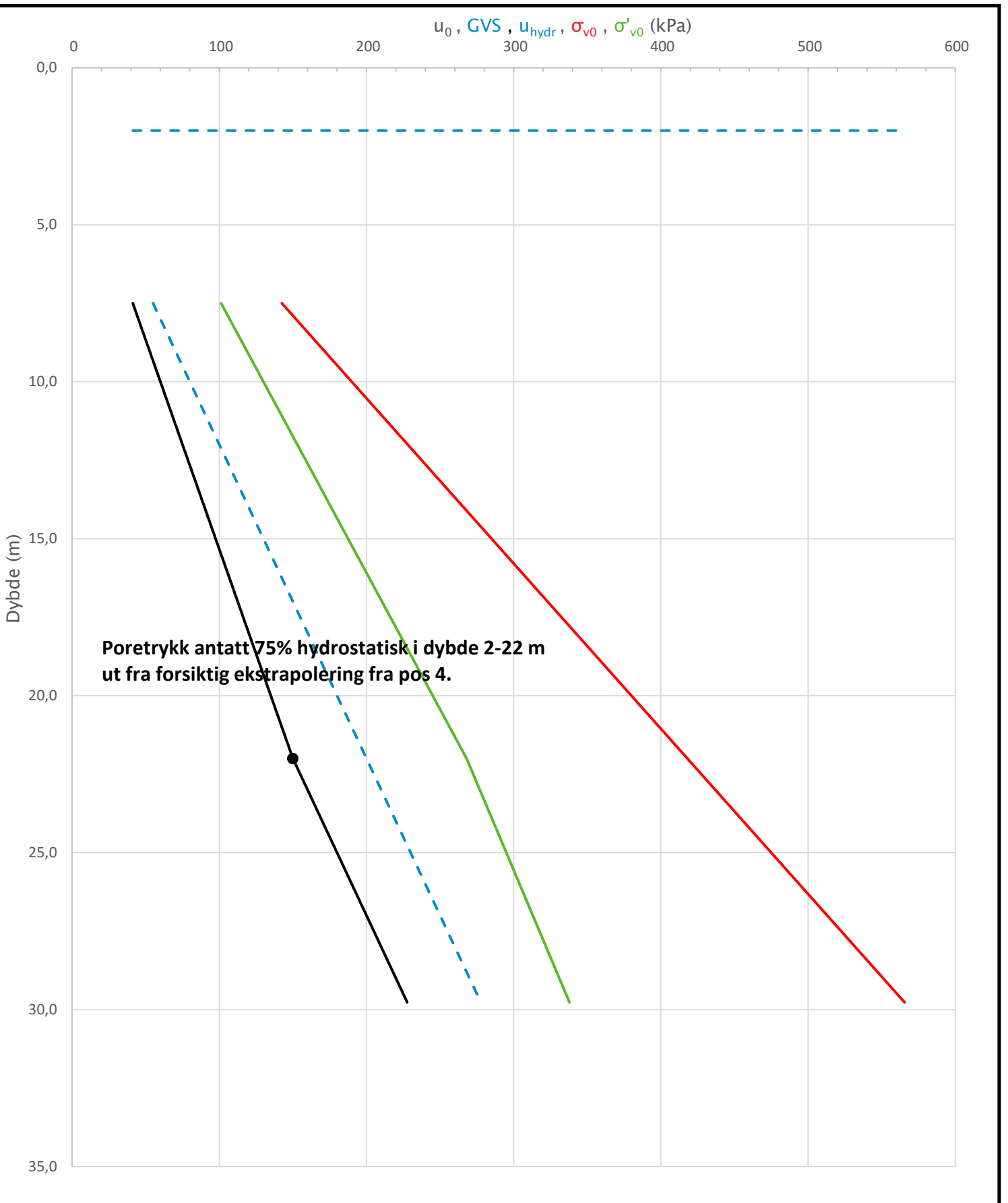
| | Spissmotstand | Sidefriksjon | Poretrykk | |
|---------------------------------|---------------|--------------|------------|------------|
| | (kPa) | (%) | (kPa) | (%) |
| Samlet nøyaktighet (kPa) | 24,2 | 0,4 | 0,6 | 0,5 |
| Tillatt nøyaktighet klasse 1 | 35 | 5 | 5 | 10 |
| Tillatt nøyaktighet klasse 2 | 100 | 5 | 15 | 15 |
| Tillatt nøyaktighet klasse 3 | 200 | 5 | 25 | 15 |
| Tillatt nøyaktighet klasse 4 | 500 | 5 | 50 | 20 |
| Anvendelsesklasse | 1 | 1 | 1 | 1 |
| Anvendelsesklasse måleintervall | 1 | | | |
| Anvendelsesklasse | 1 | | | |

Måleverdier under kapasitet/krav

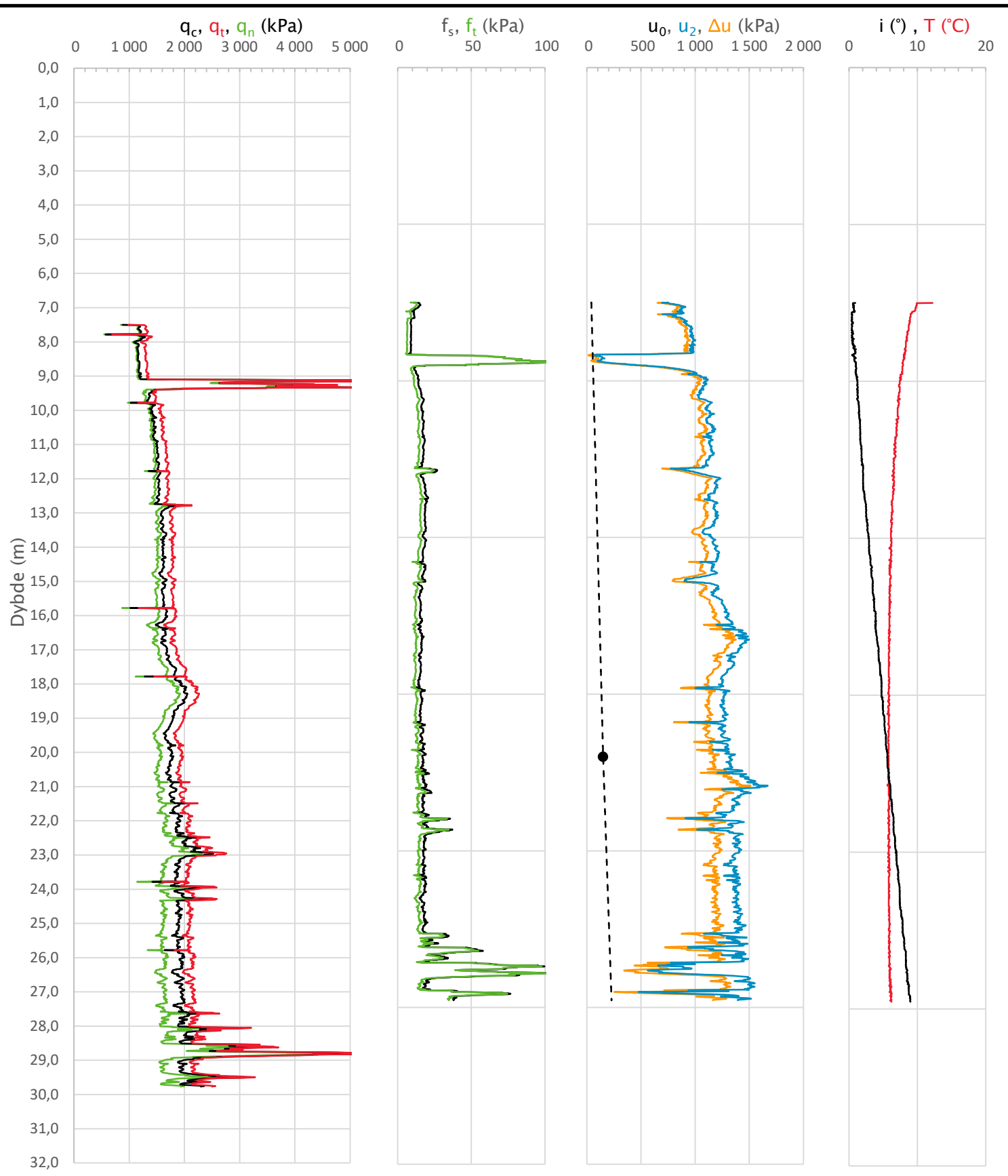
| Spissmotstand | Sidefriksjon | Poretrykk | Helning | Temperatur |
|---------------|--------------|-----------|---------|------------|
| OK | OK | OK | OK | OK |

Kommentarer:

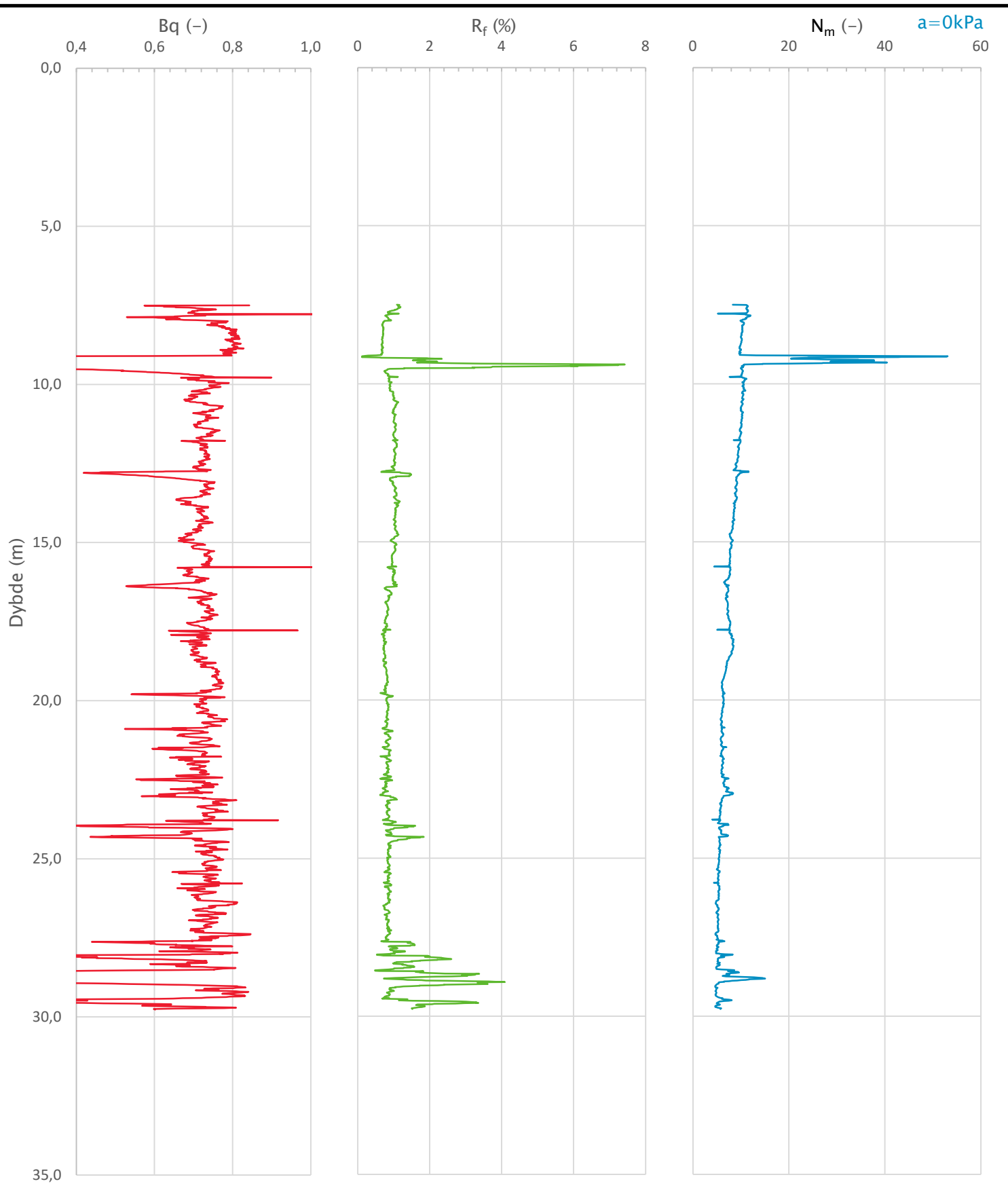
| | | | | |
|--|--|--------------------------------------|----------------------------------|---------------------------|
| Prosjekt Stavne aktivitetssenter | Prosjektnummer: 52107812 Rapportnummer: R.1815 | Borhull 6 | | |
| Innhold Dokumentasjon av utstyr og målenøyaktighet | | Sondenummer 4352 | | |
| Norconsult  | Utført Egil A. Behrens | Kontrollert Henning Tiarks | Godkjent Daan Boonstra | Anvend.klasse 1 |
| | Oppdragsgiver Trondheim kommune | Dato sondering 2021-05-05 | Revisjon Rev. dato | Figur 1 |



| | | | | |
|--------------------------------|--|--------------------------------------|----------------------------------|---------------------------|
| Prosjekt | Prosjektnummer: 52107812 Rapportnummer: R.1815 | | | Borhull |
| Stavne aktivitetssenter | | | | 6 |
| Innhold | In-situ poretrykk, total- og effektiv vertikalspenning i beregninger | | | Sondenummer |
| | | | | 4352 |
| Norconsult | Utført Egil A. Behrens | Kontrollert Henning Tiarks | Godkjent Daan Boonstra | Anvend.klasse 1 |
| | Oppdragsgiver Trondheim kommune | Dato sondering 2021-05-05 | Revisjon Rev. dato | Figur 2 |



| | | | |
|--|--|--|---|
| Prosjekt Stavne aktivitetssenter | Prosjektnummer: 52107812 | Rapportnummer: R.1815 | Borhull 6 |
| Innhold Måledata og korrigerte måleverdier | | Sondenummer 4352 | |
| Norconsult  | Utført Egil A. Behrens Oppdragsgiver Trondheim kommune | Kontrollert Henning Tiarks Dato sondering 2021-05-05 | Godkjent Daan Boonstra Revisjon Rev. dato |
| | Anvend.klasse 1 | | Figur 3 |



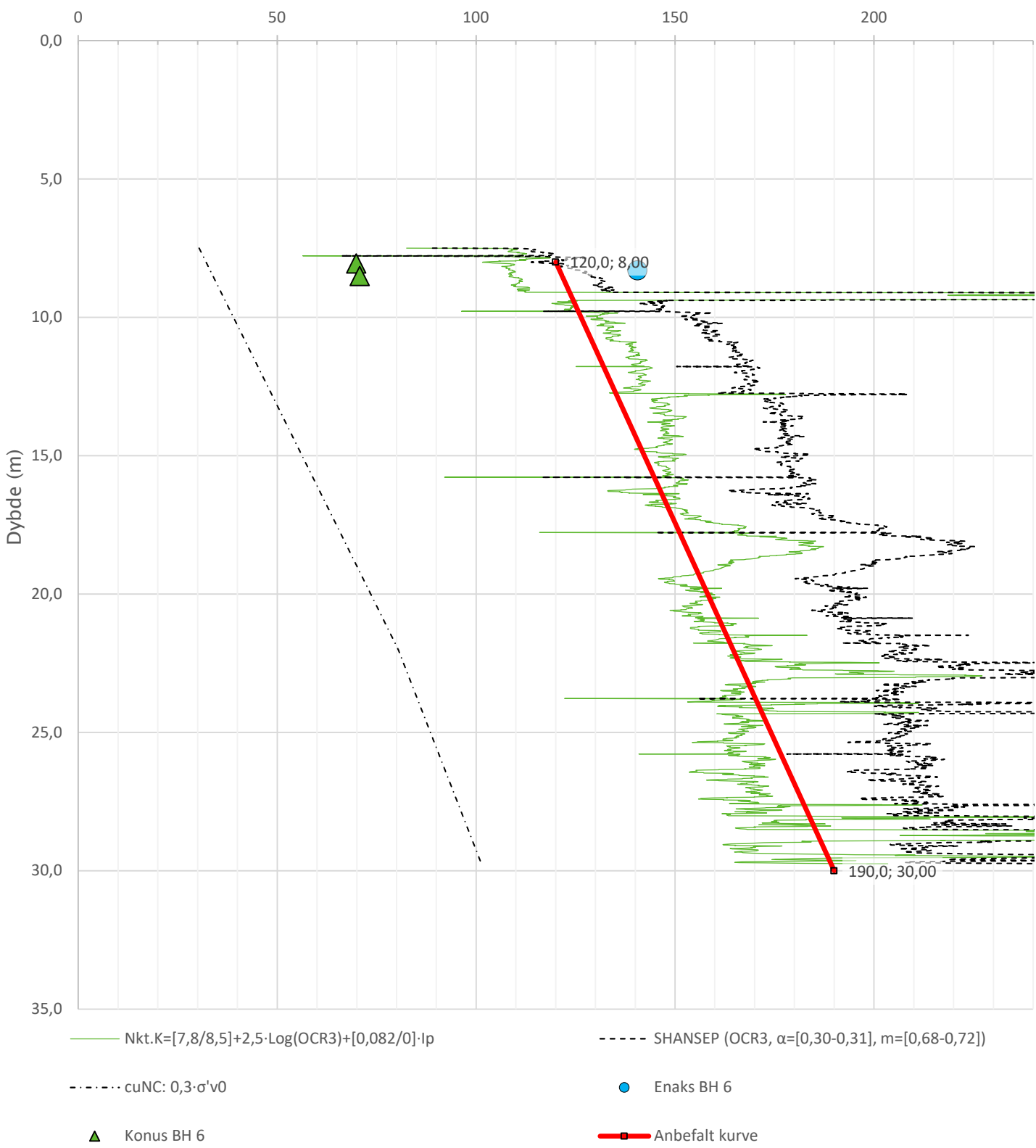
| | | | |
|--|------------------------------------|--------------------------------------|----------------------------------|
| Prosjekt Stavne aktivitetssenter | Prosjektnummer: 52107812 | Rapportnummer: R.1815 | Borhull 6 |
| Innhold Avleddede dimensjonsløse forhold | | Sondenummer 4352 | |
| Norconsult  | Utført Egil A. Behrens | Kontrollert Henning Tiarks | Godkjent Daan Boonstra |
| | Oppdragsgiver Trondheim kommune | Dato sondering 2021-05-05 | Revisjon Rev. dato |
| | | | Anvend.klasse 1 |
| | | | Figur 4 |

Anisotropiforhold i figur:

Enaks BH 6: cuuc/cucptu = 0,661

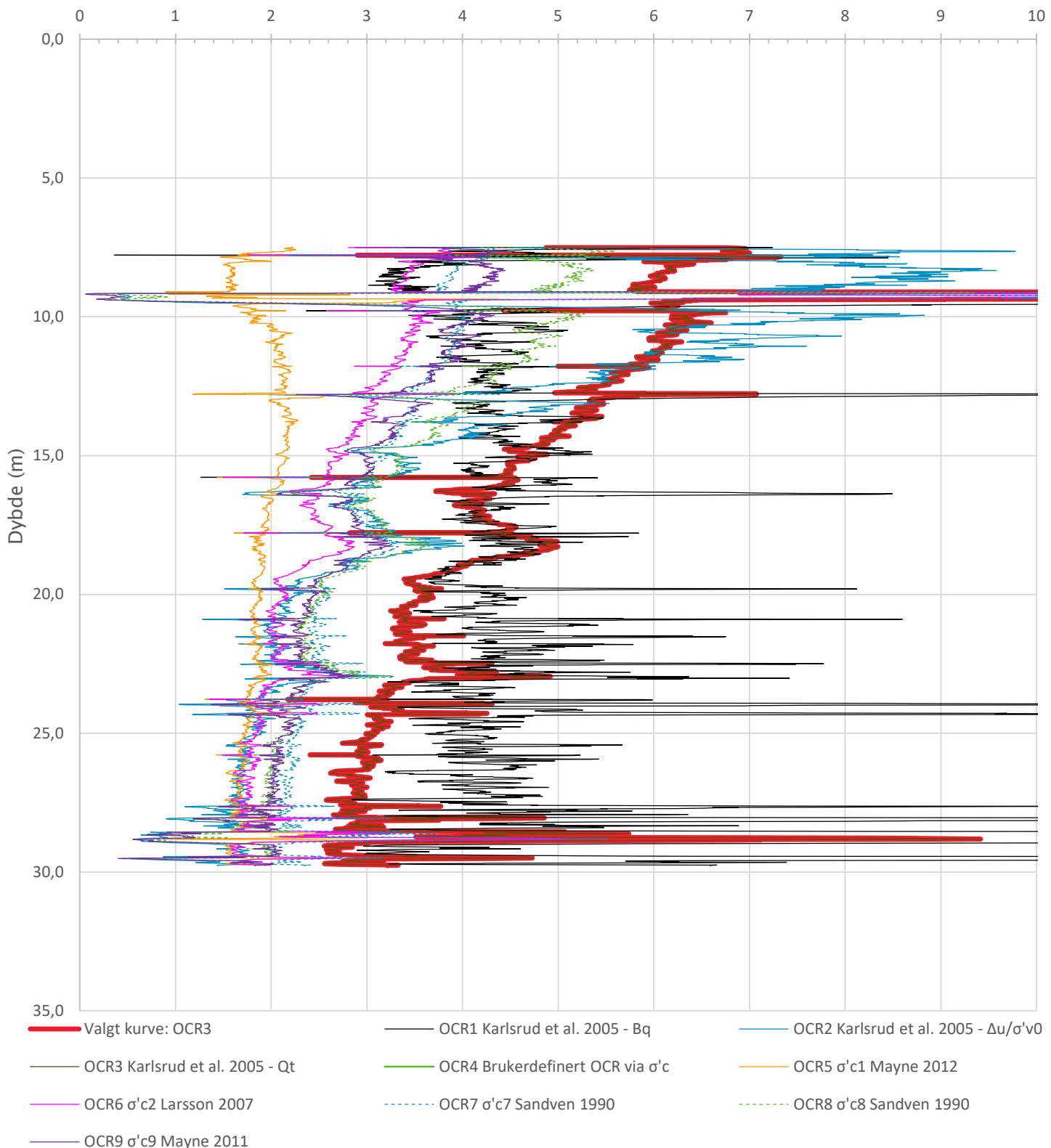
Konus BH 6: cufc/cucptu = var. (min:0,658 max:0,664)

Udrenert aktiv skjærfasthet, c_{ucptu} (kPa)



| | | | |
|--|------------------------------------|--------------------------------------|----------------------------------|
| Prosjekt Stavne aktivitetssenter | Prosjektnummer: 52107812 | Rapportnummer: R.1815 | Borhull 6 |
| Innhold | Sondenummer 4352 | | |
| Tolkning av udrenert aktiv skjærfasthet | | | |
| Norconsult | Utført Egil A. Behrens | Kontrollert Henning Tiarks | Godkjent Daan Boonstra |
| | Oppdragsgiver Trondheim kommune | Dato sondering 2021-05-05 | Revisjon Rev. dato |
| | | Anvend.klasse 1 | Figur 5 |

Overkonsolideringsgrad, OCR (-)



| | | | |
|--|------------------------------------|--------------------------------------|----------------------------------|
| Prosjekt Stavne aktivitetssenter | Prosjektnummer: 52107812 | Rapportnummer: R.1815 | Borhull 6 |
| Innhold | | Sondenummer | |
| Overkonsolideringsgrad, OCR | | 4352 | |
| Norconsult | Utført Egil A. Behrens | Kontrollert Henning Tiarks | Godkjent Daan Boonstra |
| | Oppdragsgiver Trondheim kommune | Dato sondering 2021-05-05 | Anvend.klasse 1 |
| | | Revisjon Rev. dato | Figur 8 |

Seismiske laster er generert fra jordskjelv soneringskart v.1.0.2019*

* Seismic Zonation and Earthquake loading for Norway and Svalbard; Load estimates based for Eurocode 8 applications

Dato: 2021-06-02
Klokkeslett: 15:28:24
Bruker-id: Martin Klemetsen Grindstad
Rapport sendes til: martin.klemetsen.grindstad@norconsult.com
Data er generert for geografisk lokasjon: Osloveien 155, 7019 Trondheim, Norway
63.4119° N; 10.3846° E
Seismisk grunnakselerasjon er generert for: Berg, $v_s = 1200$ m/s
Prosjektnavn / Utbygger: 52107812 Stavne Aktivitetssenter / Trondheim kommune
Verdiene er gyldig innenfor 500 m radius rundt geografisk lokasjon.
For utvidet område eller lavere sannsynligheter, kontakt: soneringskart@norsar.no
Bekrefter bruk av data kun på angitt lokasjon / prosjekt: Ja

Seismisk grunnakselerasjon, Berg, 5 % dempet

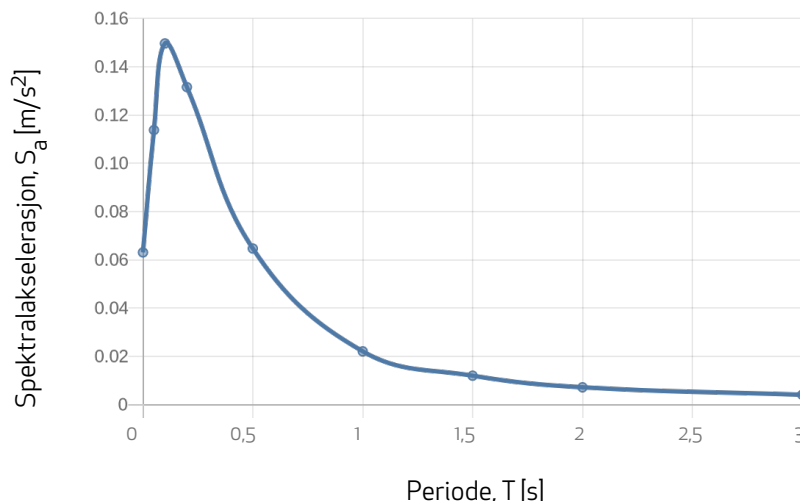
Dimensjonerende grunnakselerasjon er definert som:

$$Ag = \text{seismisk faktor} * a_{gR} = \text{seismisk faktor} * 0.8 * a_{g40Hz}$$

Beregnet verdi for seismisk grunnakselerasjon a_{gR} : 0.0631 m/s²

Verdiene for horisontal seismisk akselerasjon (S_a), 5% dempet, er vist som funksjon av perioden T i tabellen og grafen (seismisk responspektrum). Eurokode 8 spektrum kan beregnes ut fra a_{gR} . Seismisk grunnakselerasjon er basert på berggrunn med $v_s > 800$ m/s ($v_s = 1200$ m/s) og beregnet for returperiode av 475 år (overskridelsessannsynlighet på 10% over 50 år).

| T[s] | S_a [m/s ²] |
|------|---------------------------|
| PGA | 0.0631 |
| 0.05 | 0.1138 |
| 0.1 | 0.1497 |
| 0.2 | 0.1316 |
| 0.5 | 0.0647 |
| 1.0 | 0.0221 |
| 1.5 | 0.0120 |
| 2.0 | 0.0072 |
| 3.0 | 0.0041 |



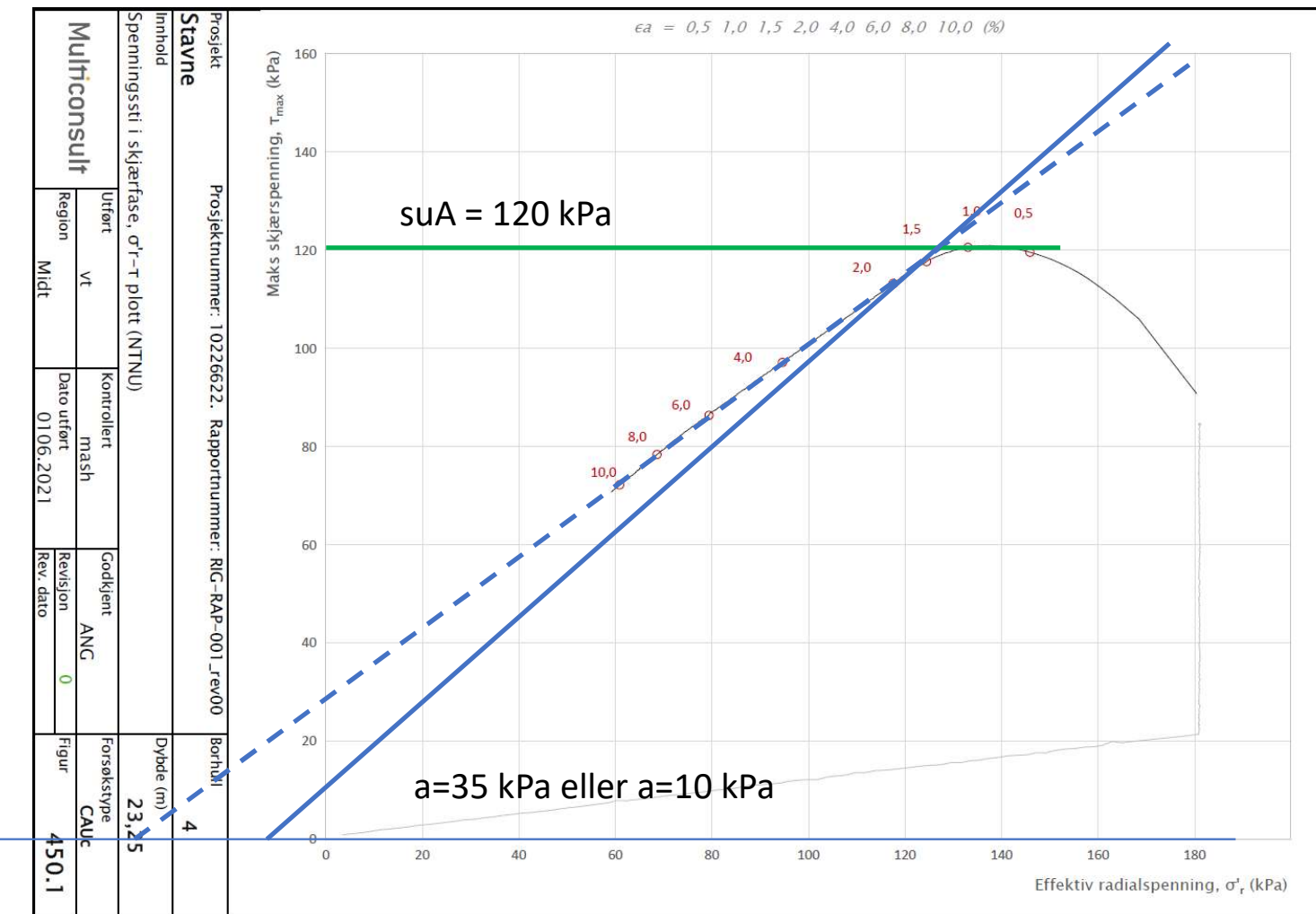
Seismiske laster generert for oppgitt geografisk lokasjon er basert på siste versjon av jordskjelv soneringskart (v.1.0.2019). Tabellen over angir berggrunnens akselerasjon som forventes å bli overskredet over en tidsperiode på 475 år (overskridelsessannsynlighet på 10% over 50 år).

NORSARs tjenester og produkter for seismisk fare har blitt utviklet innenfor et probabilistisk rammeverk, jfr. disclaimer i vedlagte Executive Summary. Bruker av data må gjøre seg kjent med disclaimer.

sig_{3'} – tau - plott

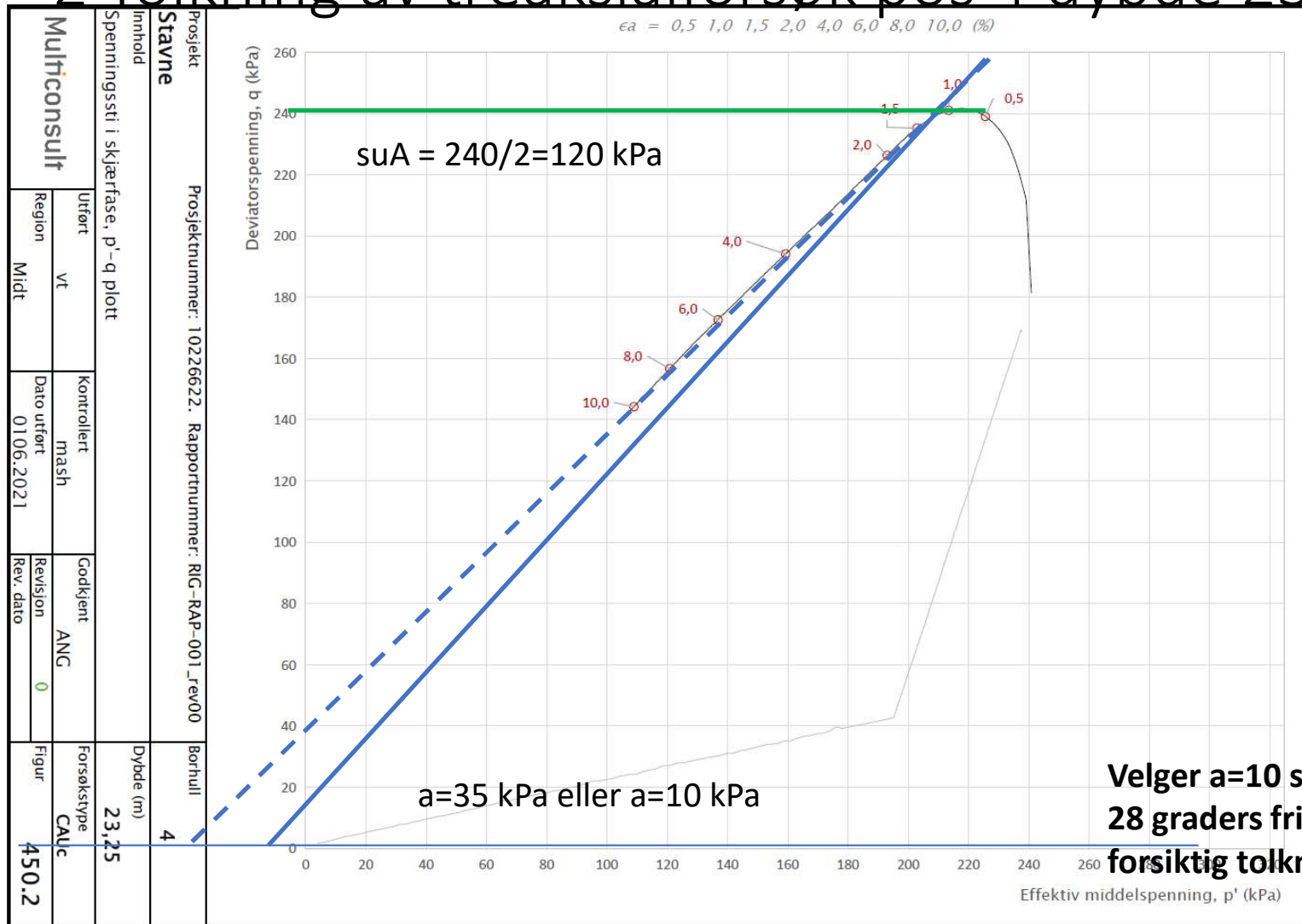
Vedlegg C

1 Tolkning av treaksialforsøk pos 4 dybde 23,25m



p - q' - plott

2 Tolkning av treaksialforsøk pos 4 dybde 23,25m



$a=35 \text{ kPa gir helning} = 240/(210+35)=0,980 = 6*\sin(\phi)/(3-\sin(\phi))$
 $\sin(\phi) = 0,421$
 $\Phi = 24,9 \text{ grader}$

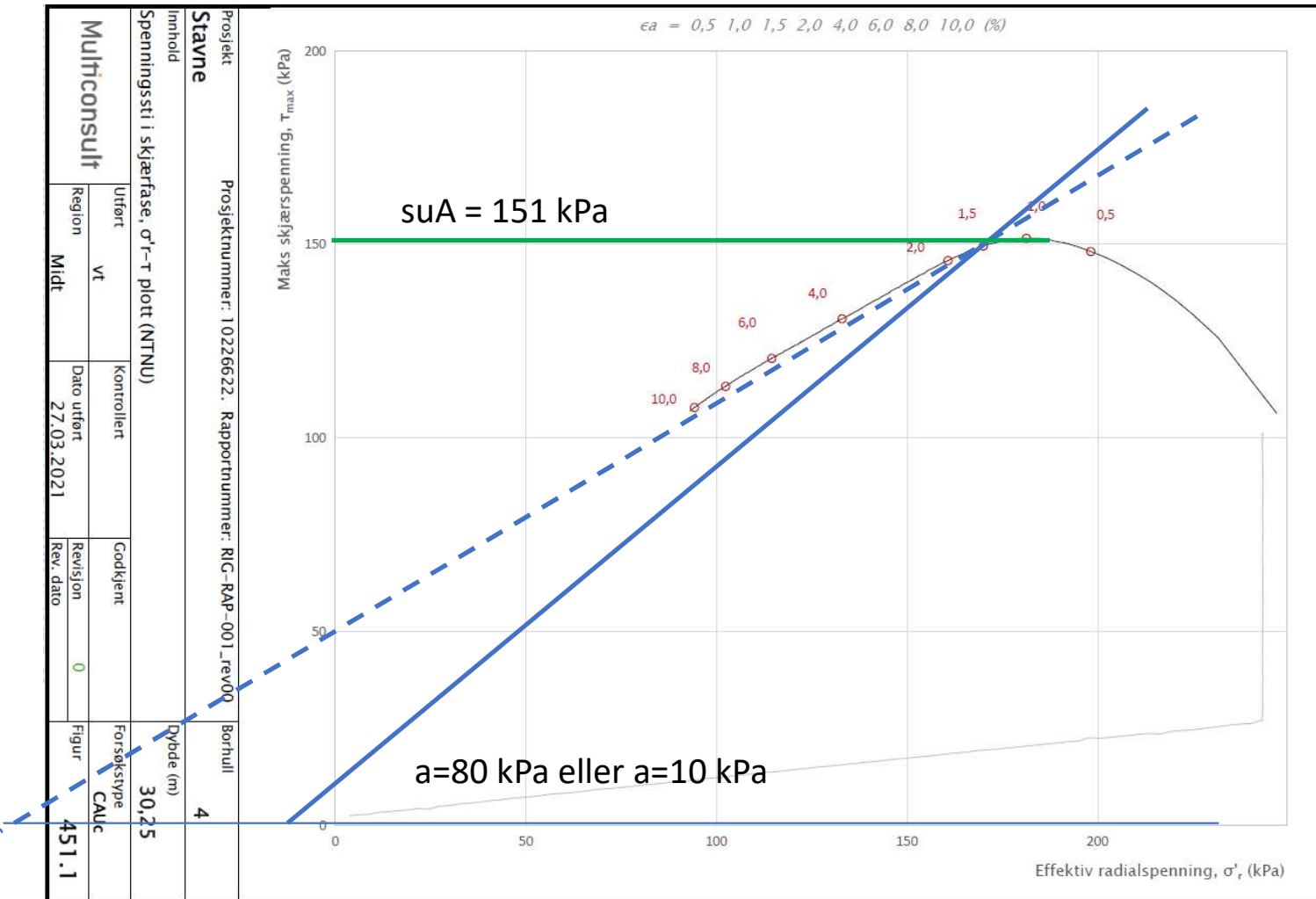
eller

Setter $a=10 \text{ kPa}$
 Får da
 $\text{helning} = 240/(210+10) = 1,091$
 $\sin(\phi) = 0,462$
 $\Phi = 27,5 \text{ grader}$

Velger $a=10$ som ganske vanlig verdi og får 27-28 graders friksjonsvinkel. Vurderes som en forsiktig tolkning noe under bruddtaket.

σ_3' – tau - plott

1 Tolkning av treaksialforsøk pos 4 dybde 30,25m



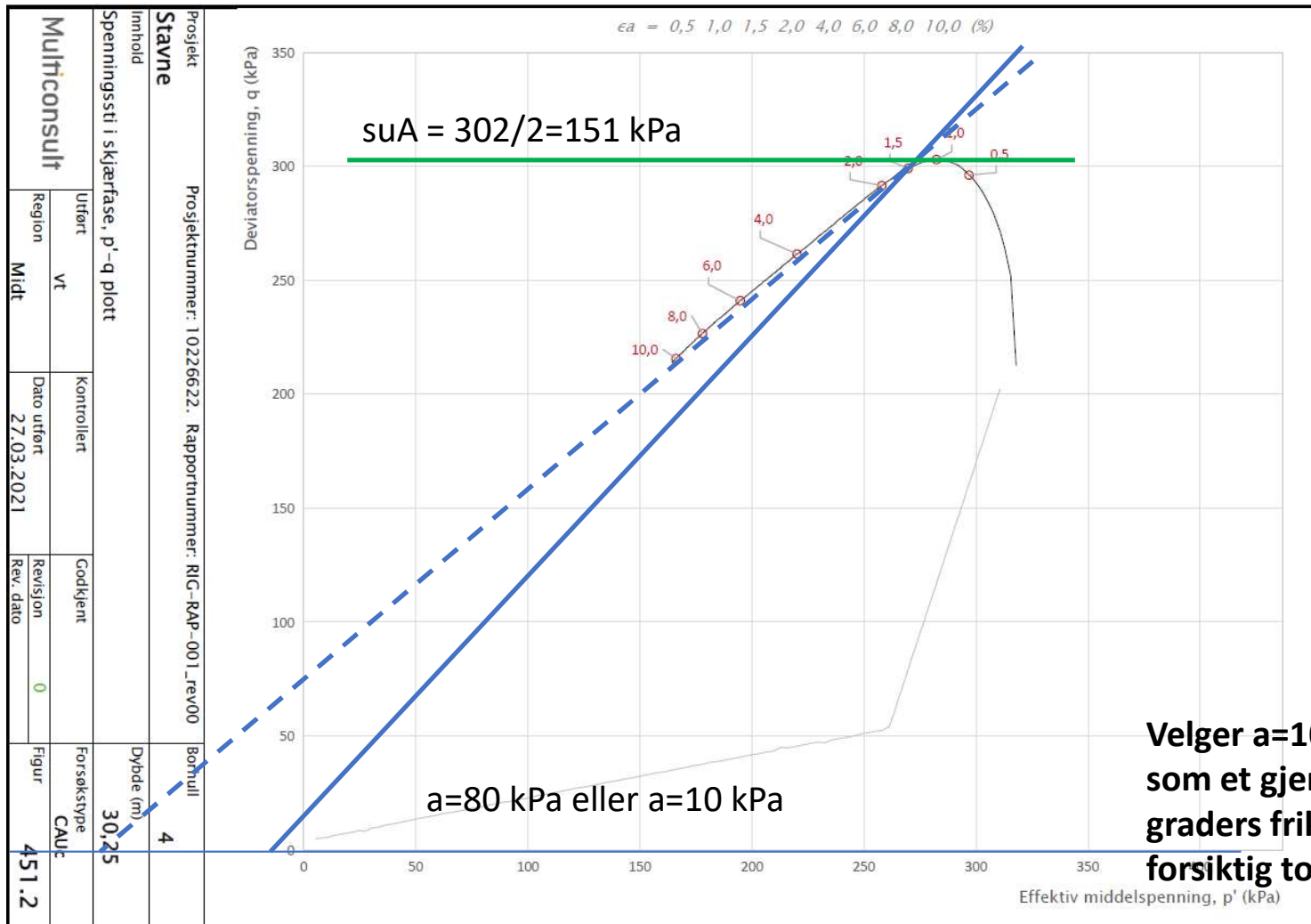
$a=80 \text{ kPa} \text{ gir helning} = 150/(170+80)=0,60$
 $\tan(\phi) = \text{helning}/\sqrt{1+2*\text{helning}} = 0,405$
 $\phi = 22,0 \text{ grader}$

eller

Setter $a=10 \text{ kPa}$
 Får da
 $\text{helning} = 150/(170+10) = 0,833$
 $\tan(\phi) = 0,510$
 $\phi = 27,0 \text{ grader}$

p - q' - plott

2 Tolkning av treaksialforsøk pos 4 dybde 30,25m



$$a=80 \text{ kPa gir helning} = \\ 300/(270+80)=0,857 = \\ 6*\sin(\phi)/(3-\sin(\phi)) \\ \sin(\phi) = 0,375 \\ \phi = 22,0 \text{ grader}$$

eller

$$\text{Setter } a=10 \text{ kPa} \\ \text{Får da} \\ \text{helning} = 300/(270+10) = \\ 1,07 \\ \sin(\phi) = 0,454 \\ \phi = 27,0 \text{ grader}$$

Velger a=10 som ganske vanlig verdi og får da som et gjennomsnitt av tolkningene 27-28 graders friksjonsvinkel. Vurderes som en forsiktig tolkning noe under bruddtaket.